

トンネル天井用車載型乾式研掃装置の開発

－性能確認試験と現場適用－

Dry Grinding and Dust Suction System on-Board Vehicle for Tunnel Ceiling

- Performance Verification and Field Application -

石井敏之* 西山宏一** 粟津利一** 白石祐彰*

要旨

都市内高速道路における片側車線供用下でのトンネル天井面の補修・補強工事は、一般通行車両への飛散抑止を行いながら、短い規制時間内での人力作業となる。特に、塗膜等の除去を行う表面処理は、高所で無理な姿勢での作業となり、処理面仕上がり品質のばらつきや作業環境の悪さ等が問題となっている。そこで、天井面の表面処理を機械化し、かつ粉塵等の飛散防止が行える「天井用車載型乾式研掃装置」を開発した。

本研掃装置の性能確認試験を行い、トンネル剥落防止対策工事の現場に適用した。その結果、塗膜を取り残すことなく、処理面仕上がり品質の向上、粉塵等の飛散抑止による作業環境の改善、および作業の省力化と安全性の向上が図れることを確認した。

キーワード：補修工事、トンネル天井面、表面処理、機械化、飛散抑止

1. まえがき

都市内高速道路におけるボックスカルバートトンネル天井面（以下、天井面と称す）の補修・補強工事は、写真-1に示すように、片側車線供用下で、一般通行車両へのコンクリート片や粉塵等の飛散抑止を行いながら短い規制時間内での人力作業となっている。このような補修・補強工事において、下地処理としての天井面の排気ガスで汚れた塗膜やモルタル等を薄く削り取る表面処理は、一般的に、飛散防止を行った高所作業車上で、作業員が天井を見上げた姿勢でディスクサンダー等の動力工具を使い、排気ガス由来の有害な粉塵等が飛散する環境での作業となっている。そのため、天井面の表面処理は、①作業員の技量差に起因する処理面仕上がり品質のばらつき、②発生した粉塵等による作業環境の悪化、③高所での無理な姿勢による安全性と作業効率の低下、等が問題となっている。

そこで、天井面の表面処理を、地上部から全ての操作が行えるように機械化し、同時に発生した粉塵等の飛散を抑止できる「天井用車載型乾式研掃装置」（以下、研掃装置と称す）を開発した。本報では、研掃装置の概要と、開発において実施した性能確認試験および現場適用について報告する。

2. 研掃装置の概要



写真-1 人力による天井面の表面処理

2.1 構成

研掃装置の外観を写真-2に、仕様を表-1に示す。研掃装置は、機動性および施工時の設置・撤去時間短縮の観点から車載型とした。研掃装置の構成は、天井面の表面処理を自動運転で行う研掃装置本体を搭載した4t車と、集塵機、発電機、コンプレッサー等を搭載した2t車からなる。なお、4t車を選定したのは、普通自動車免許の取得者で運転が可能となるからである。

*技術研究所 **東日本支社リニューアル技術部

研掃装置本体の構成は、図-1に示すように、天井面の表面処理を自動運転で行うケレン機、ケレン機が走行・横行を行う架台、この架台を上下に移動・停止させる多段式リフターと天井面接触センサー、研掃装置本体を設置・支持するアオリガード、およびこれらを操作する手元ペンドントスイッチからなる。

以下、主な装置部位について説明する。

a. ケレン機

ケレン機の外観を写真-3に示す。ケレン機は、天井面の表面処理を行う部分と発生した粉塵等の飛散抑止を行う部分からなる。

表面処理を行う部分は、鋼製ビットを配した円盤状の研掃ヘッドを、高速回転させながら、2台のエアーシリンダーで天井面に一定の力で押付け、一定速度で走行させる構造となっている。なお、押付け力（エアーシリンダー圧）と走行速度は、現地の対象構造物を用いた試験施工を行い、適切な処理面の付着力等を考慮して定める。また、押付け力の制御は、レギュレータとリニアブッシュにより、処理面の凹凸に追随させながら押付け力が一定になるようを行っている。

飛散抑止を行う部分は、発生した粉塵等を、研掃ヘッドの周囲に設けたウレタンとブラシによる2重の飛散防止枠による遮断と、研掃ヘッドの吸引孔から集塵機で吸引させる構造となっている。

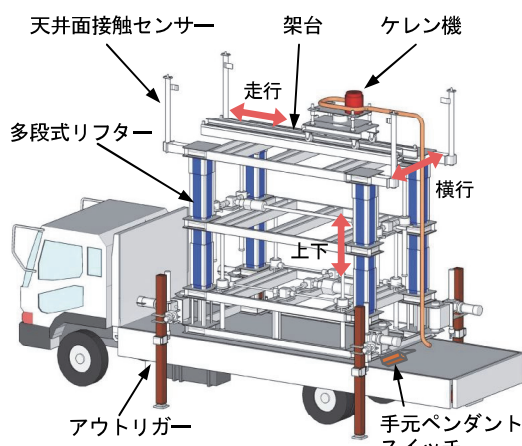


図-1 研掃装置本体の構成

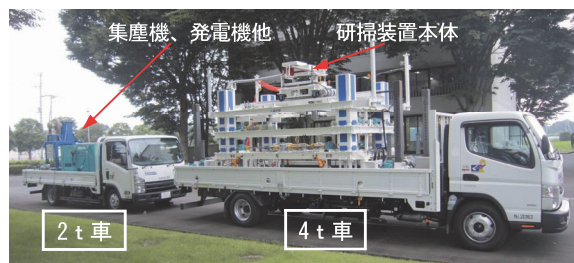


写真-2 研掃装置の外観

表-1 研掃装置の仕様

| 装置部位 | 項目 | 仕様 |
|-------------|-------|---|
| ケレン機 | 走行速度 | 0.5~10 m/min |
| | 押付け力 | 0.2~0.9 kN |
| | 鉛直凹凸 | ±40 mm 違随 |
| | 研 掃 幅 | 250 mm |
| 多段式 リフター | 昇降速度 | 0.375 m/min |
| | 昇降高さ | 1,200 mm |
| | 施工高さ | 4.3~5.0 m |
| 全 体 | 総 重 量 | 42.2 kN |
| | 施工範囲 | 走行：2.69 m 横行：1.56 m 面積：4.2 m ² |
| | 非常停止 | 装置本体：3箇所 手元ペンドントスイッチ：2箇所 |
| | | |

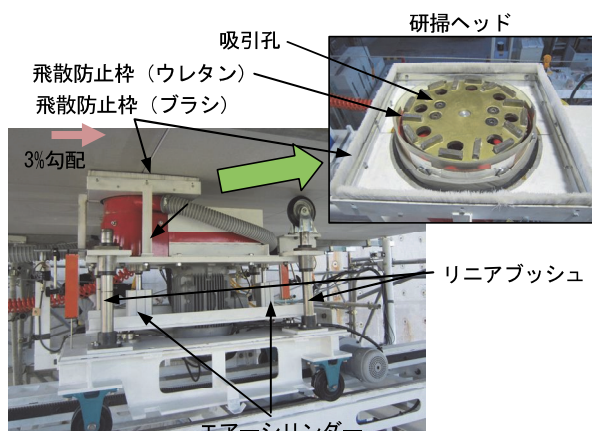


写真-3 ケレン機



写真-4 多段式リフター

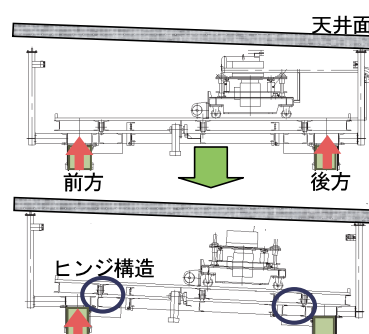


図-2 ケレン機の勾配調整

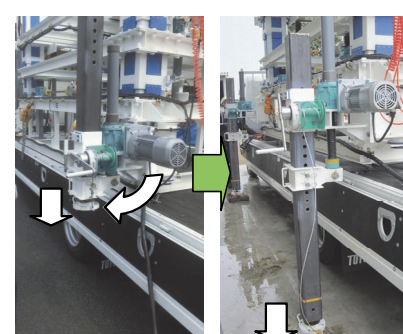


写真-5 アオリガード

b. 多段式リフター

多段式リフターの外観を写真-4に示す。多段式リフターは、ケレン機を格納位置から天井面近傍まで上昇・下降させると共に、ケレン機と天井面との勾配調整を行うものである。ケレン機の上昇・下降は、ケレン機が走行と横行を行う架台と連結している上段フレームと中段フレームを、リフターによって上下に移動させることによって行う。また、ケレン機は、上段フレームの4隅に設置した天井面接触センサーが天井面に接触することによって、上昇時に天井面近傍で自動停止する。なお、天井面が道路縦断方向に勾配を有する場合には、図-2に示すように、ヒンジ構造を有する上段フレームの接触していない一端側を再度上昇させ、天井面とケレン機を平行にする。

c. アウトリガー

アウトリガーの外観を写真-5に示す。アウトリガーは、穴あき鋼管柱とジャッキからなる。研掃装置本体の設置・支持は、4隅に配したアウトリガーを90度回転させて道路側に配し、穴あき鋼管柱を地表面近傍でピン止め後、ジャッキを伸長させることによって行う。なお、アウトリガーにより、研掃装置本体は、道路の縦断および横断勾配に関係なく水平に設置、支持させる。

2.2 施工手順

標準的な施工フローを図-3に示す。

研掃装置を車載した4t車と2t車の規制帯への入場後、配管・配線を接続し、4本のアウトリガーで研掃装置本体を道路勾配に関係なく水平に設置する。次に、ケレン機を天井面近傍まで上昇させ、ケレン機と天井面が平行になるように勾配調整を行う。ケレン機による表面処理は、写真-6に示すように、ケレン機を開始地点に移動後、天井面に一定の力で押付けながら一定速度で走行させる自動運転で行われる。なお、ケレン機による表面処理の施工パスは、研掃装置本体を設置後、1パスの走行終了後にケレン機を研掃幅程度横行させ、再度走行させる操作の繰り返しとなる。研掃装置設置1回当たりの最大表面処理面積は4.2m²である。

3. 性能確認試験

研掃装置の性能確認試験として、要素試験と全体試験を実施した。要素試験は、表面処理を行うケレン機の性能等を確認するものである。一方、全体試験は、模擬天井を用いて、研掃装置による設置～表面処理～撤収までの一連の作業を行い、同装置の仕様および操作性等の確認を行うものである。

3.1 要素試験

a. 試験方法

要素試験は、写真-7に示すように、研掃装置を構成するケレン機と架台をH鋼に敷設し、表-2に示す試験

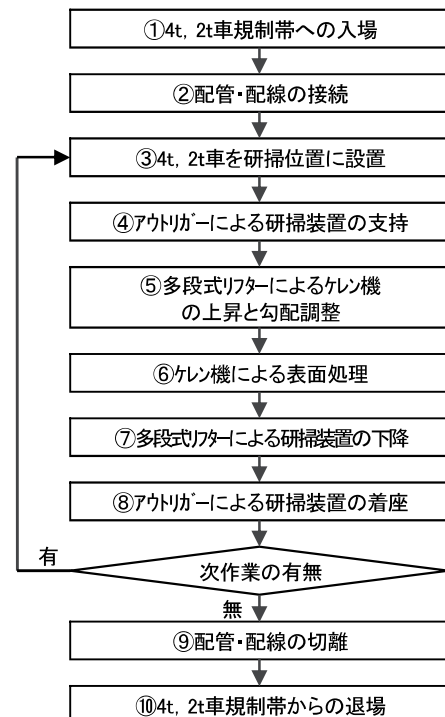


図-3 施工フロー

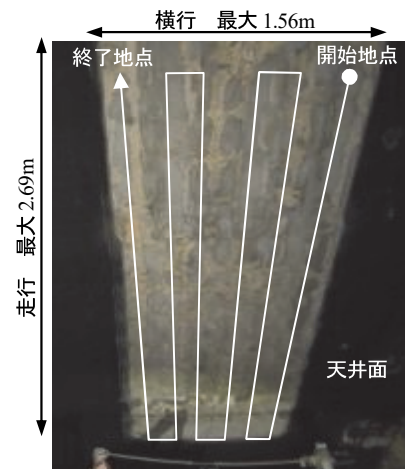


写真-6 ケレン機の施工パス

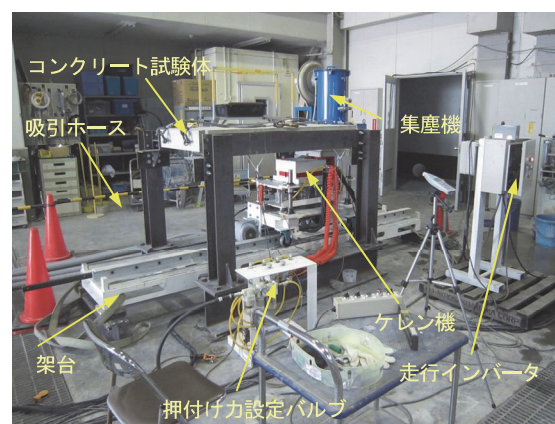


写真-7 要素試験状況

条件で、ケレン機によるコンクリート試験体の表面処理を行った。

コンクリート試験体は、形状が長さ 1700×幅 800×厚さ 150mm で、24-12-20N のコンクリートを使用して作製した。処理面の種類は、コンクリート表面とエポタール（3層塗り）を塗布した塗膜面の2種類とした。

計測項目は、図-4に示すように、ケレン機の走行速度確認用のレーザ水平変位（1台）、押付け力としての鉛直荷重（前部2台、後部2台の計4台）、ケレン機と天井面の離間距離としての鉛直変位（前部1台、後部1台の計2台）とした。

b. 試験結果

(a) 走行速度

ケレン機の走行速度は、走行モータのインバータ周波数で設定した。走行速度確認用の水平変位から、走行速度（0.5～10.0m/min）はインバータの周波数制御で設定でき、ケレン機の前進と後退との走行速度には差が見られなかった。また、ケレン機の走行では、架台両端に設けたリミットスイッチにより、逸走することなく自動停止することを確認した。

(b) 押付け力

押付け力の設定は、ケレン機を静止状態で、前後部のエアシリンダー圧を 0.28MPa（ケレン機が浮上し天井面に接触する直前の圧力）にした後、後部エアシリンダー圧のみを増加させて行った。なお、押付け力はその時に増加した荷重として定めた。

その結果、後部エアシリンダー圧を増加させても、ケレン機は前後に傾斜することなく走行することができ、押付け力（0.2～0.9kN）は後部エアシリンダー圧により設定できることを確認した。

なお、ケレン機は市販装置を改造したもので、表面処理時の押付け力は、約 0.6kN が標準的な仕様となっている。試験および施工では、押付け力を 0.6kN を中心として行った。

(c) ケレン機の凹凸追随

速度 1m/min、押付け力 0.6kN の走行条件で、天井面勾配が 0.0%（水平）、ケレン機の走行勾配が 1.8%時ににおける、天井面とケレン機前後の離間距離の時刻歴を図-5に示す。離間距離は、移動開始時から終了まで前後共に約 17mm 低くなっている。この値は、ケレン機の走行距離から求めた離間距離の変化量 20mm ($1\text{m}/\text{min} \times 1.1\text{min} \times 1.8\%$) とほぼ一致しており、ケレン機は天井面の高さの変化に追随している。よって、ケレン機は走行方向の天井面の凹凸に追随できることを確認した。

(d) 飛散対策

飛散防止として、研掃ヘッドの周囲に2重の飛散防止枠と吸引による集塵機を設けている。試験時の集塵用の吸引ホース長は、現場での適用を考慮して 30m とした。目視による観察では、飛散防止枠から漏れる粉塵は見

表-2 試験条件（要素試験）

| 項目 | 水 準 |
|------|--|
| 走行速度 | 5 水準(0.5, 1.0, 2.0, 3.0, 5.0, 7.0 m/min) |
| 押付け力 | 4 水準(0.2, 0.4, 0.6, 0.9 kN) |
| 処理面 | 2 水準(コンクリート研掃、塗膜除去) |

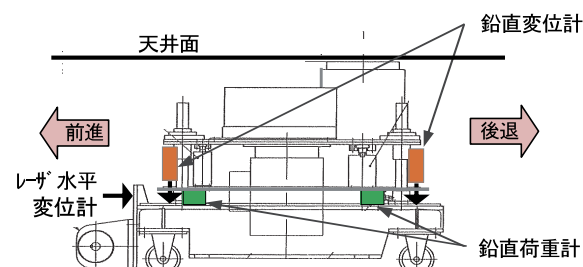


図-4 計測位置（ケレン機）

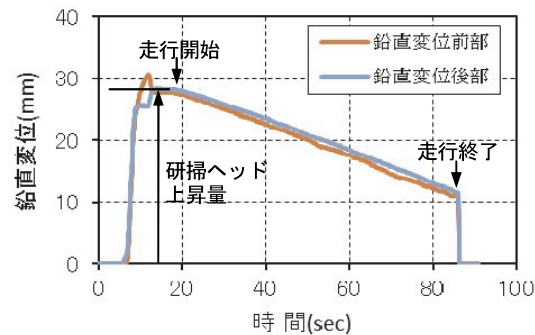


図-5 離間距離の時刻歴

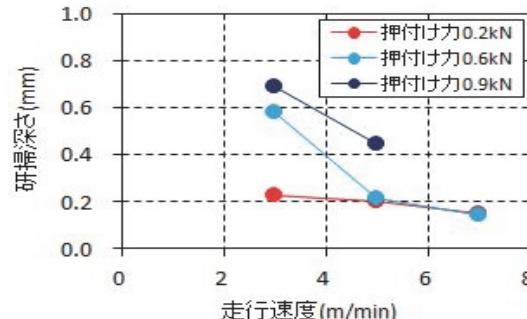


図-6 研掃深さと研掃条件の関係

られず、吸引による集塵は確実に行われた。また、吸引ホース内の残留粉塵量と集塵機のバケツ内粉塵量の重量比は約 1 : 10 であった。吸引ホース内に滞留する粉塵量は少なく、集塵機のバケツ内へ確実に吸引できることを確認した。

(e) 研掃深さ

研掃深さは、ケレン機による研掃後の表面をレーザ変位計を用いて走行直角方向に 3 側線を計測し、両端部の深さを平均して求めた。研掃深さと研掃条件（走行速度、押付け力）の関係を図-6に示す。

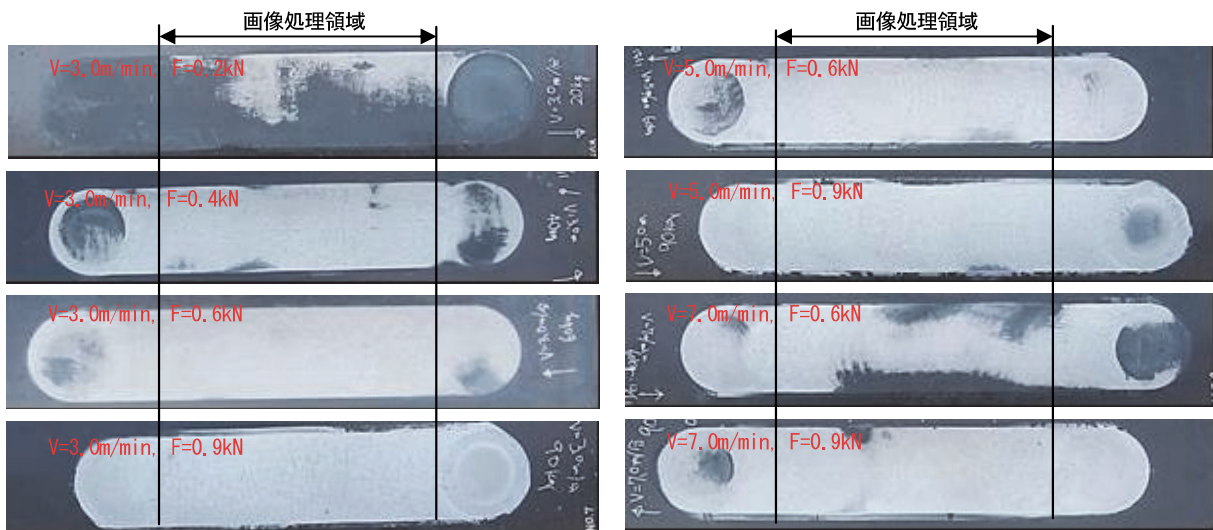


写真-8 塗膜除去状態

研削深さは、移動速度が遅くなるほどまた押付け力が大きくなるほど、深くなっている。今回の試験での最大研削深さは、押付け力 0.9kN、移動速度 3.0m/min の時、0.7mm 程度であった。試験体コンクリート強度は 30N/mm²（呼び強度 24N/mm²）であり、コンクリート強度等によっても研削深さが変化すると考えられる。これらより、現場での表面処理時には、必要とする研削深さや表面状態になるように、施工前に、ケレン機の走行速度および押付け力を設定する試験を行う必要がある。

研削幅は、押付け力や走行速度に関係なく 240～250mm であった。ケレン機を 220～230mm 横行させれば十分な施工ラップ長が確保できることを確認した。

(f) 塗膜除去率

塗膜除去率は、ケレン機で塗膜除去された面積の、施工面積に対する比として設定し、画像処理により求めた。塗膜除去状態を写真-8に、塗膜除去率と押付け力の関係を図-7に示す。

塗膜除去率は、押付け力が大きいほど、移動速度が遅いほど大きくなる。押付け力 0.6kN 時では、移動速度が 5m/min 以下であれば塗膜除去率が 100%となり、塗膜を完全に除去することができた。

3.2 全体試験

a. 試験方法

試験は、図-8と写真-9に示すように、3%勾配を有する模擬天井を用いて、研削装置による設置～表面処理～撤収までの一連の作業を行い、操作性、安全性および表面処理状況の確認を行った。試験条件として、車体勾配を 3%とした前下がり（CASE1：図-8）、後下がり（CASE2）の 2 ケースとした。計測は、要素試験と同じ項目で行った。

b. 試験結果

図-3に示した研削装置の施工フローに従って、研削装置の設置～表面処理～撤収までの作業を行った。

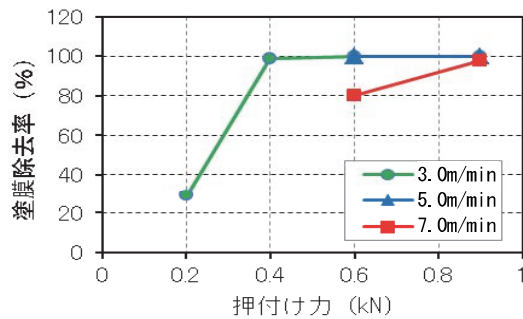


図-7 塗膜除去率と研削条件の関係

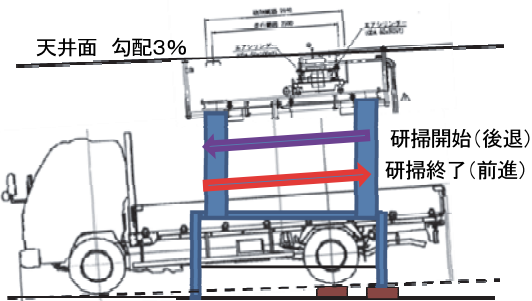


図-8 全体試験 (CASE1：前下がり)



写真-9 全体試験状況

装置の設置・撤収および表面処理については、全ての作業が地上の手元ペンドントスイッチで行うことができ、操作性に関して問題がなかった。

模擬天井表面処理時の押付け力の時刻歴を図-9に示す。

設定押付け力は 0.58kN とした。荷重計より求めた試験時の押付け力は約 0.6kN となっており、設定した押付け力で表面処理が行われたことを確認した。また、飛散防止枠からの粉塵等の漏れはなかった。

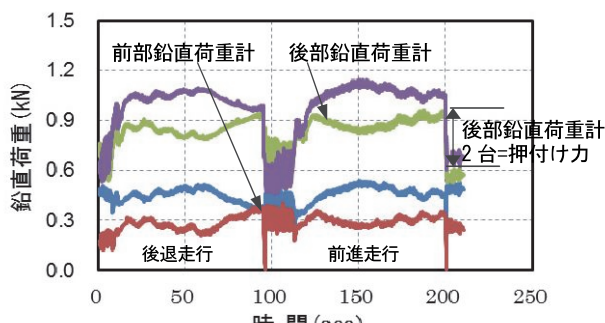


図-9 模擬天井表面処理時の押付け力の時刻歴

4. 現場適用

4.1 現場概要

適用した工事は、都市内高速道路におけるトンネル剥落防止工事である。適用したトンネルは、写真-10 に示すように、中央分離帯が設けられた片側 2 車線ずつの 4 車線を有するボックスカルバートで、その内空形状は、高さ 4.7m × 幅 16.1m × 長さ 100m である。



写真-10 適用トンネル外観

4.2 適用結果

a. 適用の概要

本研掃装置を適用した表面処理は、天井面の剥落防止工事において、軸体コンクリートと剥落防止材との一体化を図るために行う、排気ガスで汚れた塗膜の除去作業である。今回の研掃装置の適用日数は 6 日間で、その施工面積は計画施工面積 2,630m² の内の 150m² で、一部区間での適用となつた。

施工状況を写真-11 に示す。施工条件として、道路規制条件は、片側車線供用下の一車線規制帯での夜間作業（規制時間 4~6 時間）である。研掃装置による表面処理条件は、現地での試験施工から、ケレン機の走行速度 4.5m/min、押付け力 0.6kN とした。

b. 施工性能

研掃装置による表面処理の施工時間、および施工出来高等を表-3 に示す。同表において、作業時間とは規制帯への入場から研掃装置の格納までの時間、組立時間とは研掃装置の設置開始から表面処理の開始前までの時間、格納時間とは表面処理の終了後から研掃装置の格納までの時間とした。また、表面処理時間とは表面処理の開始から終了後の研掃装置移動を含めた次作業の表面処理の開始までの時間とした。

同表より、研掃装置による作業時間は約 2.5~4.5 時間で、規制時間の 4~6 時間より約 1.5 時間短くなった。また、研掃装置の組立時間は 20~31 分、格納時間は 20~33 分で、共に 30 分程度かかり、表面処理時間以外に約 1 時間の準備・撤収の時間を要した。表面処理時間は 14~23 分/回で、平均で 18 分/回程度であった。表面処理時間は 12 分/回程度を想定していたが、1.5 倍程度の時間を要した。今回の研掃装置は一部区間での適用であったため、作業員の操作の習得不足等により、表面処理時間が想定していたものより長くなつた。

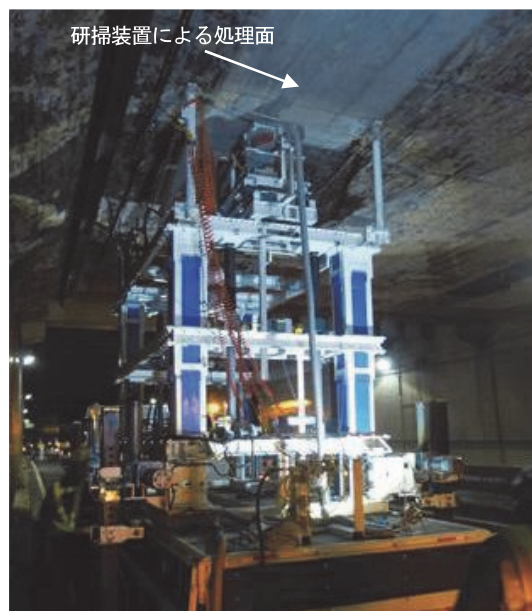


写真-11 施工状況（表面処理）

表-3 適用結果

| 項目 | 施工結果 | |
|-----------------|----------------------|--------|
| 規制時間 | 4~6 時間 | |
| 作業時間 | 約 2.5~4.5 時間 | |
| 作業準備時間 | 組立時間 | 約 30 分 |
| | 格納時間 | 約 30 分 |
| 表面処理時間 | 約 18 分/回 | |
| 施工面積 (1 回設置当たり) | 3.0m ² /回 | |
| 施工性能 | 約 7m ² /h | |



写真-12 処理面出来形の比較（左：人力による施工 右：研掃装置による施工）

作業員の人数については、研掃装置の操作者として1人、補助員としてアウトリガー設置時や配管・配線接続、および次作業への車両移動作業等に2人と、計3人が必要であった。また、今回の1回の研掃装置設置時の表面処理工面積は、 $2.5\text{m} \times 0.2\text{m} \times 6\text{ パス} = 3.0\text{m}^2/\text{回}$ であった。この結果、今回の本研掃装置の適用による天井面表面処理の施工性能は約 $7\text{m}^2/\text{h}$ であった。今後、研掃装置の操作者の操作技術の向上等により、組立・格納時間および表面処理時間を短縮でき、施工性能は向上するものと考えている。

c. 処理面の出来形

処理面の出来形として、ディスクサンダーによる人力施工と研掃装置による施工の比較を写真-12に示す。

研掃装置による施工の場合には、適切な一定の押付け力と一定の走行速度で表面処理が行われたため、塗膜の削り残しが見られず、確実に除去されていることがわかる。一方、ディスクサンダーによる人力施工の場合には、天井面のわずかな凹凸の影響により、塗膜を完全に除去するのに多大な時間と労力が必要となるため、型枠継ぎ目部等に塗膜の取り残しが見られた。その結果、建研式付着力試験による付着強度は、人力施工の場合で約 1.5N/mm^2 、研掃装置による場合で約 3.4N/mm^2 となり、大きく向上した。これらのことより、研掃装置による表面処理では、天井面の一般通行車両の排気ガスにより汚れた塗膜が、一定の研掃条件下で確実に除去され、処理面仕上がり品質のばらつきが改善されたことから、付着強度が大きくなつたと考えられる。

d. 作業性

本研掃装置による表面処理の作業は、写真-13に示すように、操作者の手元ペンダントスイッチ等で全ての操作が地上から行えた。これにより、高所での無理な姿勢による人力作業がなくなり、天井面の表面処理の省力化および安全性の向上が図れることを確認した。

また、表面処理時に発生した粉塵等は、確実に飛散防止枠と集塵機によって遮断・吸引された。これにより、片側車線供用下での本研掃装置による施工においては、



写真-13 研掃装置の操作状況

一般通行車両への粉塵等の飛散抑止および作業箇所での飛散抑止による作業環境の改善ができるこことを確認した。

5. あとがき

都市内高速道路におけるトンネル剥落防止対策工事において、今回開発した研掃装置を、天井面の塗膜除去作業の一部区間に適用した。本研掃装置の適用により、既設コンクリート表面の汚れや塗膜を取り残すことなく確実に除去でき、処理面仕上がり品質のばらつきも改善されたことから、付着性能が人力施工に比して向上した。また、表面処理時に発生した粉塵等の飛散が抑止され、作業環境の改善も図れた。これらより、表面処理の作業が省力化され、安全性も向上した。

今後は、コンクリート構造物の補修・補強工事において、高品質化・省力化ができる施工技術として、既に実用化している「ウォータージェットによるコンクリート表面処理機」¹⁾とあわせて、発注者に積極的に提案していく所存である。

【参考文献】

- 1) 石井敏之、白石祐彰、川西健之、森本克秀、「補修・補強工事へのウォータージェットを用いたコンクリート表面処理機の適用」、土木建設技術発表会 2013、pp.100-103、2013.11

掘削すりの高速運搬システムの開発

—山岳トンネルの急速施工実現に向けて—

Development of High Speed Mucking System for Mountain Tunnels

浅野 剛*　塚本耕治*　齋藤隆弘*
熊澤伸康**　岩崎 光***　中村優一****

要旨

建設が進められている中央新幹線ではトンネルが全延長の約85%を占め、施工される山岳トンネルは長大トンネルとなるため、コスト低減に加え、事業効果の早期発現に対して有力な方法である急速施工に対するニーズが高まっている。山岳工法で施工されるトンネル工事において、すり運搬は一連のサイクルの約30%を占めており、その高速化は急速施工を実現するためのポイントとなっている。このような状況をふまえ、長大トンネルで標準的な連続ベルトコンベヤーによるすり運搬を対象として、高速化する方法を提案した。本方法の特長は以下の2点である。

- i. 移動式伸縮ベルコンを用い、すり運搬時にクラッシャーを切羽から20m地点まで近づける
- ii. クラッシャーをトンネル進行方向に直列に2台配置し、二段階破碎を行う

本報は、提案した高速すり運搬システムの概要、および実証試験による性能の分析・評価結果について報告するものである。

キーワード：山岳工法、急速施工、すり運搬、移動式伸縮ベルコン、クラッシャー、二段階破碎

1. まえがき

発破掘削で施工される山岳トンネルにおける主な作業は、①穿孔・装薬・発破、②坑外へのすり運搬、③支保工設置であり、各々が全施工時間の約3分の1を占めている¹⁾。①～③は並行作業が難しく、急速施工を実現するためには、各々の作業時間を短縮する必要がある。①の高速化については、油圧削岩機の性能向上、複数台のドリルジャンボ使用等、③については、時間当たりの吹付け性能が高い大型機械の使用等の対応策が提案・実施されている。一方、②については、高速化のための新しい方法は具体化されていない。検討の対象としている長大トンネルにおけるすり運搬方法としては、坑内環境、安全性の観点から、連続ベルトコンベヤー（以後、連続ベルコン）方式が採用される場合が多い²⁾。このような状況をふまえ、連続ベルコン方式によるすり運搬に着目して、高速化する方法を提案した。施工速度としては、①および③の高速化のための方法を併用することで、断面積100m²のトンネルにおけるC級地山以上の区間で、月進230m以上を安定的に確保することを目標とした。

本報では、提案した高速すり運搬システムの概要と、実機を用いた実証試験による運搬システムの性能検証結果について報告する。

2. すり運搬性能への影響要因と現状の課題

連続ベルコン方式によるすり運搬における、標準的な切羽付近の機械配置を図-1に示す。発破後のすりは、サイドダンプによりクラッシャーに運搬・投入される。クラッシャーで破碎されたすりは、連続ベルコンの切羽側終端となるテールピース台車を経由して、連続ベルコンにより坑外まで運搬される。

切羽から坑外へのすりの運搬性能(A)は、切羽からクラッシャーまでの運搬性能(A_1)、クラッシャーの破碎性能(A_2)、および連続ベルコンの運搬性能(A_3)により決まる(図-1参照)。

A_1 に対する影響要因は、運搬機械の性能(例えば、サイドダンプのバケット容量等)および切羽からクラッシャーまでの距離である。バケット容量はトンネル断面積に対して施工性等を考慮して決められることから、すり運搬時に切羽とクラッシャーの距離を短縮することが A_1 の向上に対して有効となる。

A_2 に対する影響要因は、クラッシャーの仕様および設定される破碎後の最大粒径(D)である。クラッシャーについては、施工性や要求性能を考慮し、対費用効果が高い機械が選択される。仕様が同じクラッシャーを用いる場合、 D を大きく設定するほど A_2 は向上する。

*技術研究所 **東日本支社機械部 ***土木本部土木技術室 ****東日本支社土木技術部

一般的なクラッシャーの模式図を図-2に示す。切羽から運搬された掘削ずりは、クラッシャーのホッパーに投入された後、ホッパー底板を振動させることでジョークラッシャー方向にフィードされる。この時、処理の効率化を目的としてジョークラッシャーによる破碎前に、粒径 100~150mm 以下のずりは破碎不要分としてふるいにより取り除かれる。破碎後の最大粒径 D は、ジョークラッシャー下部の開口幅の最大値 (OSS) により決まり、OSS が大きいほど D が大きくなり、クラッシャーの破碎性能 A_2 が向上する。

A_3 に対する影響要因は、連続ベルコンのベルト幅である。必要なベルト幅は D の 3 倍程度であり、 D が大きくなると必要なベルト幅が広くなる。 D の設定値を大きくしてベルト幅を広くすると、 A_2 、 A_3 ともに向上するため運搬性能が上がる。しかし、ベルト幅を広くすることは、切羽から坑口までの距離が長くなる長大トンネルでは大きなコスト増の要因となる。さらに、限られたトンネル断面内における施工性の観点からも、ベルト幅

は制限を受ける。

標準的な連続ベルコン方式によるずり運搬方法の場合、発破時の退避や作業性を考慮して図-1に示すように切羽からクラッシャーまでの距離は約 60m、ベルト幅は 600~750mm ($D=200\sim 250\text{mm}$) とされることが多い。現状では A_1 が A_2 を上回り、クラッシャーへの投入待ちが発生している状況が多く見られる。そのため、ずり運搬時に切羽とクラッシャーの距離を縮めることが A_1 の向上には有効である。同時に、 A_2 を向上させることにより A_1 、 A_2 、 A_3 のバランスをとることが A の向上に向けての課題となっている。

3. 高速ずり運搬システムの概要

ずり運搬に関する現状での課題をふまえ、目標月進の実現に必須となる高速ずり運搬システムの開発に取り組んだ。提案システムにおける機械配置を図-3に、本システムで想定している切羽からクラッシャーまでのずり運搬機械、クラッシャーおよび移動式伸縮ベルコン（以後、伸縮ベルコン）の仕様を表-1に示す。目標月進の実現およびコストの観点から、切羽から坑外へのずりの運搬性能 A は 550t/h 以上、破碎後の最大粒径 D は 250mm 以下を目標とした。提案したシステムの特長を以下に示す。

3.1 伸縮ベルコンの採用

クラッシャーとテールピース台車との間に伸縮ベルコンを設置する。発破時には、伸縮ベルコンを縮めるとともにクラッシャーを切羽から 40m 地点まで退避させておき、飛石による損傷を防止する。発破後、すみやかにクラッシャーをずり発生箇所近傍（切羽から 20 m 程度）に移動する。同時に伸縮ベルコンを延伸し、クラッシャーとテールピース台車間に運搬ルートを形成する。

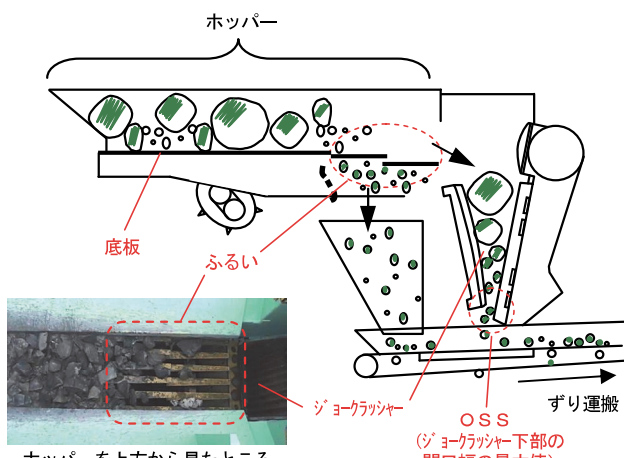


図-2 クラッシャーの模式図

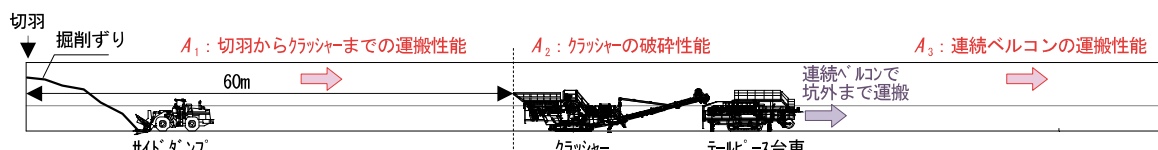


図-1 連続ベルコン方式によるずり運搬時の標準的な機械配置

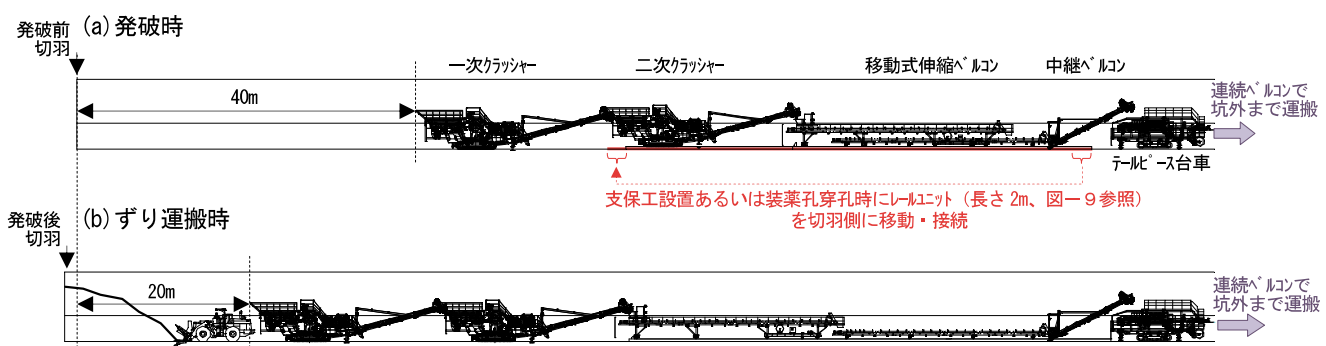


図-3 提案システムにおける機械配置（発破時およびずり運搬時）

伸縮ベルコンを使用せずに一般的な方法で連続ベルコンを 20m 延伸する場合には 3 時間程度必要となるが、伸縮ベルコン用いでることで 5 分以内に移動が可能となる。

3.2 2 台のクラッシャーの直列配置

汎用的なクラッシャー NT300 級を 2 台使用し、これらを直列に配置して二段階破碎を行う。切羽側に配置したクラッシャー（以後、一次クラッシャー）により一次破碎したずりを、そのまま坑口側に配置したクラッシャー（以後、二次クラッシャー）に投入して二次破碎する。切羽から運搬される大径のずりを最初に破碎する一次クラッシャーの OSS を大きくするとともに、二次クラッシャーの OSS を小さくすることで、クラッシャーの破碎性能 A_2 を確保しつつ、 D を小さくすることが可能になる。

本システムでは、二次クラッシャーには一次クラッシャーで破碎したずりを投入するため、二次クラッシャーの処理性能に余裕が生じる。この余裕を利用して、1 時間あたり 100t 程度のずりを一次クラッシャーを経由させず二次クラッシャーに投入する（以後、直接投入）。2 台のクラッシャーを部分的に並列使用することで、全体の処理性能をさらに向上できる。

4. 実証試験の内容

提案したシステムの性能確認を目的として、実機を用いた実証試験を実施した。試験方法として、クラッシャー 1 台を用いた単独試験、およびクラッシャー 2 台を直列に配置した 2 連試験を計画した。

表-1 本システムで用いる機械の仕様

| 使用機械 | 仕様 |
|-----------------------|---|
| サイドダンプ コマツ WA500 | 寸法（全長×全幅×全高）9.9×3.4×4.8m バケット容量3.8m ³ |
| クラッシャー 中山鉄工所 NT300 | 稼働時寸法（全長×全幅×全高）20×3.1×4.7m 最大供給岩塊寸法（厚さ×幅）600×800mm クラッシャー駆動モータ形式 132kW、440V |
| 移動式 伸縮ベルコン | ベルト幅 900mm 伸縮量 21m 電動機出力 15kw×2、200V |

4.1 試験サイトの状況

実証試験は稼働中の碎石場で実施した。試験サイトにおける 2 連試験実施時のクラッシャー、伸縮ベルコンの配置を図-4、写真-1 に示す。試験では、実施工のすり運搬システムで用いるテールピース台車および連続ベルコンは使用せず、クラッシャーおよび伸縮ベルコンを用いてシステムの性能を検証した。

4.2 試験に用いた掘削ずり

掘削ずり（以後、供試体）として、碎石場で採取される岩石を用いた。岩種は中生代の砂岩である。圧縮強度は平均 342N/mm² と非常に大きく³⁾、強度の面からは岩盤等級 B 以上と判断できる⁴⁾。国内のトンネルにおける岩石強度がこの値を上回る可能性は低く、この供試体を用いて得られるクラッシャーの破碎性能 A_2 は、実施工への適用にあたっては安全側の評価になると考えられる。試験に用いたクラッシャーの仕様を考慮し、投入ずりのうち、最大供給幅寸法 800mm を超えるずりは供試体から取り除いた。

4.3 単独試験の方法

単独試験の目的は、クラッシャー単体の性能確認である。クラッシャーの処理性能検討では破碎不要分を 30% とする場合が多いが⁵⁾、掘削ずりの状況に左右されることから、単独試験ではジョークラッシャーの破碎性能そのものを把握するために、供試体の破碎不要分を取り除いた。具体的には、100mm×150mm のスケルトンバケットで供試体をふるい、バケット不通過分を試験に用いた。



写真-1 クラッシャーと移動式伸縮ベルコンの配置
(実証試験サイト)

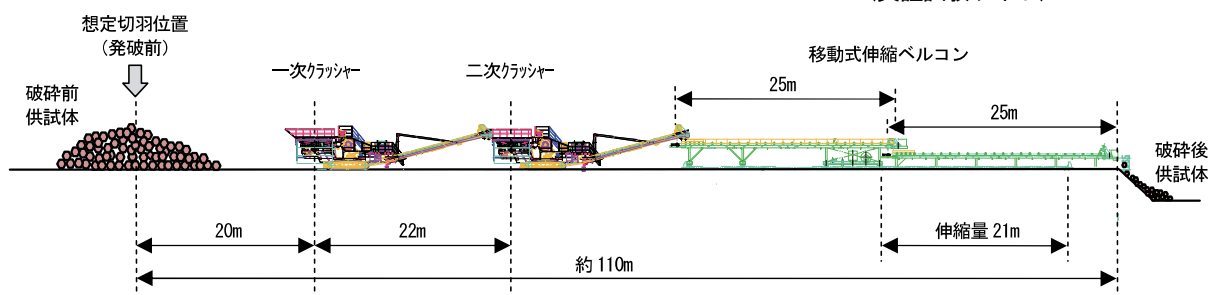


図-4 実証試験における機械配置(2連試験、ずり運搬時)

供試体は、本システムの実工事への適用時にあわせて一次クラッシャーから 20m 地点に配置し、サイドダンプでクラッシャーまで運搬した。破碎した供試体は伸縮ベルコンにより運搬して終端部のポケットに落下させ、それをダンプトラックに積み込み、トラックスケールで重量を計測することでクラッシャーの破碎性能を評価した。供試体の粒径については、地上に敷設した鉄板上に供試体を広げて高所作業車から写真撮影して確認した。1回の試験におけるホッパーへの供試体投入時間は約 10 分とし、試験時間中はホッパーに供試体が満たされていいる状況を維持した。

計測項目、および計測方法を 2 連試験の場合とあわせて表-2 に示す。

4.4 2 連試験の方法

2 連試験は、伸縮ベルコンの伸縮、クラッシャーの移動等の施工性を含めたずり処理性能の確認を目的として実施した。2 台のクラッシャーはいずれも通常の仕様であり、特別な設備は追加していない。

実施工では、一次クラッシャーにおける破碎不要分も二次クラッシャーに投入されることになるため、2 連試験では粒径 100~150mm 以下を含む供試体を用いた。スケルトンパケットによるふるいを全く行わないケースと、単独試験と同様の粒径 100~150mm 以下を含まないずりに単独試験の破碎後ずりを混入した 2 パターンを供試体として用いた。各パターンにおいて、ふるい試験により把握した平均破碎不要分は 29.0%、9.5% である。

試験時の供試体配置、破碎後の重量計測による処理性能の評価方法、供試体の粒径確認方法は単独試験と同じであるが、ずり投入は表-3 に示すパターンで実施した。切羽に近い一次クラッシャーへの投入を優先し、ホッパーの状況から一次クラッシャーへの投入が難しい場合のみ二次クラッシャーへの投入可否を判断し、可能な場

表-2 計測項目と計測方法

| 計測項目 | 計測方法 | |
|------------|---|--|
| 岩石強度 | 1回の試験で用いる供試体について、5個の岩石に対しシュミットハンマー試験を実施 | |
| 破碎不要分の重量比率 | 1回の試験で用いる供試体全体の10%をスケルトンパケットでふるい、通過・不通過の重量比をトラックスケールで計測 | |
| 供試体の粒度分布 | 地上に広げた供試体を写真撮影し画像処理により最大長さを抽出 | |
| 処理後の供試体重量 | 試験終了後に、処理した供試体を10tダンプに積み込み、トラックスケールで計測 | |
| クラッシャー電流値 | クラッシャー制御盤の電源ケーブルにクランプを設置し、クランプメータで計測 | |

表-3 2 連試験における供試体投入パターン

| クラッシャーの状況 | | 対応 |
|-----------|----------|-------------|
| 一次クラッシャー | 二次クラッシャー | |
| 投入可能 | 投入可能 | 一次クラッシャーに投入 |
| 投入可能 | 投入不可 | 一次クラッシャーに投入 |
| 投入不可 | 投入可能 | 二次クラッシャーに投入 |
| 投入不可 | 投入不可 | 待機 |

合に二次クラッシャーに直接投入した。一次、二次クラッシャーとも投入不可の場合には投入待ちとなるが、試験では投入待ちとなるような状況は発生しなかった。1 回の試験におけるホッパーへの供試体投入時間は単独試験と同様に約 10 分としたが、ずり処理を 1 時間継続した場合（新幹線断面で一掘進長 3m 以上のずり運搬時間に相当）も 1 ケース実施した。

5. 実証試験結果

5.1 単独試験

単独試験における試験ケースおよび結果を表-4 に、処理速度と OSS の関係を図-5 に示す。単独試験で用いた供試体には破碎不要分は含まれていないことを考慮し、破碎不要分が一般的な 30% の場合の処理速度（以後、換算処理速度）として「破碎速度／0.7」を用いた。OSS は NT300 における最大値 190mm から 20mm ピッチで 3 ケースとし、各ケースとも 2 回試験を実施した。

図-5 より、OSS を大きくするほど換算処理速度が大きくなることがわかる。OSS が 190mm の場合の換算処理速度は 486.0~514.3t/h であり、二次クラッシャーへの直接投入を 100t/h と想定すると、OSS を 190mm とすることで目標とするずりの運搬性能 550t/h を十分に達成可能であると判断した。

破碎前後の供試体の粒径データを表-5 に、OSS が 170mm の場合の破碎後の粒径分布を図-6 に示す。OSS を 170mm とすることで、約 99% のずりが、破碎後の最大粒径 D の目標値 250mm 以下となることがわかる。

表-4 試験ケースおよび結果（単独試験）

| OSS (mm) | 最大ずり径 (mm) | | 換算 処理速度 (t/h) | 試験前供試体の 100×150mmスケルトン パケット通過比率 (%) |
|-------------|------------|-----|---------------------|--|
| | 破碎前 | 破碎後 | | |
| 150 | 780 | 290 | 360.9 | 0 |
| 150 | 680 | 250 | 423.9 | 0 |
| 170 | 720 | 320 | 461.3 | 0 |
| 170 | 770 | 280 | 413.3 | 0 |
| 190 | 700 | 350 | 486.0 | 0 |
| 190 | 720 | 380 | 514.3 | 0 |

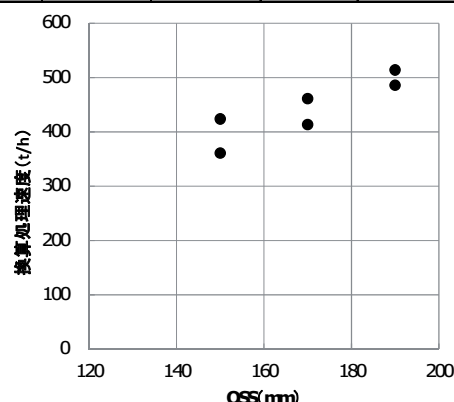


図-5 換算処理速度と OSS の関係（単独試験）

5.2 2連試験

a. クラッシャーの処理性能

2連試験における試験ケースおよび結果を表-6に、破碎後の供試体の粒径分布を図-7に示す。単独試験結果に基づき、処理速度に影響する一次クラッシャーのOSSは190mm、Dに影響を及ぼす二次クラッシャーのOSSは、D=250mmが実現可能な170mmとした。

スケルトンバケットによるふるいを全く行わないケースについては、供試体の平均破碎不要分は29.0%であり、クラッシャーの設計に用いられる一般的な値である30%と同等の値であったことから、実測値をそのまま換算処理速度とした。単独試験の破碎後のずりを混入したケースでは供試体の平均破碎不要分は9.5%であったことから、破碎不要分30%の場合の換算処理速度を「実測処理速度×0.905/0.7」により算定した。

表-5 破碎前後の供試体の粒径（単独試験）

| | 平均径 (mm) | 最大径 (mm) | 250mmアンダー比率 (%) | |
|-----|-------------|-------------|--------------------|------|
| 破碎前 | 228 | 790 | 67.4 | |
| 破碎後 | OSS : 190mm | 150 | 380 | 94.4 |
| | OSS : 170mm | 122 | 320 | 98.9 |
| | OSS : 150mm | 115 | 290 | 99.5 |

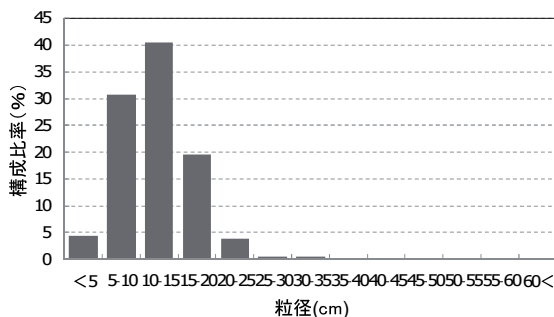


図-6 破碎後の粒径分布（単独試験、OSS170mm）

表-6 試験ケースおよび結果（2連試験）

| OSS (mm) | 最大ずり径 (mm) | | 換算 処理速度 (t/h) | 試験前供試体の 100×150mmスケルトン バケット通過比率 (%) | |
|----------|--------------|--------------|---------------------|--|----|
| | 一次 クラッシャー | 二次 クラッシャー | 破碎前 | 破碎後 | |
| 190 | 170 | 720 | 280 | 551.0 | 25 |
| 190 | 170 | 790 | 300 | 558.9 | 27 |
| 190 | 170 | 720 | 275 | 559.8 | 35 |
| 190 | 170 | 710 | 285 | 589.1 | 8 |
| 190 | 170 | 690 | 305 | 581.0 | 11 |

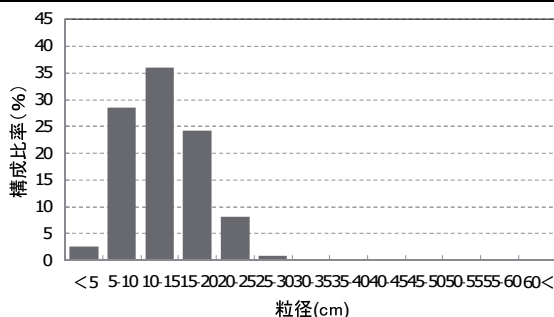


図-7 破碎後の粒径分布（2連試験）

本システムによる換算処理速度は551.0～589.1t/hであり、目標とする550t/h以上の性能を持っていることを確認できた。破碎後の供試体については、単独試験におけるOSS170mmのケースと同様に、粒径250mm以下の比率が99%以上となっている（図-7参照）。

2連試験では、時間あたりの二次クラッシャーへの直接投入回数は12～18回（72～108t）であり、運搬4～8回に1回の投入となった。二次クラッシャーへの直接投入の可否は、二次クラッシャーのホッパーの状況により判断した。直接投入前の一次および二次クラッシャーのホッパーは写真-2のような状況となっている。二次クラッシャーのホッパーには、一次クラッシャーから破碎された供試体が投入され、その堆積高さは20cm程度である。直接投入直後には写真-3のような状況になるが、2～3分程度経過すると投入前の状況に戻り、再度直接投入が可能となる。この時の一次および二次クラッシャーの電流値の推移を図-8に示す。直接投入前には二次クラッシャーの電流値に大きな変化は見られない。OSS190mmで一次破碎された供試体を、OSS170mmで



一次から二次クラッシャーへ投入



写真-2 直接投入前のホッパー内の状況（2連試験）



写真-3 直接投入直後の二次クラッシャーのホッパー内の状況（2連試験）

二次破碎する際には、大きな負荷は発生していないことがわかる。直接投入時に電流は増加するが、その値は一次クラッシャーと同程度にとどまっており、2 分程度経過すると直接投入前の状態に戻っている。

b. 実施工への適用性

ずり運搬時の切羽と一次クラッシャーとの距離を 20m としてクラッシャーを 2 台用いる本システムでは、目標とした運搬速度、破碎後の最大ずり径を実現できることを前項で述べた。しかしながら、本システムを実工事に適用するためには、発破時に伸縮ベルコンを縮めて退避した状態から、それを伸ばすとともに 2 台のクラッシャーを移動し、ずり搬出が可能な状態とするまでの作業を効率的に行う必要がある。一般的な積算基準では、ずり出し準備の時間は 5 分とされていることから¹⁾、5 分以内にクラッシャーが退避した状態からずり搬出が可能な状態まで移動することを目標とし、2 連試験で実施可能であることを確認した。

本試験では、伸縮ベルコンの移動についてはレール方式を採用した。レールの構造を図-9 に示す。レール 4 本と枕木から一つのレールユニットを構成しており、トンネル進行方向の長さは 2m である。切羽の進行にあわせて、中継ベルコンの下方の空間（図-3 (a) 参照）を

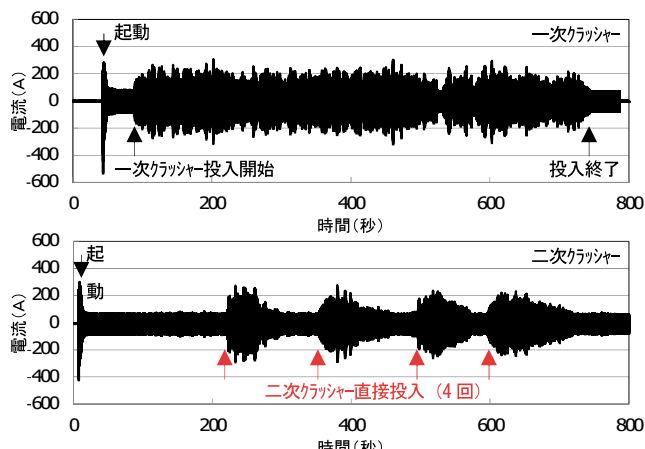


図-8 クラッシャーの電流値の推移（2 連試験）

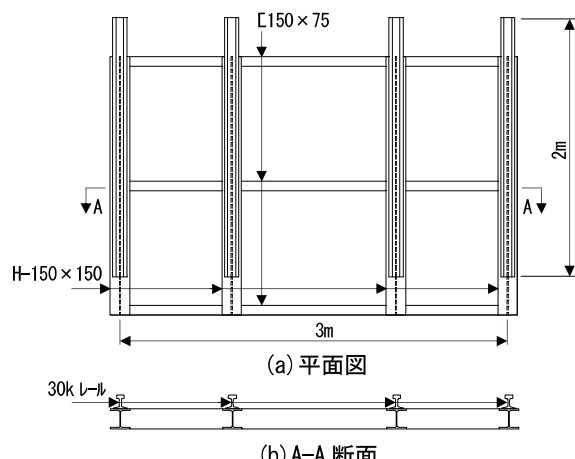


図-9 移動式伸縮ベルコン用のレールの構造

を利用してレールユニットを取り外し、切羽側に連結する。この手順を支保工設置時、あるいは装薬孔穿孔時に行うことで施工サイクルへの影響を回避できる。なお、伸縮ベルコンの移動方法については履帶方式等も可能であり、これについては検討の余地があると考えている。

6.まとめ

急速施工実現のポイントとなっているずり運搬に着目し、高速化する方法を提案するとともに、その性能確認を目的として実機を用いた実証試験を実施した。試験により得られた知見、本システムの特長を以下に要約する。

- i. 伸縮ベルコンを用いることで、5 分以内で 2 台のクラッシャーをずり運搬時の所定の位置（切羽から一次クラッシャーまで 20m）に移動できる
- ii. 2 台のクラッシャーを用いた二段階破碎と並行して、二次クラッシャーに直接ずりを投入する「部分的並列使用」が可能である
- iii. ずり運搬時にクラッシャーと切羽距離を近づけることに加え部分的並列使用を実施することで、「処理速度 550t/h、破碎後の最大ずり径 250mm 以下」を実現できる
- iv. 上記処理速度は、現在最も一般的である NT300 級クラッシャー 1 台を用いる方法に対して 60%、国内最大級で特殊機械とされる NT500 を用いた場合に対して 14% 上回っている
- v. 汎用的なクラッシャー NT300 級を 2 台用いるため機械トラブル時の対処が容易であり、1 台のクラッシャーが作動不能になった場合でも切羽停止を回避できる

7.あとがき

本システムは、北海道新幹線の立岩トンネルで採用し、引き継ぎ性能を検証していくとともに、中央新幹線等で今後建設が予定されている長大トンネルにおけるずり運搬システムとして提案していく予定である。

【参考文献】

- 1) NATM 積算研究会、「NATM の施工と積算」、p.293、2006.9
- 2) 土木学会、「トンネル標準示方書 山岳工法・同解説」、pp.152-156、2006.7
- 3) 大泉碎石株式会社、「大泉碎石㈱ 飯渕工場 碎石原石山岩質調査 報告書」、2012.7
- 4) 三木幸蔵、「絵とカラー写真で理解する 岩盤力学入門」、p.197、1986.11
- 5) 社団法人日本建設機械化協会、「骨材の採取と生産」、p.220、1975

高耐久性ビット（スタミナビット）の開発

Development of High Durability Cutter Bits for Tunnel Boring Machines

川嶋英二* 犬飼 貴** 木下茂樹** 星 智久***

要旨

近年シールド工事の大口径、長距離化が進んでいる中で、掘削性能を左右する超硬ビットの性能を向上させることが、シールド工事における課題として挙げられる。これまでカッタービットの材質や交換方法等の研究を進めてきたが、耐久性に優れた刃先の形状、すなわち切削した土砂の流れをスムーズにし、切削性、耐摩耗性を向上させる研究はほとんど実施されてこなかった。本研究では、3D プリンタを用いて作成したビットを使用した模型実験及び 3D スキャナによる摩耗計測手法の開発を行うとともに、高耐久性ビットとして新たな形状を有する「スタミナビット」の開発に取り組んだ。模型実験では、カッタービットの切削の観察手法として良好な結果を得た。また、摩耗計測に関しては、3D スキャナによってビット形状の詳細な把握ができる手法を確立した。

キーワード：カッタービット、長距離シールド、3D スキャナ、3D プリンタ

1. まえがき

近年、シールド工事は下水道や地下鉄のみならず、道路トンネルや農業水路への適用も増加傾向にあり、施工の大断面や長距離化が進み、様々な地質からなる地盤を効率的に掘削する技術が求められている^{1), 2)}。その中で、掘削性能を左右する超硬ビットの性能を向上させることも、課題の一つとして挙げられる。特に礫質地盤においては、ビットの損耗が顕著となることが分かっており、その対策が必要となる。

本研究では、高耐久性ビットを開発する目的で、ビットの透明模型を用いた模擬地盤での切削実験および試作モデルの実現場への適用を行った。

以下に、開発の経緯、切削実験での検証結果、実施工における計測等について報告する。

2. 高耐久性ビットの開発

2.1 開発の背景

一般的に、礫質地盤のシールド掘削においては、先行ビットであるシェルビットが大きな役割を果たすことが知られている。シェルビットで地盤を先行切削し、ティースビットで切削・取り込みをすることが求められるが、礫質地盤における長距離掘進では、先行ビットの耐摩耗性の向上が課題である。

シールド分野において、カッタービットの開発は、①材質の研究、②形状の研究、③長寿命化等の切削機構

(メカニズム、システム) の研究、④ビット交換等の施工方法の研究、に区分される。その中で、長距離シールドへの対応としては、主にビット交換手法の開発に取り組まれており、例えばリレービット工法など地盤改良を施工せず機内でビット交換を行う方法が実用化されている。これらの技術は、主に大口径シールドが対象となり、中小口径シールドにおいては現在のところ有効な手段がなく、また機内スペースも狭隘であることから開発は困難であるため、ビットそのものの長寿命化・高耐久化が求められる。

2.2 使用材料の選定

A. 超硬チップ

通常シールド機のカッタービットのチップ材としては、JIS 規格 (JIS M 3916) の鉱山工具超硬焼合金が一般的に使用され、耐衝撃性に優れる E5 種が用いられる(表-1)。また砂地盤等の長距離掘進では、耐摩耗性に優れる E3 種が用いられることもある³⁾。母材(シャンク)部分は S50C(機械構造用炭素鋼)が用いられるケースが多い。

シェルビットは耐衝撃性を有する E5 種をチップに用いて、さらに比較的軟らかいシャンク部で挟み込むことで、衝撃を吸収し、礫地盤において切削性を向上させていると考えられている。

表-1 カッタービット刃先材料の分類

| JIS 分類 番号 | 特性値 | | 化学成分 (参考) | | |
|--------------|---------|--|-----------|--------|-------|
| | 硬度(HRA) | 抗折力 kgf/mm ² (N/mm ²) | W (%) | Co (%) | C (%) |
| E 1 | 90 以上 | 120(1177) 以上 | 87~90 | 4~8 | 5~6 |
| E 2 | 89 以上 | 140(1373) 以上 | 85~89 | 5~10 | 5~6 |
| E 3 | 88 以上 | 160(1569) 以上 | 83~87 | 7~12 | 5~6 |
| E 4 | 87 以上 | 170(1667) 以上 | 82~86 | 8~13 | 5~6 |
| E 5 | 86 以上 | 200(1961) 以上 | 78~85 | 9~17 | 5~6 |

(注) W : タングステン、Co : コバルト、C : カーボン

* 東北支店土木第 2 部 ** 東日本支社土木技術部 *** 東日本支社土木第 1 部

b. 材質の選定

超鋼チップのメーカーでは、化学成分の調整により、JIS 規格に準じつつ独自の材質性能を保証しているものもある。その中で、筆者らは SG30 という材質に着目し、メーカーと協力して今回の開発におけるシェルビットに採用している。材質の性能を表-2 に示す。SG30 種は、通常使用する E5 種の 2 ランク上の硬度(E3 種と同等)と 1.5 倍の抗折力をを持つ材質で、これまで当社のシールド工事において 2 件の実績を有している。

耐摩耗性が以前のビットより高いことに加えて折損しにくいため、材質面からは耐久性のあるビットの製作が可能である。なお SG30 は、超合金チップメーカー、株式会社スターイロイ社の製品である。

表-2 各種チップ材の材質性能比較表

| 合金種別 | JIS E5 種 | JIS E3 種 | SG30 種 |
|-------------------------|----------------|--|---------------------------------|
| 硬度(HRA) | 86.0 以上 | 88.0 以上 | 88 (E3 種と同等) |
| 抗折力(N/mm ²) | 1961 以上 | 1569 以上 | 2940 (E5 種の 1.5 倍) |
| 特徴 | 通常のビットに用いられる合金 | E5 種より硬度があるので硬質地盤に適用されるがチップが欠け易くコストも高い | E3 種の硬度を持ちながら折れにくく、コストも E3 種と同等 |

2.3 ビット形状の決定

a. シェルビットにおける課題点

シェルビットは礫層において先行して地山を切り崩す役割を果たすため、より切削性に富む形状としている。超合金素材を使用したチップ材を、比較的軟らかい母材(シャンク部)で挟み込むことで、衝撃を吸収し礫地盤において抗折性能を向上させている。

先行ビットの形状の中でも、シェルビットは大豊建設が初めて採用したビットで、長年の実績からチップが欠けにくく、また摩耗しにくい形状を選択している。すなわち、チップとシャンクの幅方向の断面比率がほぼ 1 : 1、また端面は切削した土砂をチャンバー内にスムーズに取り込めるような、いわゆる流線型に近い形状を持つ。

一方で礫地盤と砂地盤が互層となっているような地盤や、砂地盤の掘削延長が長い場合などは、砂質分の研磨作用によりシャンク部が先行して摩耗し、歯槽膿漏のようにチップが欠け落ちる事例もある。シェルビットの摩耗状況(写真-1)を見ても、シャンク部が先行して摩耗しており、シャンク部の摩耗対策が複合地盤においては課題となる。

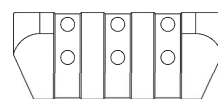


写真-1 シェルビットの摩耗状況

b. 摩耗対策

シャンク部分の摩耗を低減するために以下の方針でビット形状を決定し(図-1、2)、高耐久性の新たなカッタービットとして「スタミナビット」と命名した。

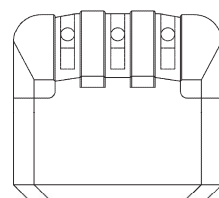
- i. 薄いチップ材を製作することで、チップの配置間隔を狭くして、より多くのチップを埋め込む
- ii. シャンク部分に円柱状のチップをさらに埋め込む



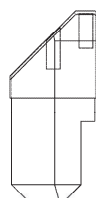
上面図



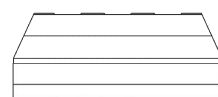
左側図



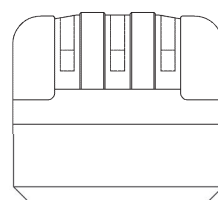
正面図



右側図



下面図



背面図

図-1 スタミナビットの形状

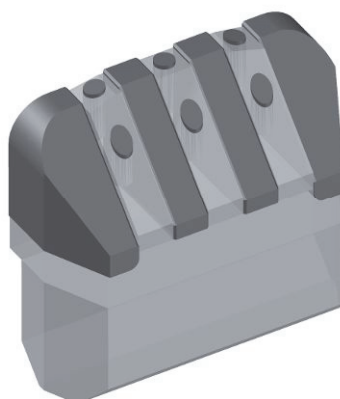


図-2 スタミナビットの形状（3D）

3. 3D プリンタによる模型実験

3.1 模型実験の背景

カッタービットの研究はこれまで、材質の研究、チップの配置や長寿命化等の切削機構の研究やビット交換等の機械的機構の研究などが主体で、ビットの形状については、各メーカーのノウハウや経験、実績に頼っており、具体的な研究があまりなされていない。その理由として、ビットの刃先と地山の接触面を直接確認する方法がなく、定量的に評価することが困難であったことが挙げられる。

今回開発を行った「スタミナビット」は、従来のシェルビットの形状を踏襲しつつ、円柱チップをシャンク部分に埋め込むという新しい形状としている。この円形チップの効果を確認する目的において、そもそもビットが地盤を切削する際の形状の効果について検証を行う必要があると考えた。

そこで、正確に形状を複製することが可能な 3D プリンタを用いて、「スタミナビット」の透明模型を製作し、模擬地盤で切削実験を行い、形状の効果について確認を行った。実験を行った結果、透明模型を用いることで、刃先と地盤の接触状況を観察することができ、また模擬地盤の切削状況を観察することで、切削性能を評価できることを確認した。

3.2 カッタービット透明模型の製作

本研究において 3D プリンタで製作するカッタービットの模型は、切削した土砂の影響を受けやすいシェルビットとした。使用した 3D プリンタの仕様を表-3 に、シェルビットの形状を図-3 に示す。

表-3 3D プリンタ仕様

| | |
|-------|------------------------------------|
| プリンタ | Stratasys 社製 Objet30 Pro |
| 形式 | ポリジエット方式 |
| 造形サイズ | 294(W) × 192.7(D) × 148(H) [mm] |
| 造形解像度 | 600(X) × 600(Y) × 600/900(Z) [dpi] |
| 鉛直解像度 | 8 μm(標準)/16 μm(高解像度) |
| 精度 | 0.1mm |

素材は透明樹脂を使用し、2/3 サイズの模型を製作した。製作時間は模型の高さに比例し、3DCAD の製図に 2 時間、出力に 11 時間要した。製作した模型を写真-2 に示す。

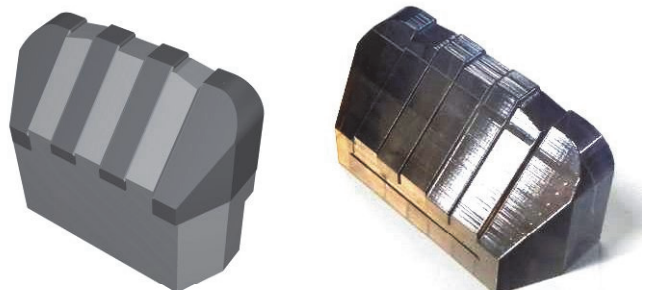


図-3 シェルビット形状

写真-2 製作した模型

3.3 模擬地盤による切削箇所の確認

模擬地盤は、透明模型との接触面の視認性を検証するために、人工砂、球状プラスチックビーズ、砂礫土の 3 ケース用意した。写真-3～5 は模擬地盤に透明模型を設置した時の状況である。材料の彩度の違いから視認しやすさに違いがあるものの、十分な光源下では透明模型を介して地盤との接触面を視認できることを確認した。

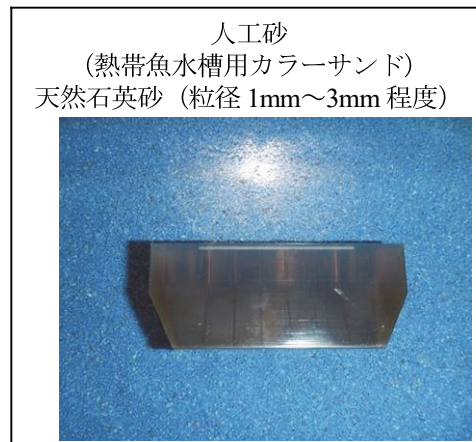


写真-3 透明模型設置状況（人工砂）



写真-4 透明模型設置状況（ビーズ）

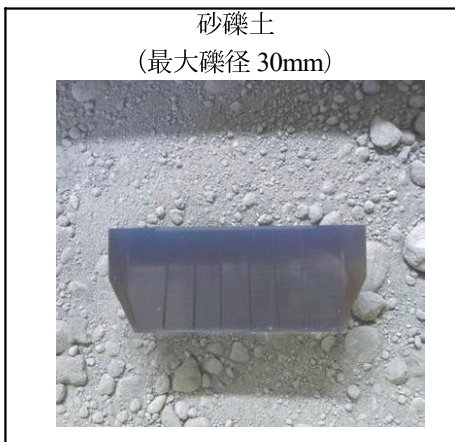


写真-5 透明模型設置状況（砂礫土）

3.4 模擬地盤による切削状況の確認

切削状況の確認方法として、青色の人工砂上に 2cm 間隔で色彩の違う人工砂でマーカー線を設置した模擬地盤を作成し、ビットの透明模型を一方向に切削しながら移動させた（写真-6）。移動距離は 0 から 8cm までとし、10cm/分程度の移動速度とした。また、試験中は継時的なマーカーの移動を把握するため、試験装置上方からビデオカメラとデジタルカメラで撮影を行った。

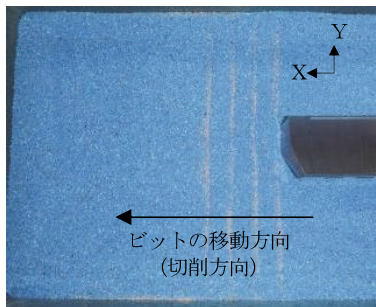


写真-6 透明模型による切削状況

マーカーの移動量を示したもの（図-4）と、平均移動量を示したもの（図-5）を示す。マーカーの移動量は、撮影した映像を画像解析することで定量化している。カッタービット刃先周辺の人工砂は、接触面で押し出されることによるビット進行方向への移動と、押し分けられることによる左右への移動が確認された。また、マーカーの移動量から確認すると、切削方向に移動するものが主体的となった。左右に移動する人工砂においても、カッタービットのテープ一面（写真下方、透明部分を介して確認できる箇所）より、垂直面（写真上方）の方が移動量が多かった。移動した人工砂は、前面の人工砂に流れを阻害され盛り上がるような運動をする。この盛り上がった人工砂が、実地盤においてカッタービットで切削された残土と考えると、人工砂の運動量の大小がカッタービットの切削性能を示すと考えられる。

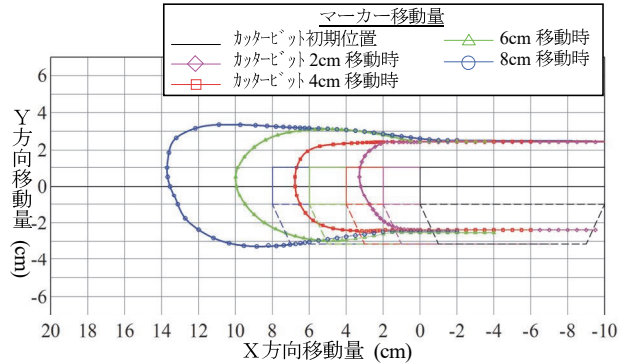


図-4 カッタービット位置別のマーカー移動量

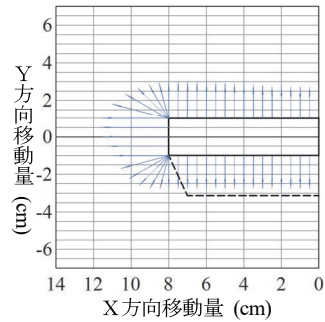


図-5 平均移動量

3.5 模型実験結果のまとめ

模型実験の結果、以下の知見を得た。

- 透明模型は、カッタービットの刃先と地山接触面を直接観察することができ、ビットの切削による土砂の移動方向は切削方向に移動するものが主体的となることを確認した
- カッタービットのテープ一面より、垂直面の方が人工砂の移動量が多くなった
- 移動した人工砂は、前面の人工砂に流れを阻害され盛り上がるような運動をすることが確認された。これらは、3D プリンタで製作した透明模型による観察の成果であり、切削性能の評価につながる結果である。

4. 3D スキャナによる摩耗計測手法の開発

4.1 開発の背景

シールド工事におけるカッタービットの長寿命化の開発では、実施工におけるカッタービットの摩耗量の計測が不可欠である。また、計測された摩耗量は、カッタービットの研究において基礎的資料となるため、高耐久性カッタービットの開発において重要な役割を果たすと考えている。

一般的には、シールドの掘進完了後にカッタービットの摩耗量を測定して、計画時に推定した計画摩耗量と比較および考察をし、使用したカッタービットの性能を評価しており、通常は解体したカッタービットを取り外し、

施工前の形状に切り抜いた型紙にあてがいスケールで摩耗量を測定している（写真－7～8）。この方法では、摩耗量をカッターヘッドの先端で2次元的に把握することしかできないため、カッタービット側部の摩耗、チップの欠け、チップ周辺の摩耗状況を定量的に評価できない。



写真-7 ビット摩耗量測定



写真-8 側部の摩耗・チップの欠け

そこで今回、カッタービットの摩耗量を3次元的に把握するために、3Dスキャナを用いて計測する方法を、実際のシールド機で試験した。以降にその方法を示す。

4.2 3Dスキャナによるカッタービット計測試験

4.1 で述べた課題を解決するために、3Dスキャナを用いてカッタービットを計測する方法が有効であると考えた。3Dスキャナは、対象物にレーザー等を照射し、点群データとして対象物の形状の三次元座標を取得するものである。今回、3Dスキャナを用いて実際にカッタービット計測試験を行い、以下の事項を確認した。

- i. 3Dスキャナでカッタービットの3次元データを取得できるか
- ii. 測定精度はどの程度得られるか

試験に使用した3Dスキャナ（写真-9）には非接触ハンディータイプのものを使用した。対象物を15回/秒ごとに測定することで、対象物にマーカー等を設置することなく連続的に形状をスキャンすることができる。

3Dスキャナの仕様を表-4に示す。

計測試験は写真-10に示すように、シールド機製作工場で行った。計測した結果を画像で確認しながら測定し、さらに画像の合成等の操作を行った。作業時間は、1つのカッタービットで約30分から45分であった。

表-4 3Dスキャナ仕様

| | | | |
|--------|------------------------|----------|--------------------|
| 3Dスキャナ | OPTECH 社製 Artec EVA | データの取得時間 | 最大2,000,000点/秒 |
| 3D解像度 | 最大0.5mm | 出力フォーマット | OBJ、STL等 |
| 3D距離精度 | 最大100cm以上 | 電源 | 12V |
| 光源 | フラッシュパルブ（非レーザ） | 質量 | 0.85kg |
| 測定距離 | 0.4~1m | 寸法 | 261.5×158.2×63.7mm |



写真-9 3Dスキャナ



写真-10 計測試験状況

4.3 計測結果

計測した画像の例を図-6に示す。点群データとして取得したデータを、CAD上で確認できるよう3Dメッシュ要素に変換している。

表-5は、カッタービットの幅方向を3Dスキャナとノギスで計測した結果の差分を示したものである。全6点の計測データの差異の最大値は0.74mmで、標準偏差は0.27mmであった。両者の結果はほとんど一致しており、3Dスキャナで計測することが実用上問題ないことが確認できた。

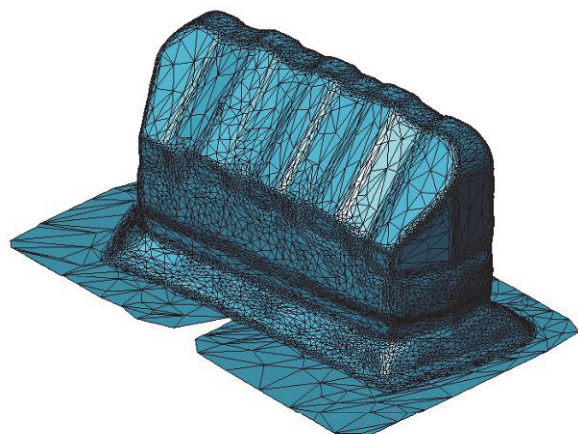


図-6 計測結果 (3D図面)

| 測点名 | 実測 | 3D | 差 |
|-----|--------|--------|------|
| L | 200.75 | 200.96 | 0.21 |
| B1 | 62.50 | 63.01 | 0.51 |
| B2 | 62.20 | 62.87 | 0.67 |
| B3 | 62.30 | 63.04 | 0.74 |
| B4 | 62.20 | 62.26 | 0.06 |
| B5 | 62.10 | 62.20 | 0.10 |

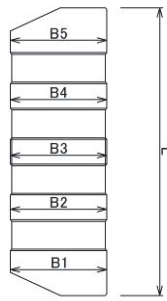


表-5 計測結果（ノギス計測と3Dの比較）

5. 得られた知見

高耐久性ビットの開発に向けた本研究の取り組みにおいて、以下の知見を得た。

- i. 3D プリンタを用いることで、短時間で切削ビットの試作品（模型）の製作が可能である
- ii. 模型による切削性能実験では、カッタービットの刃先と地山接触面を直接観察することができ、ビットの切削による土砂の移動方向は切削方向に移動するものが主体的となることを確認した
- iii. カッタービットのテーパー面より、垂直面の方が掘削対象地盤（実験では人工砂）の移動量が多くなり、移動した人工砂は、前面の人工砂に流れを阻害され盛り上がるような運動をすることが確認された
- iv. 3D プリンタで製作した透明模型による観察により、切削性能の評価ができる
- v. 3D スキャナを用いることで、今まで出来なかつた実際のシールド機に取り付けた切削ビットの3次元的な摩耗計測ができるようになった

6. あとがき

3D プリンタと 3D スキャナを用いることで、今まで出来なかつたビットの試作品の製作と 3 次元的な摩耗計測ができるようになった。現在、①犬山系シールド（写真-11）、②仙台シールド、③京都新川シールド、④豊橋シールド（写真-12）の 4 現場で実稼働中のシールドマシンに高耐久性カッタービット「スタミナビット」を装着し、実際のシールド機の先端で地盤の切削実験を行っている。



写真-11 スタミナビットの装着状況（犬山系）



写真-12 スタミナビットの装着状況（豊橋）

各現場ではシールド機の到達やビット交換が予定されていることから、使用した高耐久性ビットを取り出し、効果の検証を行う予定である。その上で、対象となった地盤を含めた切削条件と摩耗状況を整理して分析し、「スタミナビット」の性能評価を行う計画である。

【参考文献】

- 1) 外木場康将、中村誠喜、宇留間高広、榎原光義、「シールド切羽可視化システムの構築と実現場への適用（その 1）」、第 69 回土木学会年次学術講演会、pp.1275-1276、2014.9
- 2) 松田敦夫、木下茂樹、外木場康将、榎原光義、「シールド切羽可視化システムの構築と実現場への適用（その 2）」、第 69 回土木学会年次学術講演会、pp.1277-1278、2014.9
- 3) 田中一雄、大道武治、深海仁司、山本 享、坪内範和、脇田雅之、小倉嵩敬、「超長距離・高速掘進シールドにおけるビット摩耗特性について」、第 56 回土木学会年次学術講演会、p.140、2001.9

長距離流動と狭隘部充填を可能にした中詰材の開発

—ガスパイプライン敷設工事におけるガス管周辺の隙間部充填に適した中詰材の基本性能—

Infilling Air Mortar Enabling Long Distance Grouting and Narrow Space Filling

- Basic Performance of Infilling Mortar Suitable for Filling Annular Space around Steel Pipe in Gas Pipeline Construction -

廣中哲也* 星 智久** 三澤孝史*

要旨

トンネル内にガスパイプラインを敷設する工事において、内径 1100mm の推進管内に外径 900mm のガス管を設置する場合に、延長 500m を一度に充填することを目標に材料開発を進め、その性能確認のため、配合試験および充填・流動実験を実施した。その結果、開発した中詰材は、上記条件下で想定される中詰めの作業時間である製造から 7 時間経過後に、材料分離を生じることなく、優れた流動性を維持し、硬化後には高い透気性を有することが確認できた。

キーワード：ガスパイプライン、中詰材、エアモルタル、高流動性、非分離性

1. まえがき

ガスパイプライン敷設工事では、推進工法やシールド工法で構築されたトンネル空間の充填とガス管の防食を目的として、トンネルとガス管の間の空間をエアモルタルで充填することが行われている。この中詰材には、万が一、ガスが漏洩した場合に検知できるように、高い透気性が要求されており、エアモルタルの空気量を増やす対策がとられてきた。しかし、空気量を増やすと、材料分離が生じやすく、また、圧送・充填のために必要な流動性を長時間維持できないため、圧送距離および1回に充填できる区間の長さが限られていた。

今回、推進工法やシールド工法により構築されたトンネル内にガスパイプラインを配管する工事において、ガス管周辺の充填に使用する材料として、長時間の流動性を保持し、優れた充填性・透気性を有する中詰材を日鉄住金パイプライン&エンジニアリング㈱および㈱タックと共に共同開発した。

本報では、開発した中詰材の概要および各種の性能確認実験結果について報告する。

2. 開発した中詰材の概要

2.1 開発目標の設定

図-1に開発目標のイメージを示す。河川下等でのガスパイプライン敷設工事を想定して、内径 1100mm の推進管内に外径 900mm のガス管を延長 500m 施工する条件を設定し、推進管端部から中詰材を圧送して推進管とガス管との隙間部に充填することを目標とした。

そのため、開発する中詰材は、一般的の要求性能に加えて、上記の施工条件と通常の圧送設備の仕様によって定まる製造から充填完了までの 6~7 時間の間、優れた流動性を保持する要がある。

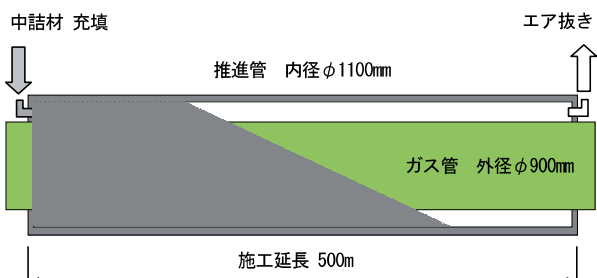


図-1 開発目標のイメージ

2.2 中詰材の要求性能

ガスパイプライン敷設工事に適用できる中詰材の性能としては、高流動性、非分離性が求められ、さらに、前

*技術研究所 **東日本支社機械部

述の施工時間に応じた流動性の保持機能も要求される。また、ガス管特有の中詰材の性能として高い透気性も必要とされることから、これら全ての性能を満足する中詰材を開発することが本研究の目的である。

ガス事業者の定める品質基準を参考にして、今回の開発目標を満足するための中詰材の性能を表-1に示す。

表-1 ガスパイプライン工事における中詰材の性能

| 項目 | 性能 |
|---------|--|
| フレッシュ性状 | 流動性 充填性 フロー150~200mm (シリンドー法) ・流動性が高く、トンネル内の空間を充填できること |
| | 流動性の保持性能 製造からの流動性の保持時間 6~7時間 ・推進管とガス管との隙間部を充填完了するまで流動性を保持すること (空気量 30~50%の中詰材と通常の圧送設備を用いて、内径 1100mm の推進管に外径 900mm のガス管を延長 500m に施工した場合を想定) |
| | 材料分離抵抗性 ブリーディング率 0% ・ブリーディング水の発生による体積変化を生じないこと |
| | 軽量性 密度 0.8g/cm ³ 以下 ・充填時に外径 900mm のガス管が浮き上がらない密度とする |
| 硬化性状 | 強度特性 圧縮強度 0.2~0.5N/mm ² 程度 (材齢 28 日) ・ガス漏洩時に人力掘削できる程度の低強度 |
| | 発熱特性 硬化温度 60°C 未満 ・ガス管塗膜の耐熱温度以下 |
| | 透気性 透気係数 0.1cm/秒以上 ・漏洩時に、中詰材を透過して感知センサーまで到達すること |
| | 通電性 ガス管の電気防食のために設置する電極の通電性を妨げないこと |

2.3 中詰材の配合

開発した中詰材の使用材料および配合例を表-2に示す。一般に、ガスパイプライン敷設工事に求められる高い透気性を得るために中詰材の空気量を増やすと、時間経過に伴い、気泡の消失による材料分離が生じやすくなるので、長時間にわたる施工が困難となり、一度に充填できる流動距離が制限される。

このような課題に対し、所定の透気性を満足する空気量と材料分離抵抗性、流動性とのバランスを取り、従来よりも長時間の流動性を保持できる材料を開発した。

開発した中詰材は、エアモルタル系の材料で、新しく開発したベースモルタルに起泡剤を添加したものである。ベースモルタルは、セメント、ペントナイト、水を基本構成とし、これに微量のセルロースファイバーと流動化剤を添加したものとなる。

また、中詰材の流動性を高めるために、通常の 2 倍程度添加した流動化剤と膨潤性を有するペントナイトを併

用することで、長時間の材料分離抵抗性と流動性を保持している。さらに、透気性を向上するために、安定した独立気泡の生成に効果のあるノニオン系セルロースファイバーとノニオン系界面活性剤（起泡剤）を使用した。

表-2 中詰材の使用材料および配合例 (1m³ 当たり)

| ベースモルタル (モルタル量 588L/m ³) | | | | | 気泡 (気泡量 412L/m ³) | | |
|---|--------|----------|-------|-------|----------------------------------|-------|---------|
| 単位量 (kg/m ³) | | | | | 単位量 (kg/m ³) | | 空気量 (L) |
| 水 W1 | セメント C | ペントナイト B | 混和剤 1 | 混和剤 2 | 水 W2 | 混和剤 3 | |
| 512 | 200 | 24 | 4.5 | 0.01 | 19.8 | 0.8 | 391 |

【使用材料】

水 W1：ベースモルタルの練混ぜ水
水 W2：起泡剤の希釈に使用する水
セメント C：高炉セメント B 種、密度 3.04g/cm³
ペントナイト B：特殊ペントナイト、密度 2.60g/cm³
混和剤 1：流動化剤、リゲニンスルファン酸塩系粉末
混和剤 2：助剤、ノニオン系セルロースファイバー
混和剤 3：起泡剤、ノニオン系界面活性剤

3. 中詰材の基本物性

3.1 試験項目および管理目標値

表-3 に中詰材の試験項目と管理目標値を示す。

表-3 中詰材の試験項目および管理目標値

| 試験項目 | 試験方法 | 管理目標値 |
|----------|---|--------------------------|
| フロー | JHS A 313 シリンダー法 ・直径 8cm × 高さ 8cm の円筒コーンに試料を投入し、コーンを引き上げた時に広がる直径を測定する | 150mm 以上 |
| 湿潤密度 | 重量法 ・所定容器の重量を計測して、フレッシュ時の密度を算出する | 0.8g/cm ³ 以下 |
| ブリーディング率 | メスシリンドー法 ・メスシリンドーに中詰材を入れ、経過時間と水量を測定する | 0% |
| 圧縮強度 | JIS A 1108 コンクリートの圧縮試験方法 ・試験体 Ø 50 × 100mm の円柱試験体を使用、材齢 28 日で実施 (各材齢 3 体) | 0.2~0.5N/mm ² |
| 透気係数 | 専用透気試験機 (図-6、写真-1 参照) により、側面をエボキシ樹脂でコーティングした円柱供試体 Ø 50 × 100mm の下面から透気する空気量と圧力を測定する | 0.1cm/秒以上 |
| 硬化温度 | 簡易断熱温度上昇試験 ・断熱材で囲った型枠内に中詰材を打設し、熱電対により硬化時の温度を測定する (図-4 参照) | 60°C 以下 |

3.2 フレッシュ性状

図-2 に開発した中詰材のフローおよび湿潤密度の経時変化を示す。フローは、製造からの経過時間が長くな

るにしたがって小さくなっている。中詰材として、十分な流動性を示すフロー 150mm 以上を製造から 7 時間後まで確保しており、推進管とガス管との隙間部を充填完了するまで流動性を保持できた。

湿潤密度は、0.74~0.76g/cm³と製造から 7 時間後まではほぼ一定の値を示しており、ガス管が浮き上がらない目標値 0.8g/cm³以下を満足し、気泡の消失や材料分離のない安定した性状を確認できた。なお、製造から 24 時間後のブリーディング率は 0%で材料分離を生じていない。

3.3 圧縮強度

図-3 に空気量と圧縮強度の関係を示す。圧縮強度は、空気量の増加に伴って小さくなっています。空気量 29.5~47.5% の範囲で人力掘削できる程度の低強度 0.2~0.5N/mm² を満足した。

3.4 硬化温度特性

図-4 に断熱温度上昇量測定用の断熱型枠、図-5 に中詰材の温度測定結果を示す。混練直後の中詰材を発泡スチロール製の断熱型枠内に充填し、10 日後（240 時間）まで温度測定を実施した。最高温度（中央部）は、29.6°C と、目標値であるガス管塗膜の耐熱温度 60°C 未満を十分満足する硬化温度であった。

3.5 透気性

図-6 に透気試験の概要、写真-1 に透気試験状況を示す。本試験は、ダルシー則が成立するとして、下式により透気係数を算出する方法である¹⁾。

$$k = L \cdot Q / (h \cdot A \cdot t)$$

ここで、

k : 透気係数 (cm/s)、 L : 供試体高さ (cm)

Q : 流量 (cm³/s)、 h : 壓力 (高さ換算 cm)

A : 供試体断面積 (cm²)、 t : 計測時間 (s)

材齢 28 日まで気中養生した直径 50mm × 高さ 100mm の円柱供試体の側面をエポキシ樹脂でコーティングすることで側面の通気を遮断して上下面方向のみ透気するようにし、下面より圧力を段階的に変化させた時の透気量を流量センサーで測定した。透気試験は、室内配合試験および充填性確認実験時に実施し、透気係数は 0.40~0.48cm/s の値を示し、目標値の 0.1cm/s 以上となった。

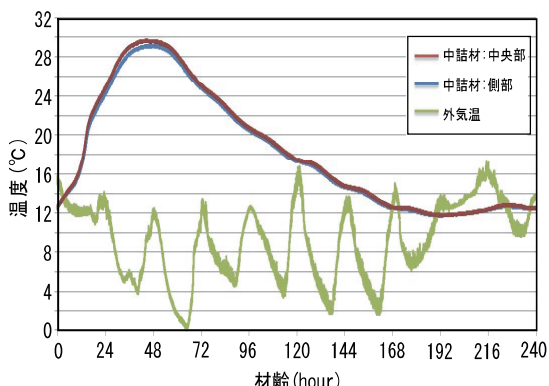


図-5 中詰材の温度の経時変化

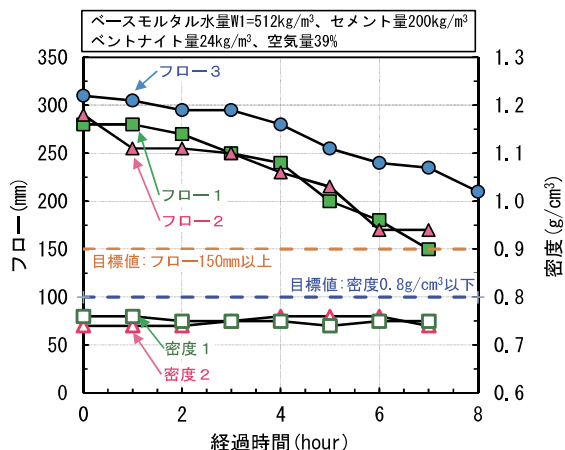


図-2 中詰材のフローおよび湿潤密度の経時変化

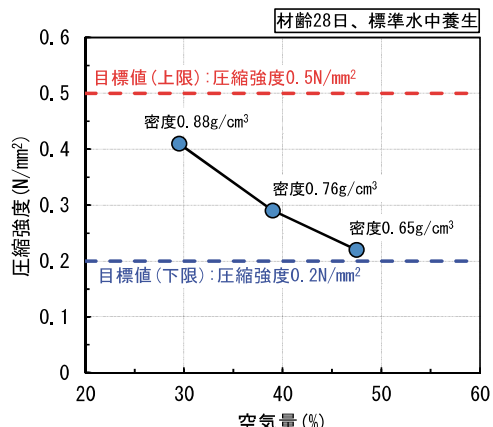


図-3 空気量と圧縮強度の関係

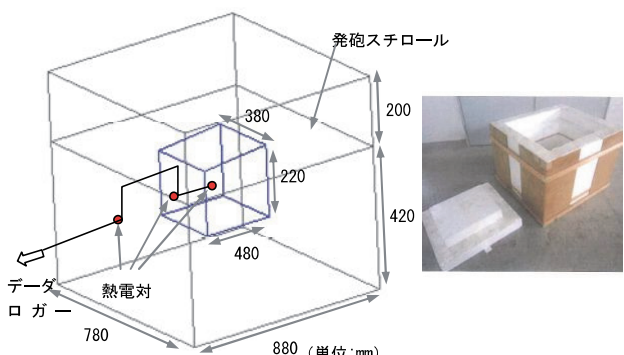


図-4 断熱温度上昇量測定用の断熱型枠

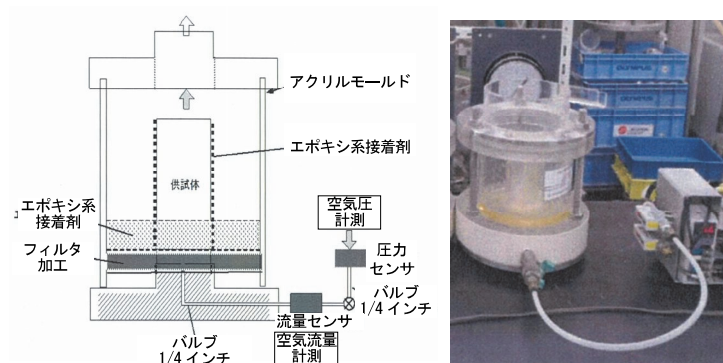


図-6 透気試験の概要

写真-1 透気試験状況

4. 性能確認実験

4.1 実験概要

a. 充填性確認実験

想定した条件での中詰材の充填性を確認するために、実大規模の円筒状鋼製型枠に、製造から所定の時間を経過した中詰材を充填する施工実験を実施した。

図-7に充填実験装置の側面図、図-8に中詰材の充填断面および写真-2に充填実験装置を示す。実験装置は、内径1100mmの鋼管の内側に、ガス管900Aに相当する外径900mmの钢管を配置した。外側の钢管は、中詰材の充填後に解体しやすいように3分割できる構造とし、充填状況を観察するためのアクリル製観察窓を設け、内側と外側の钢管の隙間に中詰材を充填した。内側の钢管には、実工事においてガス管の送り込み作業時に、ガス管を傷めないために装着するパイピングスムーサーを設置しており、外側の钢管との最小間隔は37.8mmである。

表-4に充填性の実験ケース、図-9に充填実験に用いた製造・圧送プラントの配置を示す。図-1に示したように、中詰材の充填に要する時間が中詰材の充填性に及ぼす影響を把握するために、実験装置への中詰材の充填開始時期をパラメータとした。ケース1は、製造直後の中詰材の充填性、ケース2は、施工延長500mの充填に必要な時間に相当する製造から7時間後の中詰材の充填性の把握を目的とした。なお、製造からの経過時間の7時間は、施工延長500m(空洞部の充填量約140m³)をモルタルポンプ(空気量40%の中詰材使用時の圧送量20m³/hour)1台により、完全に充填するのに必要な時間から算出した。また、製造から7時間後までの中詰材の練置き方法は、直径1.8mの攪拌機能付きタンクを使用し、攪拌速度を流動時間7時間として流動距離500mに対応するように4.75分/回転とした。

充填性実験は、実験装置の充填口から中詰材をモルタルポンプにより圧送、充填し、反対側のエア抜き口から中詰材が排出された時点で充填を終了とした(図-7参照)。

表-5に充填性実験の測定項目を示す。フローと密度は製造直後から7時間後までの経時変化、ブリーディング率は製造直後と7時間後の比較、充填状況は充填中の赤外線カメラの温度分布と硬化後の目視観察とした。

表-4 充填性の実験ケース

| No. | 中詰材の充填開始時期 | 練置き方法 |
|------|--------------------------------------|-------|
| ケース1 | 製造直後 ・製造直後の充填性 | - |
| ケース2 | 製造から7時間後 ・施工延長500mの充填に相当する時間での充填性 | 攪拌 |

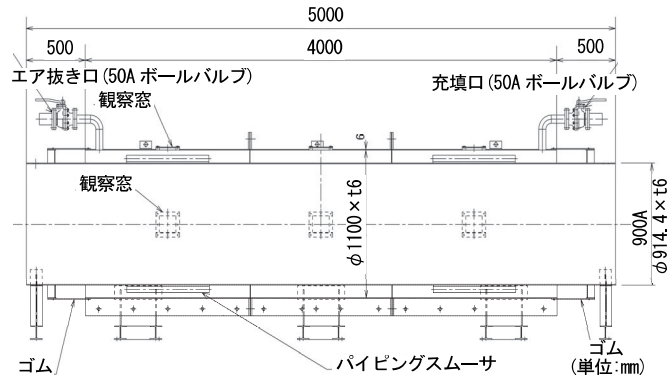


図-7 充填実験装置(側面図)

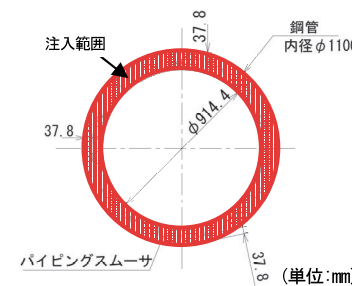


図-8 中詰材の充填断面

写真-2 充填実験装置

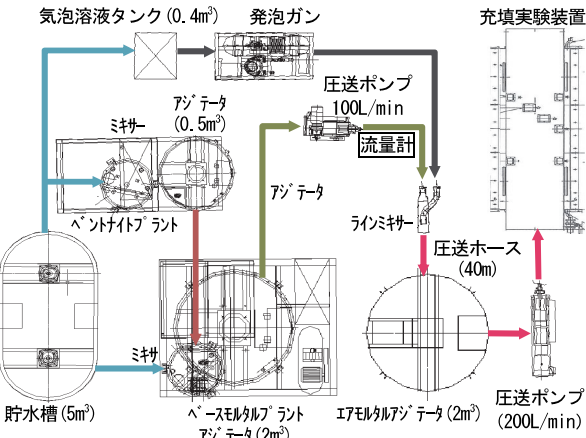


図-9 製造・圧送プラントの配置

表-5 充填性実験の測定項目

| 試験項目 | 試験方法と試料採取時期 | 管理目標値 |
|----------|--|-------------------------|
| フロー | JHS A 313 シリンダー法 ・製造直後から1時間ごとに7時間後までの8回 | 150mm以上 |
| 湿潤密度 | 重量法 ・製造直後から1時間ごとに7時間後までの8回 | 0.8g/cm ³ 以下 |
| ブリーディング率 | メスシリンダー法 ・製造直後と7時間後の2回 | 0% |
| 充填性 | 充填中 赤外線カメラの温度分布 | - |
| | 硬化後 脱型後の目視観察 | - |

b. 流動後の性能確認実験

延長 500m を中詰材が流動することによる物性への影響を確認するために、製造直後の中詰材を用いて流動後の性能確認実験を行った。

写真-3 に簡易流動実験器を示す。実験方法は、幅 300mm、高さ 150mm、長さ 2000mm の塩化ビニル製実験器を傾斜させ、製造直後の中詰材を流動距離に相当するまで繰り返し自然流下させた。なお、流動実験器の傾斜角度は、予備試験結果から中詰材が自然流下できる 34° とした。

表-6 に流動後の試験項目を示す。流動前、流動距離 250m、500m の試料を用いて、中詰材の物性（フロー、密度、ブリーディング率、圧縮強度、透気係数）を測定した。

4.2 実験結果

a. 充填性確認実験

実機による製造から 7 時間後までの中詰材の経時変化について、フローは、十分な流動性を示す目標値 150mm 以上を確保し、湿潤密度は、ガス管が浮き上がらない目標値 0.8g/cm³ 以下を満足した。また、製造から 7 時間経過した中詰材の 24 時間後のブリーディング率は 0% であった。これにより、開発した中詰材は、実施工で必要な充填時間中に所要の性能を確保できた。

写真-4 に充填確認状況（エア抜き口からの中詰材の吐出と観察窓）、**図-10** に中詰材充填中の赤外線カメラによる温度分布と可視画像を示す。今回の実験では、鋼製型枠の温度に比べて、中詰材の練上がり温度の方が低かったことから、充填中に鋼製型枠の表面温度が低下した境界線までを中詰材の充填範囲と判断した。また、ケース 2 の中詰材の充填側の流動勾配は約 11~16% で推移した。さらに、中詰材が充填口と反対側の端部まで到達すると、流動勾配はゆるやかになり、中詰材の液面が上昇する性状を示した。材齢 28 日後に外側の钢管を解体し、中詰材の充填状況を確認した。**写真-5** に中詰材の硬化後の充填状況を示す。突起があるパイピングスマーサの周辺も含め、中詰材が空隙なく充填されていることを確認した。これにより、製造から 7 時間経過した中詰材を用いた場合に、最小間隔 37.8mm の推進管とガス管との隙間部が充填可能であることを確認した。

表-6 流動後の試験項目

| 試験項目 | 試験方法と測定時期 | 管理目標値 |
|----------|---|--------------------------|
| フロー | JHS A 313 シリンダー法 ・流動距離 0, 250, 500m | 150mm 以上 |
| 湿潤密度 | 重量法 ・流動距離 0, 250, 500m | 0.8g/cm ³ 以下 |
| ブリーディング率 | メスシリンダー法 ・流動距離 0, 250, 500m | 0% |
| 圧縮強度 | JIS A 1108 圧縮試験方法 ・流動距離 0, 250, 500m | 0.2~0.5N/mm ² |
| 透気係数 | 専用透気試験機（図-6 参照） ・流動距離 0, 500m | 0.1cm/秒 以上 |

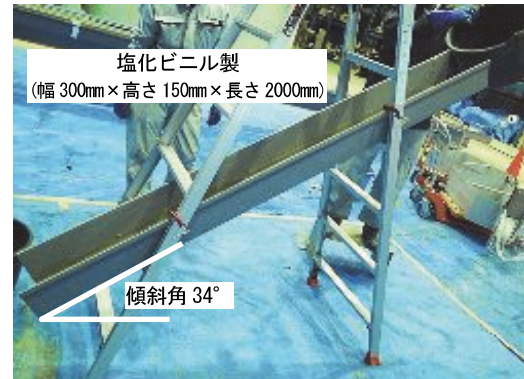


写真-3 簡易流動実験器



写真-4 充填確認状況（エア抜き口と観察窓）

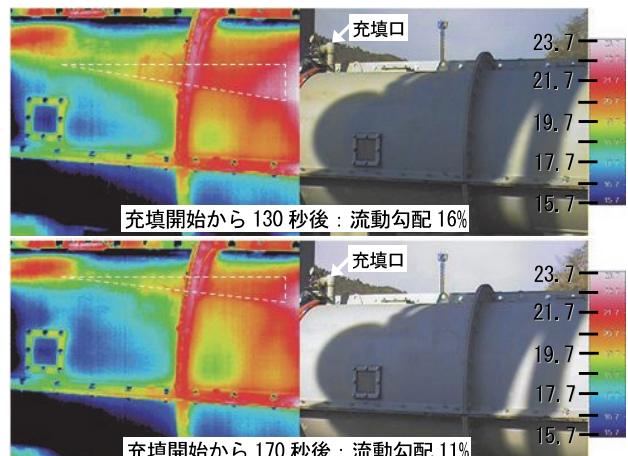


図-10 赤外線カメラによる温度分布と可視画像（ケース 2）



写真-5 硬化後の充填状況（ケース 2）

表-7 製造直後の中詰材を用いた流動後の性能確認試験結果

| 項目 (目標値) | パッチ No. | 流動距離(m) ()内は製造からの経過時間 | | |
|-------------------------------------|------------|---------------------------|-------------|-------------|
| | | 0 | 250 | 500 |
| フロー (150mm 以上) | 1 | 240 | 195(2 時間) | 190(4.5 時間) |
| | 2 | 280 | 215(1.5 時間) | 200(3 時間) |
| 湿潤密度 (0.8g/cm ³ 以下) | 1 | 0.69 | 0.70 | 0.68 |
| | 2 | 0.72 | 0.70 | 0.69 |
| ブリーディング率 (24 時間後 0%) | 1 | 0 | 0 | 0 |
| | 2 | 0 | 0 | 0 |
| 圧縮強度 (0.2~0.5N/mm ²) | 1 | 0.261 | - | 0.282 |
| | 2 | 0.255 | 0.279 | 0.276 |
| 透気係数 (0.1cm/秒以上) | 1 | 0.48 | - | 0.41 |

b. 流動後の性能確認実験

表-7 に製造直後の中詰材を用いた流動後の性能確認試験結果、図-11 に製造直後の中詰材による流動距離とフロー、湿潤密度の関係を示す。今回の実験では、中詰材の 500m の流動時間は 3.0~4.5 時間となり、フローは、経過時間および流動距離の増加に伴って小さくなるが、流動距離 500m 時のフローは 190mm と目標値の 150mm 以上を示した。また、湿潤密度は、流動中の空気の巻き込みにより流動距離の増加に伴ってやや軽くなっているが、流動距離 500m 時の密度は 0.69g/cm³ と目標値の 0.8g/cm³ 以下を示した。

図-12 に製造直後の中詰材による流動距離と圧縮強度の関係を示す。500m 流動後の圧縮強度は、流動前と同等の値を示しており、流動による影響が小さいことがわかる。また、流動後のブリーディング率および透気係数は目標値を満足し、流動後でも高い材料分離抵抗性と透気性を確保できた。

5. まとめ

ガスパイプライン敷設工事における延長 500m の推進官とガス管との隙間部を一度に施工できる中詰材の開発を目標に、配合試験、充填性確認実験および流動後の性能確認実験を実施し、以下の結果を得た。

- i. 開発したエアモルタル系中詰材は、通常の 2 倍程度添加した流動化剤と膨潤性を有するベントナイトを併用することで、長時間の材料分離抵抗性と流動性の保持を実現した
- ii. ノニオン系セルロースファイバーとノニオン系界面活性剤（起泡剤）を使用することで、消失のない安定した気泡の生成により、中詰材の所要の透気性が得られた
- iii. 充填作業に必要な製造から 7 時間経過した中詰材の物性は目標値を満足し、最小間隔 37.8mm の隙間部の充填が可能であった

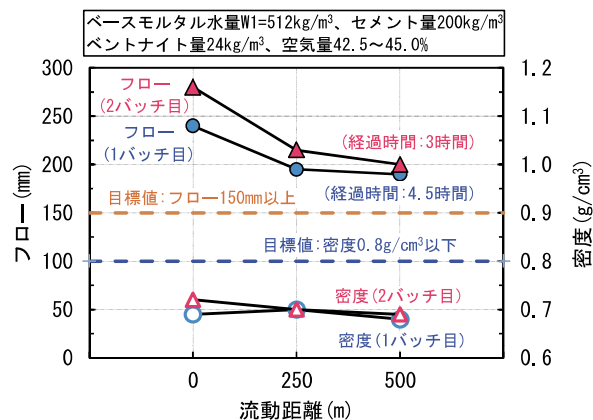


図-11 製造直後の中詰材による流動距離とフロー、湿潤密度の関係

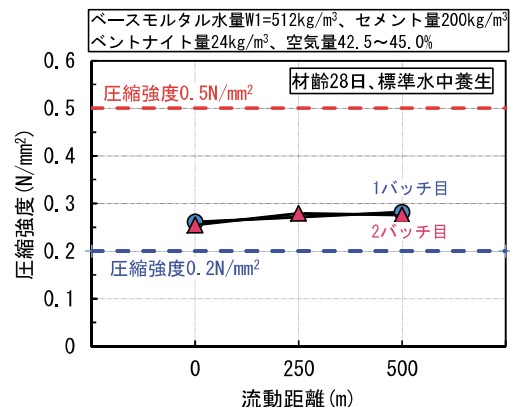


図-12 製造直後の中詰材による流動距離と圧縮強度の関係

- iv. 製造直後の中詰材による 500m 流動後の物性は目標値を満足し、フロー 190mm 以上の優れた流動性、ブリーディングのない材料分離抵抗性、圧縮強度 0.2~0.5N/mm² の目標の強度発現と透気係数 0.4cm/秒の高い透気性を示した

6. あとがき

ガスパイプライン敷設工事におけるガス管周辺の充填に使用するために、長時間の流動性を保持し、優れた充填性・透気性を有する中詰材を開発した。今後は、本中詰材をガスパイプライン敷設工事において、工期短縮やコスト低減に寄与する材料として、積極的に提案したい。また、空気量やセメント量を調整することで、流動性のさらなる向上や強度設定の自由度が増すため、透気性を必要としない中詰材としても広く展開したい。

【参考文献】

- 1) 木原晃司、吉田宣弘、山之内宏安、平原 龍、「ガス導管用長距離トンネル内充てん材に対する迅速かつ標準化した透気性確認試験方法及び装置」、地下空間シンポジウム論文・報告集、第 15 卷、pp.95-102、2010.1

鉄バクテリア汚泥を利用した 自然由来の砒素汚染土壤の不溶化

—産業廃棄物を利用した重金属不溶化材の開発—

Insolubilization of Naturally Arsenic-Contaminated Soil by Use of Iron Bacteria Sludge

- Development of Heavy Metal Insolubilizer Utilizing Industrial Waste -

小河篤史* 倉田和彦**

要旨

鉄バクテリアを利用した水処理方法である生物接触ろ過法では、水酸化第二鉄を豊富に含有する汚泥が発生する。この汚泥を原材料の一部として重金属不溶化材を開発し、シールドトンネル工事の立坑掘削において発生する自然由来の砒素汚染土壤の不溶化処理に適用した。その結果、土壤からの砒素溶出量を土壤環境基準値未満に低減することができた。

キーワード：自然由来汚染土壤、砒素、不溶化処理、鉄バクテリア

1. まえがき

近年、建設工事において自然由来の汚染土壤に遭遇し、その対策に高コストを要することから事業主の負担が増大するといった問題が顕在化している。平成22年に改正土壤汚染対策法が施行される以前は、自然由来の土壤汚染については法の対象外であり専ら人為由来の汚染のみが対象とされていたが、法改正とともに自然由来の汚染土壤も土壤汚染対策法に基づいて適正に管理することが明確にされた。これを境に、これまで問題が表面化することが少なかった自然由来の汚染土壤の取扱いがクローズアップされてきた。

土壤汚染対策法で自然由来汚染の可能性があるとされているのは、砒素、鉛、水銀、ふつ素、ほう素、カドミウム、セレン、六価クロムといった重金属類に分類される8物質である。これらの重金属は、表-1に示すように、ごく一般的に土壤や岩石に微量含まれており、なかでも鉱山付近の地層や海成粘土中に比較的多く含まれることが知られている。これらが酸化還元やpHの変化により化学形態が変化することで土壤や岩石からの溶出が

促進され、溶出量が土壤環境基準値を超過するものが自然由来の汚染土壤である。我が国では、特に泥質岩および泥質堆積物から砒素、海成堆積物からはふつ素が土壤環境基準値を超えて溶出する事例が多く報告されている^{2)~5)}。さらに、今後着工が予定されているリニア新幹線関連工事においては、大量の自然由来汚染土壤の発生が予想されており、これらを安全かつ経済的に処理する手法を開発することが喫緊の課題とされている。

一方、水中から鉄やマンガン等を除去する水処理技術に、鉄バクテリア（鉄やマンガンを酸化する細菌の総称）を利用した生物接触ろ過法がある。生物接触ろ過法では、処理の過程で水酸化第二鉄を豊富に含有する汚泥

（以下、鉄バクテリア汚泥と称す）が発生し、通常は産業廃棄物として処分されている。しかし、水酸化第二鉄は有害な重金属を吸着する性質があることから⁶⁾、本汚泥を重金属不溶化材の原材料として有効利用することができれば、汚染土壤を経済的に処理できるだけでなく、廃棄物の減容化にも繋がるため、処理環境保全の観点から非常に有意義であると考えた。

本研究では、室内実験によって鉄バクテリア汚泥の物

表-1 世界および日本における重金属の存在度¹⁾

【単位：mg/kg】

| | カドミウム | クロム | 水銀 | セレン | 鉛 | 砒素 | ふつ素 | ほう素 |
|---------------|-------|------|-------|------|------|---------|-----|-----|
| 地殻の平均値 | 0.2 | 100 | 0.08 | 0.05 | 13 | 1.8 | 625 | 10 |
| 大陸地殻の元素量 | 0.098 | 185 | 0.08 | 0.05 | 8 | 1 | 625 | 10 |
| 日本列島の上部地殻の平均値 | — | 84 | — | — | 16.9 | 6.5-7.1 | — | — |
| 日本の河川堆積物の平均値 | 0.158 | 65.2 | 0.054 | — | 23.1 | 9.32 | — | — |

* 土木本部環境技術室 ** 東北支店土木第二部

性値および砒素不溶化性能を確認した。また、鉄バクテリア汚泥を原材料の一部として使用し、重金属不溶化材を開発した。そして、開発した重金属不溶化材を実際のシールドトンネル工事の立坑掘削で発生する自然由来の砒素汚染土壤の不溶化に適用し、良好な結果を得られたので報告する。

2. 鉄バクテリア汚泥の物性値と不溶化性能の確認

不溶化材の原材料となる鉄バクテリア汚泥の物性値と砒素吸着能力を室内実験により確認した。

2.1 使用材料

実験に用いた材料は、奈良県大和郡山市の浄水場から採取した鉄バクテリア汚泥（写真-1）を用いた。レーザ回折／散乱式粒子径分布測定装置 LA-300 (HORIBA 製) によって鉄バクテリア汚泥の粒径を確認した結果、粒径分布は図-1に示すとおりで、平均粒径は 10.4 μm であった。また、蛍光 X 線分析装置 SEA5120A (日立ハイテクサイエンス製) により鉄バクテリア汚泥表面の元素を同定した結果、図-2に示すとおり鉄とマンガンのピークが顕著であった。

2.2 鉄バクテリア汚泥の不溶化性能確認実験の方法

a. 鉄バクテリア汚泥を用いた不溶化試験

鉄バクテリア汚泥の砒素吸着能力を確認するため、国内の現場で採取した実際の自然由来砒素汚染土壤を用いて室内実験を行った。実験方法は、ビーカー内で土壤と鉄バクテリア汚泥を表-2に示す配合で混合・攪拌した後、環境省告示第 22 号に準拠して土壤からの砒素溶出量を分析した。ここで、不溶化材として添加する鉄バクテリア汚泥は粉末状 (Case.1~3) とスラリー状 (Case.4 ~6 : それぞれ含水比 100 %となるように水を添加) のものを用いた。

b. 砒素吸着能の pH 依存性確認試験

鉄バクテリア汚泥の砒素吸着能の pH 依存性を確認するため、模擬汚染水を用いた吸着実験を行った。まず、蒸留水に砒素試薬を添加して砒素濃度を 3.0 mg/L の砒素汚染水を作成した後、ビーカーに 500mL を採取し pH を 3~12 に調整した。次に 0.5g の鉄バクテリア汚泥を砒素汚染水に投入して 6 時間攪拌した後、0.45μm のメンブランフィルターでろ過し、ろ液中の砒素濃度を分析した。なお、砒素濃度の分析は JIS K102 に準じて行った。さらに、実際に汚染土壤を不溶化する際の砒素溶出量に与える pH の影響を確認するため、(一社) 土壤環境センターが提唱する酸添加溶出試験とアルカリ添加溶出試験を実施し、それぞれ、JIS K0102 の 61 に定める方法に準拠して土壤からの砒素溶出量を確認した。ここで、酸添加溶出試験では溶媒として 0.769mmol/L の硫酸水溶液を、アルカリ添加溶出試験では溶媒として 3.85mmol/L の水酸化カルシウム溶液を使用した。



写真-1 鉄バクテリア汚泥の外観

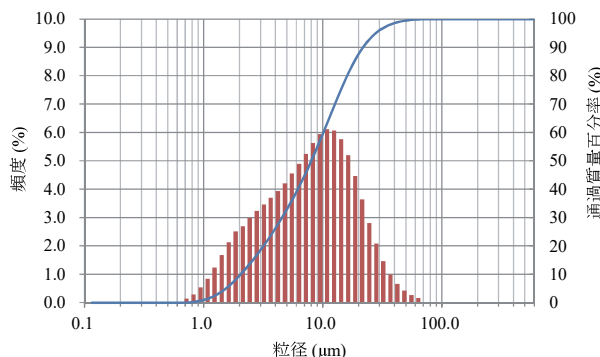


図-1 鉄バクテリア汚泥の粒径分布

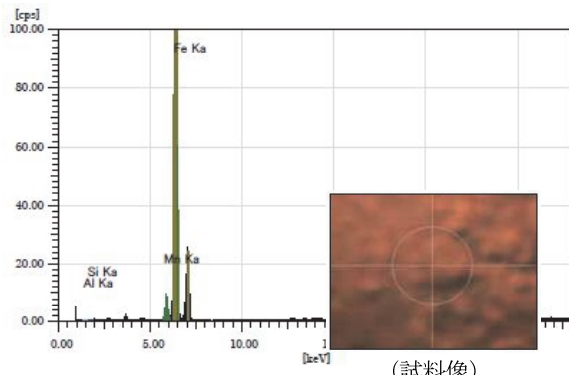


図-2 鉄バクテリア汚泥表面の X 線回折分析結果

表-2 砒素不溶化実験の配合

| 鉄バクテリア汚泥の有姿 | 実混重量(g) | | | 備考 |
|-------------|---------|------|------|-------------------------------|
| | 汚染土壤 | 鉄汚泥 | 水 | |
| 粉体 | 200.6 | 9.9 | 0 | 添加量 50 kg/m ³ に相当 |
| | 200.6 | 19.8 | 0 | 添加量 100 kg/m ³ に相当 |
| | 200.6 | 39.6 | 0 | 添加量 200 kg/m ³ に相当 |
| スラリー | 200.6 | 9.9 | 5.6 | 添加量 50 kg/m ³ に相当 |
| | 200.6 | 19.8 | 11.2 | 添加量 100 kg/m ³ に相当 |
| | 200.6 | 39.6 | 22.4 | 添加量 200 kg/m ³ に相当 |

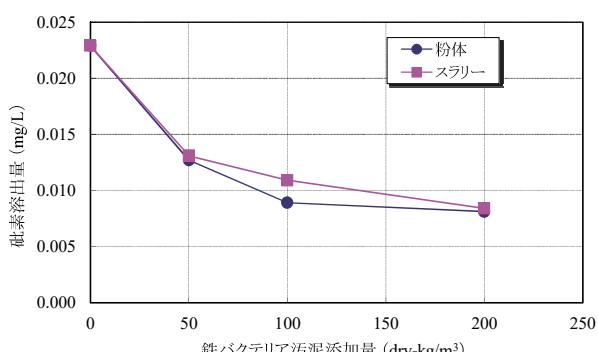


図-3 砒素不溶化実験の結果

2.3 鉄バクテリア汚泥の性能確認試験の結果

a. 硒素不溶化性能試験の結果

図-3 に硒素不溶化実験の結果を示す。原土からの硒素溶出量は 0.023mg/L であったが、鉄バクテリア汚泥を添加すると、硒素溶出量が半分以下に低減された。鉄バクテリア汚泥の添加量が 100kg/m³ 以上であれば、硒素溶出量を土壤環境基準値 0.01mg/L 以下まで低減できることが確認された。また、鉄バクテリア汚泥を粉体およびスラリー状のいずれで混合した場合も、硒素溶出量に差は見られなかった。

b. 硒素吸着能の pH 依存性確認試験の結果

鉄バクテリア汚泥の硒素吸着能の pH 依存性試験の結果を図-4 に示す。液相の硒素濃度は pH の上昇とともに増加した。pH が 9 以上になると、鉄バクテリア汚泥を投入・攪拌した後の液相硒素濃度と模擬汚染水の初期濃度はともに 3.0mg/L とほとんど差が見られず、鉄バクテリア汚泥に硒素が吸着されていないことがわかる。これは、鉄バクテリア汚泥の硒素吸着能はアルカリ雰囲気では著しく低下することを示している。

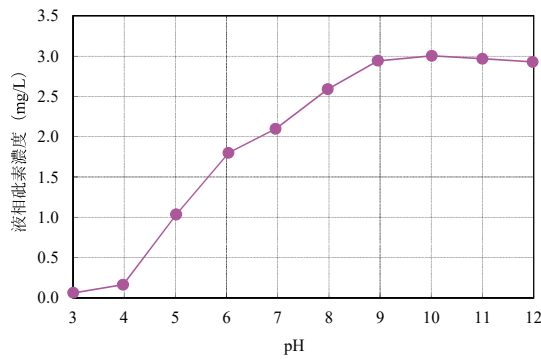


図-4 pH 依存性試験の結果

酸添加溶出試験、アルカリ添加溶出試験および通常の溶出試験結果を図-5 に示す。全ての試験において、鉄バクテリア汚泥の添加量が増大するにつれて硒素溶出量が低減される結果となった。通常の溶出試験と比較すると、酸添加溶出試験では添加量 100dry-kg/m³ 以上の場に硒素溶出量が大きく低減された。一方、アルカリ添加溶出試験では、添加量 100dry-kg/m³ において通常の溶出試験よりも硒素溶出量が増大した。これは、pH 依存性

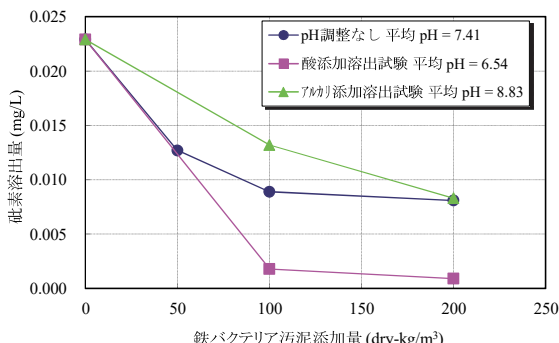


図-5 酸添加溶出試験および
アルカリ添加溶出試験の結果

試験の結果と同様の傾向を示しており、実際の砒素汚染土壤の不溶化においても pH によって土壤溶出量が増減することが確認できた。

3. 鉄バクテリア汚泥を利用した重金属不溶化材の開発

鉄バクテリア汚泥が砒素不溶化能を有しており、それが pH に依存していることは第 2 章で述べたとおりである。したがって、鉄バクテリア汚泥を土壤不溶化材として利用し安定した性能を発揮させるためには、鉄バクテリア汚泥単体で利用するだけでなく、種々の添加剤等と混合して不溶化材として製品化する必要があった。そこで、鉄バクテリア汚泥、炭酸カルシウム、硫酸アルミニウム、硫酸第二鉄を混合し、鉄バクテリア汚泥を利用した重金属不溶化材（ウィークス RX(As-1)：以下、ウィークス RX と称す）を開発した（写真-2）。

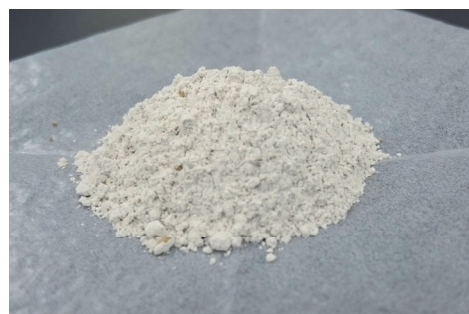


写真-2 ウィークス RX(As-1) の外観

4. 実サイトへの適用

国内のシールド現場において、発進立坑掘削時に自然由来の砒素汚染土壤が発生した。本工事では、砒素汚染土壤はダンプトラックで場外搬出され、場外の処理施設にて不溶化処理をする計画であったため、ウィークス RX を適用し不溶化処理を行った。

4.1 トリータビリティ試験

ウィークス RX を実際の汚染土壤の不溶化処理に適用する前にトリータビリティ試験を実施した。試験に用いた土壤は、現地で発生した砒素汚染土壤であり、砒素溶出量は 0.048mg/L と土壤環境基準値の 4.8 倍であった。実験方法は、容器に原土を 100g 採取し、そこに所定の添加率（重量比 1、2、3 %）でウィークス RX を添加する。その後、20 秒間混合したものを環境省告示第 22 号

表-3 トリータビリティ試験の結果

| パターン | ウィークス添加率 (%) | 砒素溶出量 (mg/L) | 溶出量低減率 (%) |
|--------|--------------|--------------|------------|
| プランク | 0 | 0.048 | — |
| Case.1 | 1 | 0.007 | 85.4 |
| Case.2 | 2 | 0.005 | 89.6 |
| Case.3 | 3 | 0.006 | 87.5 |

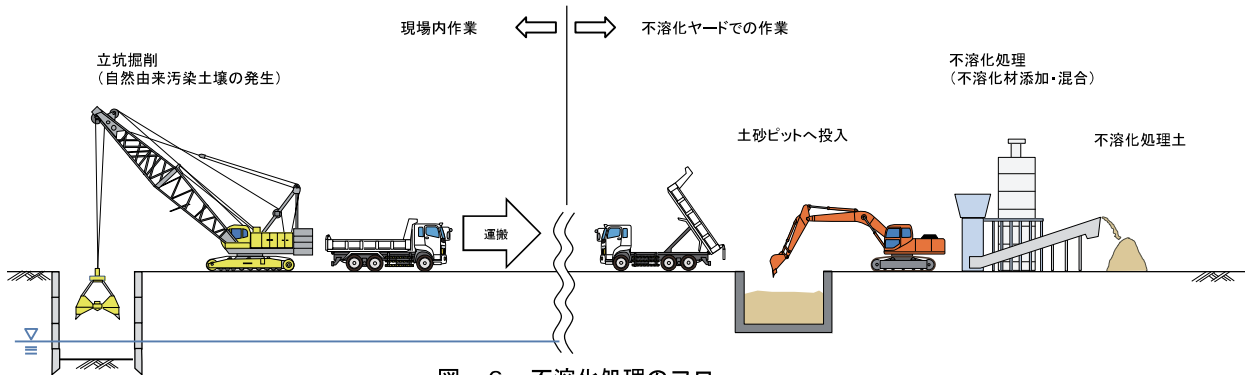


図-6 不溶化処理のフロー

に基づき砒素溶出量を測定した。トリークタビリティ試験の結果は表-3に示すとおりで、全ての配合で土壤からの砒素溶出量を土壤環境基準値未満まで低減できた。ウィークス RX の添加率を変化させても、砒素溶出量には大きな違いが見られなかったため、汚染土壤とウィークス RX を十分に接触させることができれば、1%と少ない添加率でも不溶化が可能なことが確認できた。

4.2 実適用の結果

ウィークス RX を約 1,000 m³ の自然由来砒素汚染土壤の不溶化処理に適用した。不溶化処理の配合は、汚染土壤の重量に対しウィークス RX を 1%、セメントを 5% 添加することとした。ここでセメントを添加したのは、不溶化処理後にダンプトラックでの運搬が可能なまで強度を改善するためである。

不溶化処理の流れは図-6 に示すとおりで、クラムシェルにて水中掘削した汚染土壤を 10t ベッセル車にて場外搬出し、場外の不溶化ヤードにおいてウィークス RX とセメントを混合した（写真-3）。不溶化処理土は強度発現のため 7 日間養生した後、環境省告示第 22 号に基づく溶出試験を実施して砒素溶出量を確認した。

不溶化処理の結果を表-4 および図-7 に示す。不溶化処理の施工は 12 日間に渡って実施し、それぞれ施工日毎を 1 ロットとして不溶化処理土の砒素溶出量を確認した。その結果、各施工日とも不溶化処理土からの砒素溶出量は土壤環境基準値を下回っており、不溶化処理が確実に行えたことを確認した。施工日によって不溶化処理土からの溶出量に差はみられるが、概ね土壤環境基準値の 1/2 以下を達成できる結果となっている。今回の施工においては、不溶化処理土にセメントを添加していることから、土壤の pH はアルカリ側となっていることが推測される。第 2 章で示した鉄バクテリア汚泥の物性試験ではアルカリ側で吸着能の低下が確認されていたが、本施工における不溶化処理土の砒素溶出量は土壤環境基準値未満であったため、ウィークス RX は建設工事で利用されることの多いセメント系材料との併用も可能であることがわかった。

表-4 不溶化処理の結果

| 不溶化 実施日 | 不溶化 数量 (t) | 養生日数 | 砒素溶出量 (mg/L) | 判定 |
|------------|------------------|---------|-----------------|----|
| | | | | |
| 1日目 | 129.15 | 不溶化後 7日 | 0.007 | OK |
| 2日目 | 167.28 | 不溶化後 7日 | 0.007 | OK |
| 3日目 | 158.99 | 不溶化後 7日 | 0.002 | OK |
| 4日目 | 182.74 | 不溶化後 7日 | 0.003 | OK |
| 5日目 | 176.17 | 不溶化後 7日 | 0.002 | OK |
| 6日目 | 164.06 | 不溶化後 7日 | 0.004 | OK |
| 7日目 | 151.53 | 不溶化後 7日 | 0.001 | OK |
| 8日目 | 160.19 | 不溶化後 7日 | 0.005 | OK |
| 9日目 | 131.67 | 不溶化後 7日 | 0.005 | OK |
| 10日目 | 131.88 | 不溶化後 7日 | 0.005 | OK |
| 11日目 | 193.13 | 不溶化後 7日 | 0.003 | OK |
| 12日目 | 117.05 | 不溶化後 7日 | 0.005 | OK |
| 合計 | 1863.84 | 判定基準 | 0.01 mg/L以下 | |

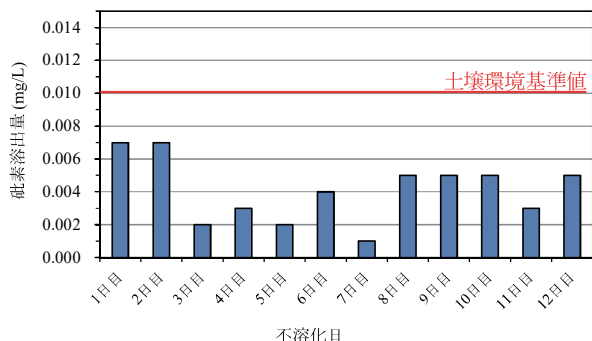


図-7 施工ロット毎の溶出試験結果



写真-3 不溶化処理の状況

5. まとめ

鉄バクテリア汚泥を用いた室内実験の結果から、鉄バクテリア汚泥は砒素を吸着する能力を有しており、溶出量が土壤環境基準値の 2 倍程度の砒素汚染土壤であれば、土壤 1 m³に対し鉄バクテリア汚泥を 100 kg 程度混合することで、砒素溶出量を土壤環境基準値未満まで低減することができた。また、鉄バクテリア汚泥の吸着量は pH に依存しており、pH が酸性であるほど砒素吸着能力が高く、pH が高くなるにつれて砒素吸着能力が低下することがわかった。

鉄バクテリア汚泥を原材料の一部とした重金属不溶化材 ウィークス RX を開発し、実際の自然由来の砒素含有土壤の不溶化に適用した結果、砒素溶出量を土壤環境基準値未満まで低減できた。実施工では、不溶化材だけでなく強度改善を目的としてセメントも添加したため、土中の砒素がセメントの水和反応生成物に取り込まれた可能性もあることから、不溶化処理に対する ウィークス RX とセメントのそれぞれの寄与度は明らかとはならなかった。しかし、トリータビリティ試験において、 ウィークス RX を 1% 添加するのみで不溶化が達成できることを確認しており、 ウィークス RX が砒素に対して高い不溶化性能を有した材料であることが確認できた。

6. あとがき

近年、当社の施工案件においても自然由来の汚染土壤に遭遇する機会が増加している。山岳トンネルの掘削ずりはもとより、都市部の大深度掘削で遭遇する海成粘土でも砒素等の有害物質が土壤環境基準値を超過する事例が後を絶たない。自然由来の場合、このような基準超過土壤を掘削等で部分的に除去したとしても、周辺の汚染状況は改善されないことから、不溶化等のリスク低減措置が有効であると考える。

ウィークス RX は、産業廃棄物である鉄バクテリア汚泥を原材料の一部としていることから一般に流通している不溶化材と比較すると、コストが安価であるという特徴をもつ。また、廃棄物の有効利用という観点からも環境に優しい材料となっている。今後は本材を広く普及させ、汚染土壤不溶化工事を通して安全で経済的な環境負荷の低減に寄与したい。

謝辞

本研究の遂行にあたっては、 ウィークス RX (As-1) の共同開発者である株式会社日本海水の加納裕士氏および鵜沼光岳氏に多大なご協力を賜った。ここに記して謝意を表す。

【参考文献】

- 1) 嘉門雅史、勝見 武、「建設工事で発生する自然由来重金属含有土対応ハンドブック」、大成出版社、p.12、2015
- 2) 北岡 幸、「自然由来の重金属等に係る調査及び対策について」、地球環境、Vol.15、No.1、pp.23-30、2010
- 3) 島田允堯、「自然由来重金属等による地下水・土壤汚染問題の本質：砒素」、応用地質技術年報、No.29、pp.31-59、2009
- 4) 島田允堯、「自然由来重金属等による地下水・土壤汚染問題の本質：フッ素」、応用地質技術年報、No.30、pp.3-29、2010
- 5) 田本修一、岡崎健治、阿南修司、伊藤佳彦、五十嵐敏文、「堆積岩中の重金属類の風化と溶出特性に関する考察」、日本応用地質学会北海道支部、北海道応用地質研究会研究発表会講演予稿集、第 29 号、pp.1-4、2009
- 6) 和田信一郎、「土壤中における重金属類の動態」、地球環境、Vol.15、No.1、pp.15-21、2010

画像処理による杭施工精度の管理

Navigation System for Pile Construction by Image Processing

森田修二* 塚本耕治**

要旨

先掘り式の基礎杭施工の管理は杭打ち機の位置や鉛直精度の確保によって行われている。本報では、画像データを利用して基礎杭の施工精度の向上を図る手法を提案する。従来の同種の技術は、杭打ち機の画像を提示するのみで鉛直精度の確保に十分に活用されていない。

本システムでは、画像データから杭打ち機の傾きや駆動部位等の上下動をデジタル化する。リアルタイムに杭打ち機の傾斜計測と削孔深度の計測を行い、地中の孔曲がりを推定して修正ガイドラインを提示する技術である。オペレータの手元で画像表示するとともにインターネットを介して現場事務所などの拠点でも確認できる。今回は、アースオーガとアースドリルによる基礎杭施工で実証試験を行い実施工に有効な精度を確認したので報告する。

キーワード：杭の孔曲がり、画像処理、リアルタイム、傾斜計測、深度計測

1. まえがき

基礎杭の施工において、先掘り式の杭施工の管理は杭打ち機の位置や鉛直精度の確保によって行われている。施工完了後は、杭頭の出来形検査や孔壁測定器によって孔曲がりを測定することも行われる。また、既往の技術には、施工中にオーガ等の掘削機を撮影した CCD カメラなどの画像をオペレータに提示して、鉛直精度を維持する技術もあるが、十分に施工精度の管理に活用することは難しい。施工中では、杭打ち機のオーガやロッド軸は前後左右にぶれながら下降するため、画面内にガイドライン（鉛直度を示す直線）を表示するだけでは、オペレータが参考にするのは非常に難しい。

本研究では、リアルタイムに画像データの処理を行うことで、施工管理に活用する方法を提案する。杭打ち機の傾斜角や駆動部等の上下動の画像処理を行い、傾斜角の数値表示や地中の孔曲がりを推定して修正すべき傾斜角を提示する技術である。これは、傾斜計測と深度計測を連続的に行って地中の孔曲がりを推定することで可能となる技術である。ただし、地中に障害物などが多く大きな孔曲りがないことが適用範囲である。

また、削孔中にもデジタル値で杭打ち機の傾斜角を表示するので、オーガやロッド軸のぶれに影響されず安定した誘導が行える。なお、データ処理の過程で座標変換などを行い、オペレータの目線で傾斜角を提示できる。今回は、アースオーガとアースドリルによる基礎杭施工で実証試験を行ったので報告する。

2. 画像処理システムの概要

2.1 全体構成

図-1にシステムの全体構成を示す。杭打ち機を2方向からビデオカメラで撮影し、その画像データを連続的にメインPC（杭打ち機内のPC）に送信する。メインPCではリアルタイムで画像処理を行い、杭のオーガ軸などの傾斜角と上下の移動量を算出する。これらのデータを基に算出される孔曲がりや深度計測などの情報を画面表示する。また、オペレータの手元で画面表示するとともにインターネット経由で現場事務所などの拠点でも閲覧できる。なお、サブPCを配置して補助員が画像処理や設定作業を行い、メインPCで画面表示することもできる。



図-1 システムの全体構成

*西日本支社土木技術部 **技術研究所

2.2 画面表示の概要

図-2 の画面表示では、杭打ち機（アースオーガの例）のオーガ（ロッド）軸を 2 方向から撮影した画像とその傾斜角や掘削深度、推定される地中の孔曲がりとその修正傾斜角を表示する。また、オペレータが容易に操作できるように、画面をワンタッチすることで画像処理の開始や一時停止、終了ができる。

オーガ軸の傾斜角は、オペレータの目線に変換して、左右と前後の傾斜角を表示する。オーガ軸は前後左右にぶれながら下降するので、オペレータが参考にしやすいようにデータ処理を行っている。また、ロッド継ぎやトラブル時の中断などでターゲットが一定範囲以上に移動した場合は、自動認識して通常施工のデータ収集から除外する。なお、想定外の事象については、オペレータにより一時中断などの対応が取れる。

2.3 画像処理による傾斜計測と深度計測

画像処理によって④傾斜計測と⑤深度計測を行う。図-3 には、これらの処理のフローを示した。2 台のビデオカメラ（図-1 参照）のメインカメラでは、傾斜計測と深度計測を行い、サブカメラでは傾斜計測のみを行う。画像処理は 6 フレーム/秒の頻度で傾斜計測とテンプレート（自動設定するオーガ軸上の矩形面）の移動探索を行うが、テンプレートマッチング（移動前と移動後の矩形面の照合）が成立しない場合は、傾斜角の履歴を保存しながら傾斜計測を繰り返す。テンプレートマッチングが成立した時点で移動量（深度）算定と偏芯量算定を行い地中の孔曲がりを推定する。孔曲がりは鉛直移動量に傾斜角を乗じた偏芯量を積分して算定¹⁾している。

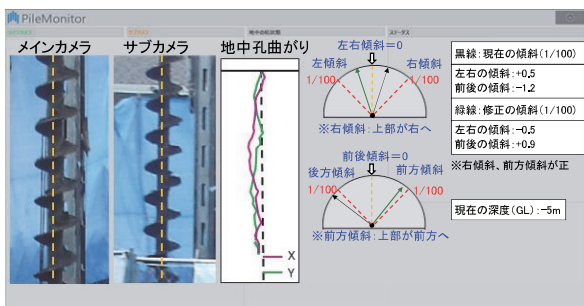


図-2 画面表示の例

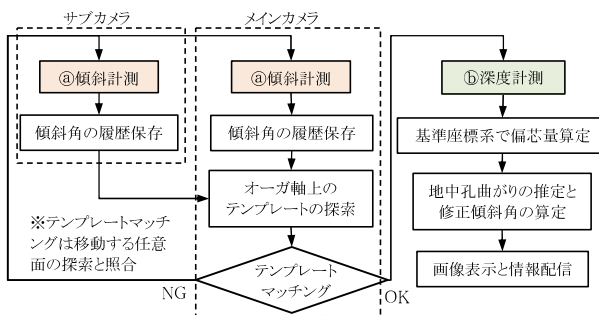


図-3 画像データの処理フロー

図-4 には、画像処理によってオーガ軸の輪郭を捉えて傾斜角を算出する手順を示す。ターゲット範囲（ROI）の中で、Sobel フィルター²⁾を利用して傾斜計測を行う手順である。①エッジ抽出では、画素ごとに水平断面の輝度の変化を捉える。A-A 断面、B-B 断面、C-C 断面における輝度変化をグラフ化した例を図-5 に示す。オーガ軸の輪郭以外の輝度変化も含まれるので、単一の断面だけではオーガ軸の輪郭を正確に捉えることができない。ターゲット範囲の上端から下端まで画素ごとに水平断面の輝度変化を捉える。次に、②線分探索（図-4）に示す黄色線を回転・移動させながら水平断面ごとに黄色線が通過する輝度変化量を積分（図-5 の破線）して、最も輝度変化量が大きい黄色線をオーガの輪郭線として決定したものが、③線分照合（図-4）に示す赤線である。この赤線をオーガ軸の輪郭と認識して傾斜角度を算出する。

図-6 には、深度計測の概要を示す。時々刻々変化するオーガ軸の画面の中で同一の部分画像を検出して、部分画像の移動量から深度計測を行う。この部分画像とは、①初期テンプレートに示すように、オーガ軸上で一定幅のマージンを取って、オーガ表面に自動で設定する画像である。この部分画像の情報を画素単位で記憶する。

次に、移動したオーガの画像上で初期テンプレートに合致する部分画像を探索する。この探索は連続的に行い、

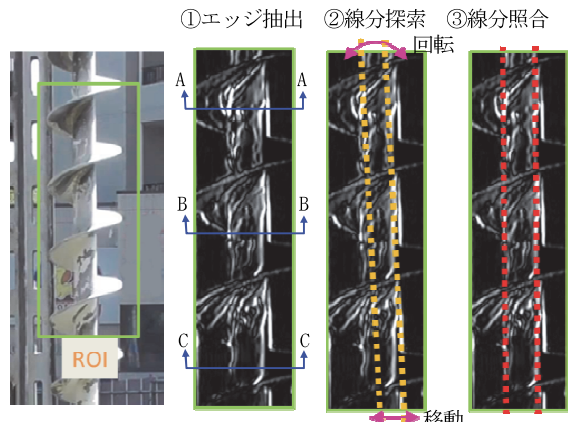


図-4 Sobel フィルターによる傾斜計測の手順

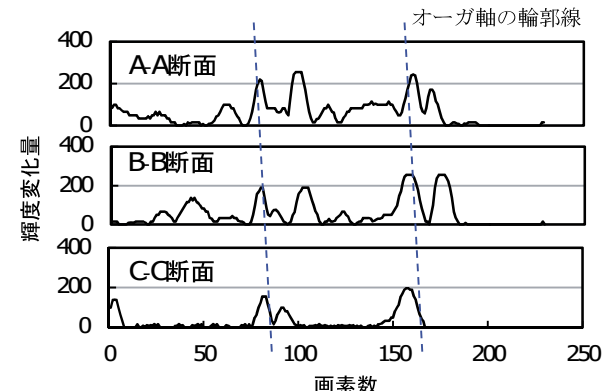


図-5 オーガ軸の水平断面の輝度変化

対象画像を画素ごとに照合（図-7参照）し、合致率が設定条件（例えば95%以上）を満たした場合に、部分画像が初期テンプレートに合致したと判定する。部分画像が合致した時点で、初期テンプレートの位置からの鉛直方向の移動量（ $\angle h_1$ や $\angle h_2$ ）を求めて、これらを積分することで深度計測を行う。なお、合致すべき部分画像がカメラから見て裏側にある場合は合致しないので、ほぼ1回転ごとに画像を検出する。また、削孔が進行すると、移動後の部分画像がターゲット範囲から逸脱するので、初期テンプレートを自動的に再設定し、同じ処理を繰り返す。なお、画像の照合が続けて成立しない場合も自動的に再設定する。

2.4 座標変換

現地の状況に応じてカメラが任意の場所に設置されるので、カメラ画像はオペレータの目線で見た画像とは異なる。したがって、座標変換を行ってオペレータの目線

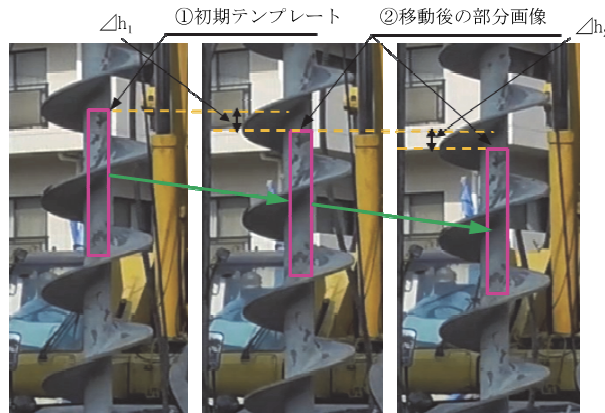


図-6 深度計測におけるテンプレートの設定と探索

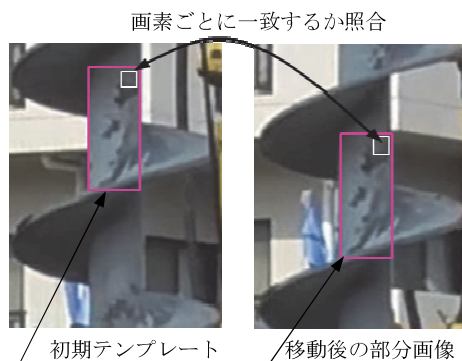


図-7 オーガ軸上の部分画像の照合

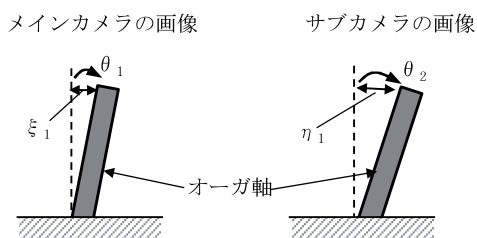


図-8 オーガ軸の傾斜角から偏芯量の算出

と一致する傾斜情報を提示する必要がある。基準座標系における杭とカメラ、オペレータの座標からオペレータ座標系へ座標変換を行った情報を提示する。この座標変換の処理を行うことで、正しくオペレータを誘導することができる。座標変換の手順を以下に示す。なお、基準座標系（X-Y）は杭伏図などにより設定する。

a. カメラ画像から点Aの偏芯座標を算出

図-8に示すように、オーガ軸の傾斜角から求められる単位長さあたりの偏芯座標（ ξ_1, η_1 ）を算出する。ここで、 $\xi_1 = \tan(\theta_1)$ 、 $\eta_1 = \tan(\theta_2)$ 、 θ はオーガ軸の傾斜角（ θ の添え字はカメラ番号）である。カメラから向って右傾斜（上部が右へ）が正とする。図-9は、杭中心を原点とし、メインカメラとサブカメラが示すカメラ座標系におけるオーガ軸の偏芯座標の点Aを表している。

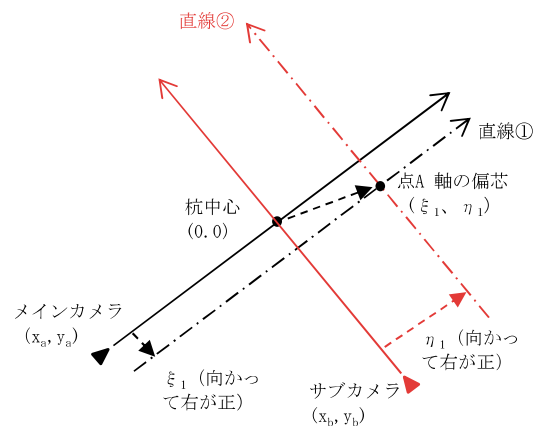


図-9 杭を中心とするカメラ座標系（平面）

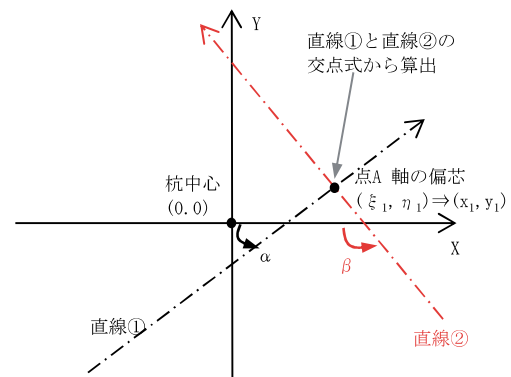


図-10 基準座標系における杭の偏芯（平面）

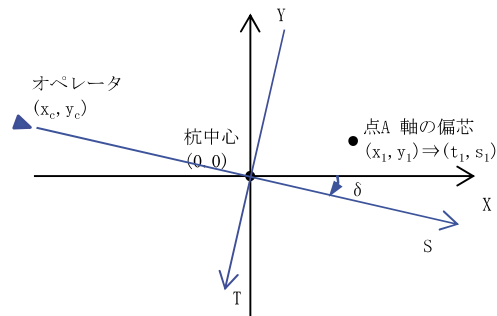


図-11 オペレータ座標系への変換（平面）

b. 基準座標系の点 A の偏芯座標を算出

図-10 には、基準座標における杭の偏芯座標を示す。カメラ座標系は必ずしも直交座標ではないので、一般の座標変換式は適用できない。そのため、カメラ座標系と基準座標系のなす角 α と β を用いて、基準座標系における直線①と②の式（点 A を通る直線）を導出する。直線①と②の交点を式計算することで、基準座標系における偏芯座標 (x_1, y_1) が求められる。

c. オペレータ座標系の点 A の偏芯座標を算出

図-11 に示すように、一般の座標変換式により基準座標系における点 A の座標をオペレータ座標系 (T-S) における座標 (t_1, s_1) に変換する。（ δ は基準座標系とオペレータ座標系のなす角度）

$$t_1 = x_1 \times \sin(\delta) - y_1 \times \cos(\delta) \quad (1)$$

$$s_1 = x_1 \times \cos(\delta) + y_1 \times \sin(\delta) \quad (2)$$

d. オペレータ目線の傾斜角の算出

オペレータ座標系の点 A の偏芯座標から左右傾斜 (θ_r) と前後傾斜 (θ_s) を算出

$$\theta_r = \alpha \tan(t_1), \quad \theta_s = \alpha \tan(s_1)$$

3. 杭偏芯量の推定と修正傾斜角の設定

杭の地中の孔曲がりは、杭打ち機の鉛直精度や地層分布、地盤の硬さによって生じる。地層や地盤の影響は杭打ち機の軸の傾斜に反映すると考えると、軸の傾斜角によって孔曲がりの傾向を把握できる。杭打ち機の軸の（傾斜角）×（スパン長）が杭の偏芯量を表すと仮定し、この偏芯量を積算して杭先端位置や孔曲がりを推定¹⁾した。スパン長は傾斜角を区分する間隔であり、短いほど滑らかな推定曲線となる。図-12 に、この仮定に基づく杭の孔曲がりを示す。式(3)は地表から n 番目の杭先端の推定位置を表している。地中の障害物等で大きな孔曲がりが生じる場合は本推定式の適用外とする。

$$Dx_n = \sum_{i=1}^n dl \times Gx_i \quad (3) \quad \begin{array}{c} \text{[アースドリル]} \\ \text{GL} \\ \text{dl} \\ \text{Gx}_i \\ \text{Dx}_i \\ \text{Gx}_n \\ \text{Dx}_n \end{array} \quad \begin{array}{c} \text{[アースオーガ]} \\ \text{GL} \\ \text{dl} \\ \text{Gx}_i \\ \text{Dx}_i \\ \text{Gx}_n \\ \text{Dx}_n \end{array}$$

$$SDx_n = \frac{1}{n} \sum_{i=1}^n (Dx_i + Dx_{i-1}) \quad (4)$$

$$Gx_{n+1}' = -\kappa \times \frac{SDx_n}{n \times dl} \quad (5)$$

$$SDx_n < SDx_{n-1} \Rightarrow \kappa = 1$$

$$SDx_n \geq SDx_{n-1} \Rightarrow \kappa = \kappa_a$$

Gx_i : 軸の傾斜角、 Dx_i : 偏芯量

SDx_n : 平均偏芯量

dl : スパン長、 n : 分割数

κ : 修正係数

図-12 杭の孔曲がり

図-13 に示すように、アースドリルは軸先端でのみ削孔するので、地表から削孔順に孔曲がりが決まる。一方、アースオーガはオーガ全体で削孔するので、地上での軸の傾斜角が地中でも維持されるとして、杭先端から施工順に孔曲がりが決まるものと仮定した。

Gx_i は画像から求められた地上の軸の傾斜角、 dl はスパン長、 n は削孔した杭長を dl で分割したスパン数、 Dx_i は n 番目の杭先端の中心線からの偏芯量、 SDx_n は n 番目までの杭の平均偏芯量である。スパン長 dl は画像処理におけるテンプレートマッチングの間隔とその間の深度計測によって決定される削孔長とする。

図-14 には孔曲がりの修正フローを示す。式(5)は修正傾斜角を示しており、式(4)の平均偏芯量の逆方向に杭打ち機の軸を傾斜させる。孔曲がりの修正は杭打設の負担を軽減するために削孔済みの地中の杭長と同じ杭長の中で修正することを基本として、軸の修正傾斜角 Gx_{n+1}' を決定する。平均偏芯量 SDx_n が前ステップの SDx_{n-1} より増加している場合は、修正係数 κ を割増した修正係数 κ_a を乗じて修正傾斜角を決定する。ただし、限界角（例えば 1/100）以内で修正を行う。

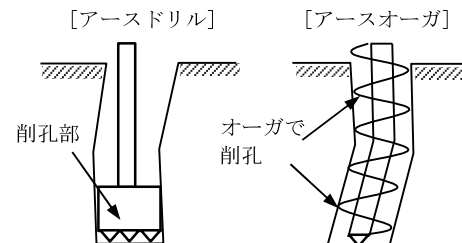


図-13 工法ごとの杭の孔曲がりの想定

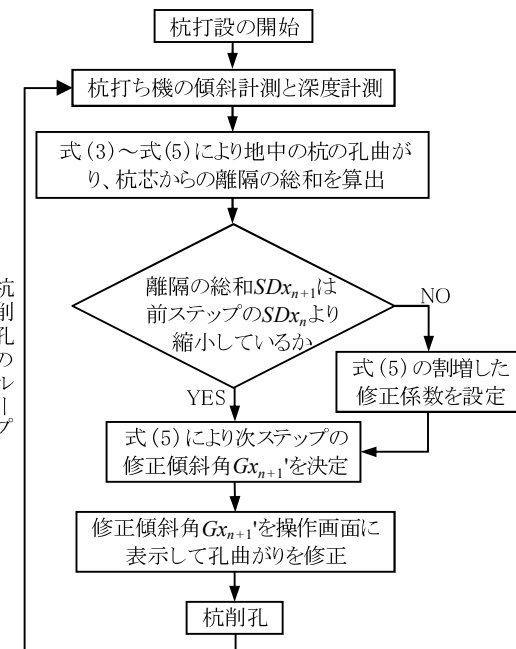


図-14 杭の孔曲がりの修正フロー

4. 現場実証試験

4.1 画像データによる検証

杭偏芯量の推定について、過去に実施された基礎杭工事の画像データを利用して推定精度の検証を試みた。本工事は鹿児島県の甫木水門改築工事であり、平成 27 年 3 月に施工完了している。基礎杭は径 700mm (p41～p136 の 96 本)、径 450mm (44 本)、径 350mm (40 本) をアースオーガ工法により施工されている。また、トータルステーションに取り付けた CCD カメラによる鉛直精度の管理を行っている。オペレータに杭打ち機の画像を提示している。この画像を利用して主要な基礎杭（径 700mm）について、推定式による評価を試みた。保存画像は、データの間隔（1 分間隔）が粗いので、大まかな傾向を検討した¹⁾。

図-15 には、直交 2 方向の変位を合成した推定の偏芯量を示す。偏芯量に幾分のばらつきは見られるが、概ね一定の勾配で推移し、深度 40m で杭先端の偏芯量は概ね 20cm 以下である。平均傾斜角は 1/200 以下である。

図-16 には画像処理による杭偏芯量の推定値から求めた傾斜角と出来形検査による傾斜角を比較した。本工事では、先掘した掘削孔に既成杭を挿入しており、出来形検査では杭頭の傾斜角と杭芯の偏芯量を計測している。杭頭の傾斜角は比較的に浅層部の孔曲がりを反映していると考えられるので、推定値は GL-10m までの傾斜角の平均値と比較した。推定値と出来形検査の傾斜角の相関係数は 0.60 であり、推定値によって杭の孔曲がりの傾向は評価できている。

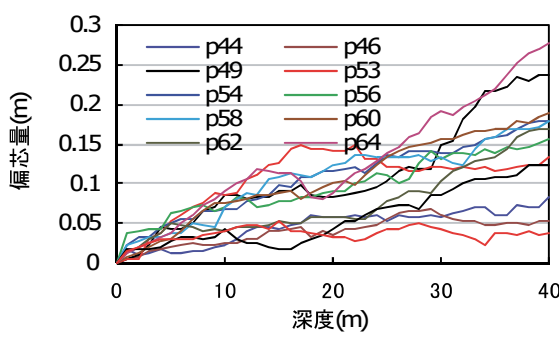


図-15 杭の深度と偏芯量

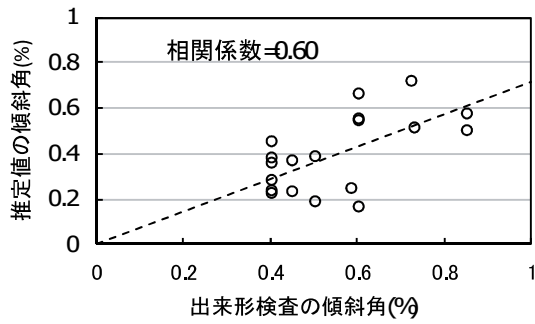


図-16 推定値と出来形検査の相関

4.2 適用事例 1 (アースドリル工法)

愛媛県伊予市本庁舎改築第 2 期工事におけるアースドリル工法による基礎杭施工で本システムの実証試験を平成 28 年 3 月に実施した。削孔径は $\phi 1.5m$ 、削孔長は約 20m である。写真-1 に杭打ち機の撮影状況を示す。1 期工事で完了した新庁舎の 2 階屋上から撮影している。図-17 には、杭とカメラの配置を示し、カメラ位置には対象の杭番号とカメラ番号を付記する。表-1 には、撮影条件の一覧を示す。座標値は東西南北の基準座標である。仰角は杭 no.23 がやや大きい。視準角は杭に対するカメラ①と②のなす角度であり、90 度が最も望ましいが、杭 no.13 が最も小さく比較的条件が厳しい。計測間隔は画像処理でテンプレートマッチングが成立した平均間隔で概ね 5cm 程度で推移している。

写真-2 には杭打ち機のオペレータ室におけるタブレットの設置状況を示す。事前にメイン PC にカメラと杭、オペレータの座標を入力して補正や変換を行い、タブレットにはオペレータ目線のデータを表示している。

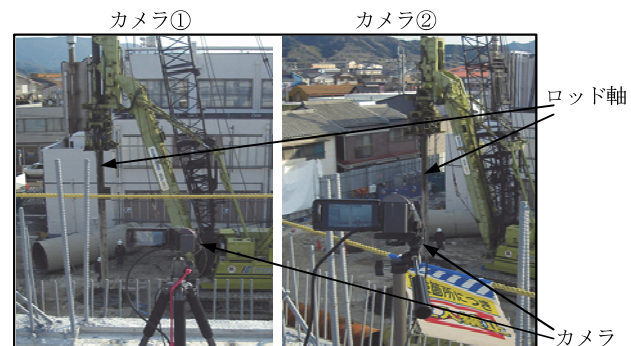


写真-1 杭打ち機の撮影状況 (杭 no. 13)

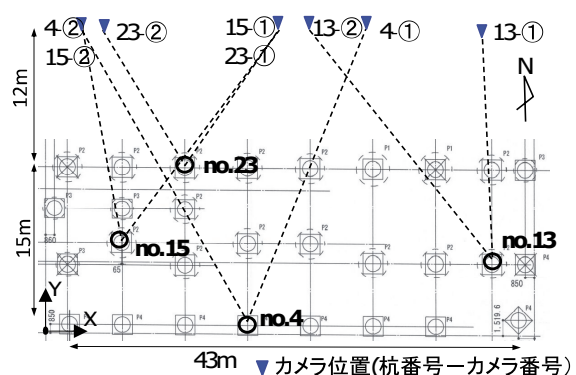


図-17 杭とカメラの配置 (事例 1)

表-1 撮影条件の一覧 (事例 1)

| 杭番号 | 杭座標 | | カメラ①座標 | | カメラ②座標 | | 仰角 | 視準角 | 計測間隔 |
|-----|------|------|--------|------|--------|------|----|-----|------|
| | X | Y | X | Y | X | Y | | | |
| 4 | 19.3 | 0.9 | 30.5 | 28.7 | 3.6 | 28.3 | 18 | 52 | 4.8 |
| 13 | 42.7 | 6.9 | 41.7 | 28.2 | 25.3 | 28.7 | 24 | 36 | 4.5 |
| 15 | 7.3 | 8.7 | 22.3 | 28.7 | 3.6 | 28.3 | 26 | 48 | 5.2 |
| 23 | 13.3 | 15.9 | 21.8 | 28.2 | 5.5 | 28.7 | 32 | 66 | 5.5 |

※単位は、座標は m、角度は degree、計測間隔は cm

写真-3と図-18には、杭削孔後に行った孔壁測定の状況（KODEN 社製の DM-602）と結果の例を示す。計測装置を東西南北に一致するように設置して、各方向の孔壁までの距離を超音波で測定している。

図-19には、孔壁測定結果と本システムによる推定偏芯量の比較を示す。測定結果は、深度ごとに測定方向の両端の孔壁位置の中心を杭軸の中心とした。拡底部分（GL-17m～-21m）は除外して、GL-15mまでの比較を示している。X方向が東西方向、Y方向が南北方向であり、推定偏芯量は仰角補正を行ってXY方向に変換した結果を示している。部分的には推定値と計測値に差違が見られるが、偏芯方向の傾向は概ね一致している。



写真-2 オペレータ室の機器設置状況



写真-3 孔壁測定状況

図-18 孔壁測定データ

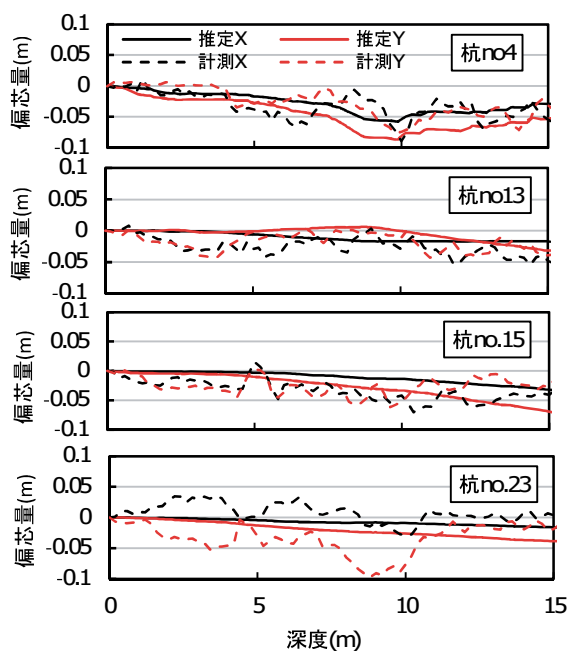


図-19 杭の偏芯量（事例1）

深度 GL-15mまでの偏芯量は 0.1m以下、傾斜角は 1/100以下に抑えられている。

4.3 適用事例2（アースドリル工法）

アースドリル工法について、本システムの実証試験を平成27年7月に実施³⁾した。アースドリルの削孔径は φ1.3m、削孔長は約30mである。写真-4に撮影状況、図-20に杭とカメラの配置を示す。

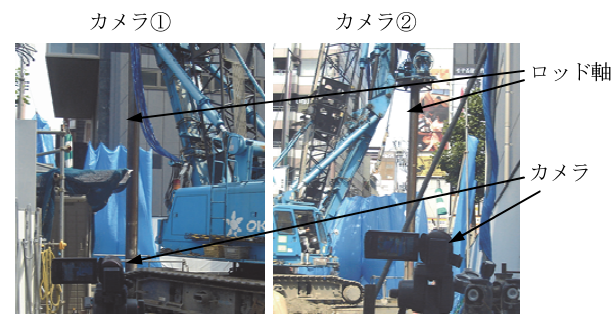


写真-4 アースドリルの撮影状況（杭 no.3）

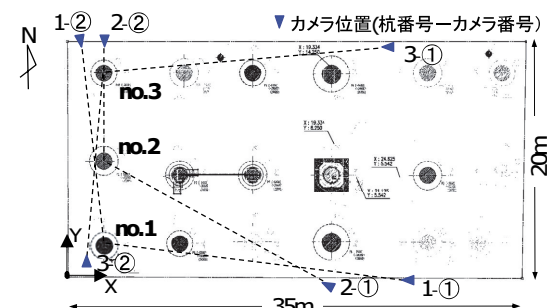


図-20 杭とカメラの配置（事例2）

表-2 撮影条件の一覧（事例2）

| 杭番号 | 杭座標 | | カメラ①座標 | | カメラ②座標 | | 視準角 | 計測間隔 |
|-----|-----|------|--------|------|--------|------|-----|------|
| | X | Y | X | Y | X | Y | | |
| 1 | 3.3 | 3.1 | 27.5 | 0.0 | 1.6 | 18.7 | 103 | 4.7 |
| 2 | 3.3 | 9.7 | 21.0 | 0.0 | 3.4 | 18.7 | 118 | 5.7 |
| 3 | 3.3 | 16.8 | 25.5 | 18.7 | 2.0 | 2.0 | 99 | 7.6 |

*単位は、座標は m、角度は degree、計測間隔は cm

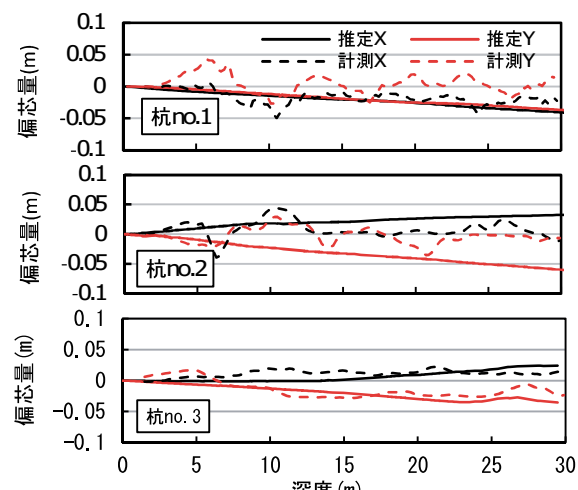


図-21 杭の偏芯量（事例2）

表-2 に撮影条件の一覧を示す。敷地は 20m×35m と街中の狭隘な状況であったが、問題なく本システムを適用できた。図-21 には、孔壁測定結果と推定偏芯量の比較を示す。偏芯量は 1/100 を大きく下回り、方向性はほぼ一致している。特に杭 no.3 では、偏芯量と偏芯方向ともによく一致している。

4.4 適用事例 3 (アースオーガ工法)

アースオーガ工法について、本システムの実証試験を平成 27 年 8 月に実施³⁾した。アースオーガの削孔径は $\phi 0.6\text{m}$ 、削孔長は約 25m である。アースオーガ工法ではオーガを地盤に回転させて排土し、オーガを継ぎながら支持層まで削孔する。写真-5 に撮影状況、表-3 に撮影条件の一覧、図-22 に杭とカメラの配置を示す。

図-23 には、推定偏芯量と計測結果の比較を示す。杭削孔後に設置した既成杭の杭頭の傾斜角をデジタル傾斜計で計測（写真-6 参照）した。既成杭の構成（上杭（5m）、中杭、下杭）を考慮して、傾斜角は GL-5m までの推定値の結果と比較したが、傾向は一致している。図-24 には、計測値と推定値の傾斜角の相関を示す。XY の両方向の結果を合わせて示した。ややばらつきはあるが、相関係数としては 0.77 という結果であった。

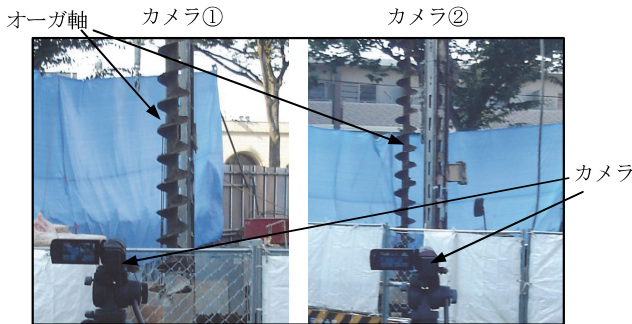


写真-5 アースオーガの撮影状況 (杭 no. 11)

表-3 撮影条件の一覧 (事例 3)

| 杭番号 | 杭座標 | | カメラ①座標 | | カメラ②座標 | | 視準角 | 計測間隔 |
|-----|-----|------|--------|------|--------|------|-----|------|
| | X | Y | X | Y | X | Y | | |
| 7 | 8.4 | 12.1 | 6.0 | -8.5 | 23.0 | 12.5 | 98 | 5.3 |
| 11 | 0.0 | 0.0 | -2.0 | -7.0 | 18.0 | -9.0 | 79 | 12.3 |
| 12 | 0.0 | 6.6 | -2.0 | -7.0 | 13.8 | -9.5 | 48 | 8.6 |

※単位は、座標は m、角度は degree、計測間隔は cm

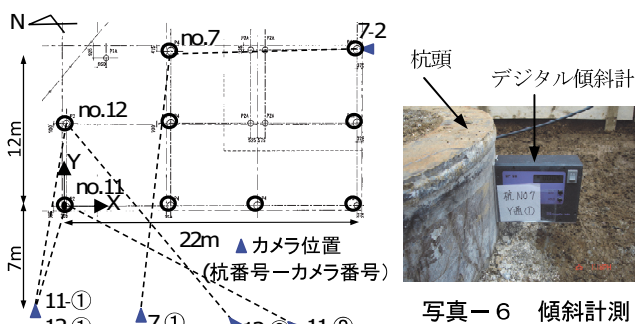


図-22 杭とカメラの配置 (事例 3)

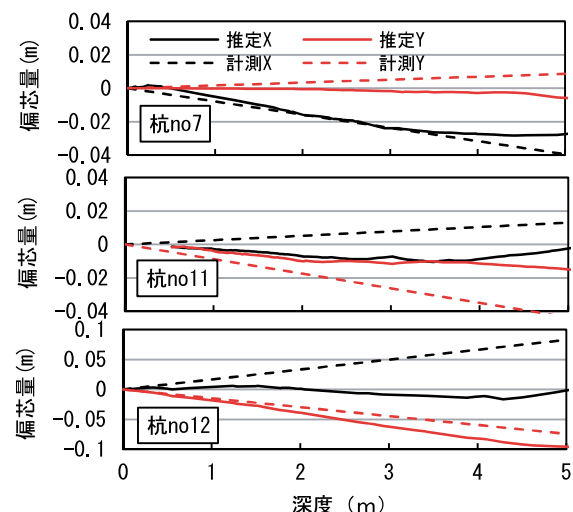


図-23 杭の偏芯量 (事例 3)

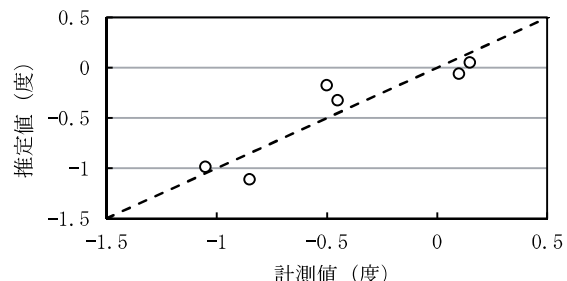


図-24 推定値と計測値の傾斜角の相関

6. あとがき

本研究では、杭打ち機の画像をリアルタイムで処理して傾斜計測と深度計測を行い、施工精度の管理に有効な情報をオペレータや現場事務所に配信するシステムを開発した。現場実証試験をアースドリル工法とアースオーガ工法で実施したが、類似の工法にも適用可能である。なお、今回の実証試験は、本システムの適用性の検証を目的とし、施工精度の管理に活用するには至っていない。

課題には、撮影環境によって画像不鮮明になる場合の解析精度の確保や施工状況に柔軟に対応できるシステムの構築が挙げられる。今後は適用事例を積み重ねて改良していきたい。最後に、愛媛県伊予市役所など関係者の方々には実証試験の場を提供いただいたことに感謝する。

【参考文献】

- 森田修二、井 君人、宮本達哉、辻 栄治、「画像データによる杭施工精度の検証と施工管理への活用」、土木学会第 69 回年次学術講演会、第 6 部門、pp.595-596、2014.9
- 田村秀行、「コンピュータ画像処理」、オーム社、2002.12
- 森田修二、塚本耕治、坂元一雄、庄司正弘、「画像処理による杭施工精度の管理」、土木学会第 71 回年次学術講演会、第 6 部門（投稿中）

施工 C I Mへの取組み

—山岳トンネル、鉄道営業線近接施工、土地造成の生産性向上—

Application of CIM Systems for Construction Sites

- Improving Productivity in Mountain Tunneling, Construction near In-Service Railway Facilities and Land reclamation -

宮田岩往*

要旨

国土交通省が推進している CIM¹⁾・i-Construction²⁾（ICT 活用工事）等の案件への対応準備として、山岳トンネル工事、鉄道営業線近接工事、土地造成工事の施工現場に CIM を適用し、その活用場面と有効性を検証した。山岳トンネル工事については、測量・計測システムのデータとトンネルの 3 次元モデルを連携させ、切羽観察記録、地山評価点、切羽写真等の施工管理データを含む CIM モデルを作成し、それにより、現場職員に負担を掛けずに施工・維持管理情報のデータベースを構築することを目的とした。鉄道営業線近接工事では、駅部を含む鉄道高架工事および地下駅開削工事の施工ステップを 3 次元モデルで可視化し、詳細な施工計画の立案と施工管理、発注者協議に活用した。土地造成工事については、カメラを搭載した UAV を用いて撮影した空中写真から 3 次元モデルを生成することで、広範囲なエリアの造成現場で構造物周りの埋戻し土量も含めた現況測量を短時間で実施できることを確認した。

キーワード : CIM、i-Construction、施工ステップ、可視化、UAV

1. まえがき

国土交通省では、3 次元モデルを用いて調査・設計・施工・維持管理の各段階ごとに発生するデータを連携・追加させ、事業全体の関係者間で情報を共有することによる一連の建設生産システムの効率化を目的として平成 24 年度から CIM（Construction Information Modeling）を推進している。さらに、平成 25 年度からは、設計・施工案件への試行適用を開始しており、年々適用範囲を拡大してきている。

また、平成 27 年 11 月には建設現場の生産性を向上させ、魅力ある建設現場を目指す取組みとして i-Construction を進めていくことが発表され、平成 28 年度からは i-Construction の三つの施策のうち、ICT 活用工事（土工）の運用が開始されている。

今回、これらの CIM・i-Construction の展開を見据えて、山岳トンネル工事、鉄道営業線近接工事、土地造成工事に施工 CIM を適用し、工種ごとの活用場面と有効性を検証した。

山岳トンネル工事については、国土地理院から公開されている基盤地図情報による地形表面の 3 次元モデル、

設計図書として提供される地質平面図および地質縦断図、日々の施工に活用している測量・計測システムのデータ（切羽観察記録、地山評価点、切羽写真等）の各種データを活用して CIM モデルを作成することを考えた。そこで、まず特に日々発生する測量・計測システムのデータを取り込むことにより、効率的にトンネル CIM モデルが生成される仕組みの開発に取り組んだ事例を報告する。

次に、鉄道営業線近接工事では、近接施工となる駅部を含む鉄道高架工事および地下駅開削工事において、3 次元モデルを用いて施工ステップ等を可視化することで詳細な施工計画の立案、施工管理、発注者協議に活用した事例を報告する。

最後に、土地造成工事については、広範囲なエリアの造成現場において、構造物周りの埋戻し土量も含めた土量の把握を効率的に行うために、カメラを搭載した UAV による写真測量を実施した事例を報告する。

2. 山岳トンネル工事における C I Mへの取組み

2.1 概要

* 管理本部情報システム部

山岳トンネル工事において、地形表面形状、地質平面図、地質縦断図、測量・計測システムデータとトンネルの3次元モデルを連携させ、切羽観察記録、地山評価点、切羽写真等の施工管理データをデータベース化したCIMモデルを作成した。

2.2 実施内容

図-1に示すように、国土地理院が公開している基盤地図情報の数値標高モデルにより作成したトンネル上部の地形表面の3次元モデルに設計図書の地質平面図を配置する。また、トンネル線形に合わせて設計図書の地質縦断図を配置する。この地形モデルに、トンネルを施工するために使用している測量・計測システムの切羽観察記録、地山評価点、切羽写真等の施工管理データを連携させることで、トンネル施工に関する情報をデータベース化したトンネルCIMモデルによりそれらを可視化した(図-2)。このトンネルCIMモデルには、図-3に示すように切羽ごとの切羽観察記録がデータベース化されており、図-4に示すように切羽ごとの切羽写真や切羽断面の天端部、左肩部、右肩部、および総合地山評価点が点数によって色分けされて表示される。また、図-5に示すように、地山等級に合わせて実際に設置された実施支保パターンがパターンごとに色分けされて表示される。このCIMモデルには、他にもボーリングデータや削孔検層³⁾システムデータ等を統合して表示させることも出来る(図-6、7)。

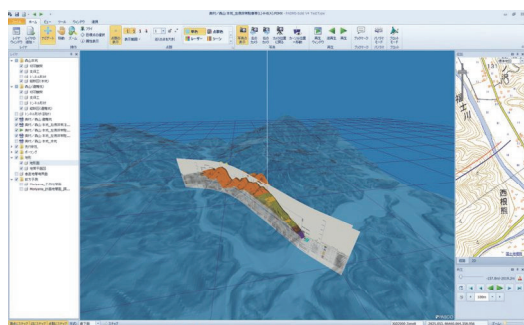


図-1 地形表面+地質平面+地質縦断

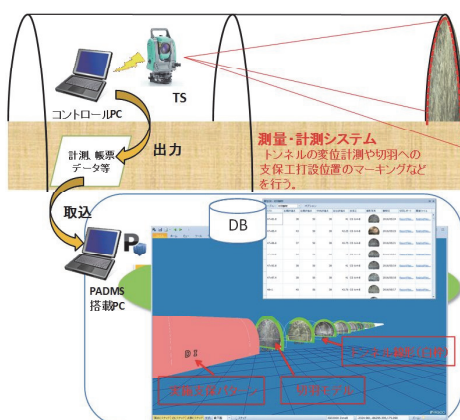


図-2 測量・計測システムとのデータ連携

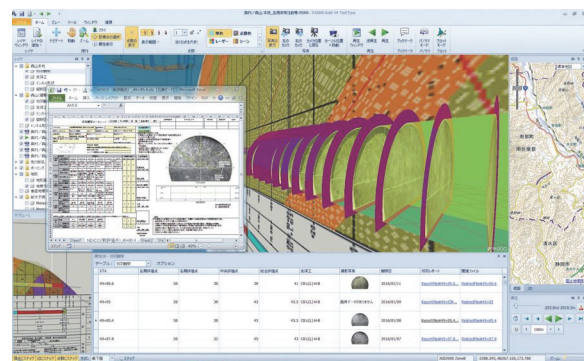


図-3 データベース化された切羽観察記録

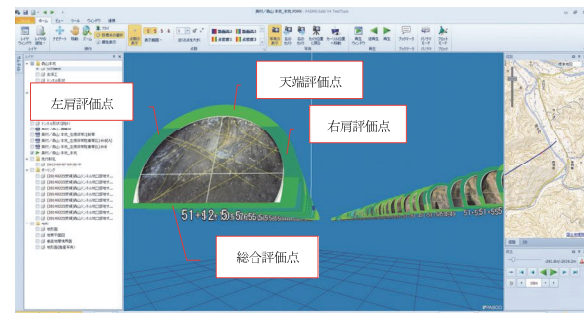


図-4 データベース化された切羽写真+地山評価点

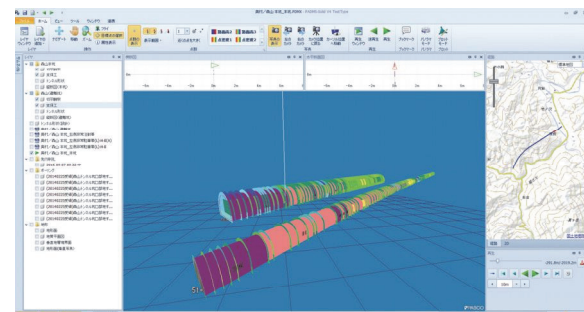


図-5 データベース化された実施支保パターン

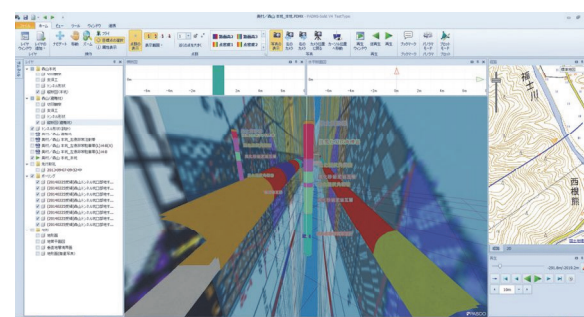


図-6 ボーリングデータ

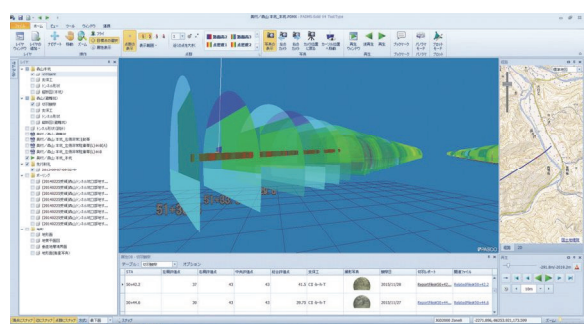


図-7 削孔検層システムデータ

2.3 実施結果

測量・計測システムのデータを取り込んだトンネルの CIM モデルが作成されたことで、現場職員に負担が掛からずにデータベース化された施工・維持管理情報を得られることが有効であるとの評価を得た。

3. 鉄道営業線近接工事におけるCIMへの取組み

3.1 概要

鉄道営業線近接工事のうち、駅部を含む営業線近接施工となる高架工事および地下駅開削工事において、施工 CIM を活用した。

a. 駅部を含む営業線近接施工となる鉄道高架工事

営業線近接施工となる高架工事において、3 次元モデルを用いた施工計画の立案、施工管理、および発注者協議等におけるそれらの活用により、円滑な施工を目的に施工 CIM を導入した。

b. 鉄道地下駅の開削工事

鉄道地下駅開削工事においても同様に、3 次元モデルを用いた施工計画の立案、施工管理、および発注者協議等におけるそれらの活用により、円滑な施工を目的に施工 CIM を導入した。また、主要ターミナル駅部での施工となるため、個別に存在している複数の関係機関が保有する情報を 3 次元モデルを用いて一元的に可視化することに取り組んだ。

3.2 実施内容

a. 駅部を含む営業線近接施工となる鉄道高架工事

この工事は、複線の既設線（上下各 1 線）を仮線に移設した上で施工を行う仮線方式の連続立体交差事業であり、I 期工事で下り線の高架橋を構築して高架への切替が完了した後に、II 期工事で上り線の高架橋の構築を行うものである。しかし、II 期工事では仮線で営業中の上り線との近接工事となり、より綿密な施工計画が必要であるため、構造物（既設+新設）、仮設、営業線（上り線）の 3 次元モデルを作成した（図-8）。

平面線形がカーブとなる区間では部分的に架線と近接する区間があり、柱および軌道梁・スラブ構築時に設置する足場と架線トラスとの離隔が確保できるかを 3 次元モデル上で確認した（図-9）。



図-8 駅部の 3 次元モデル

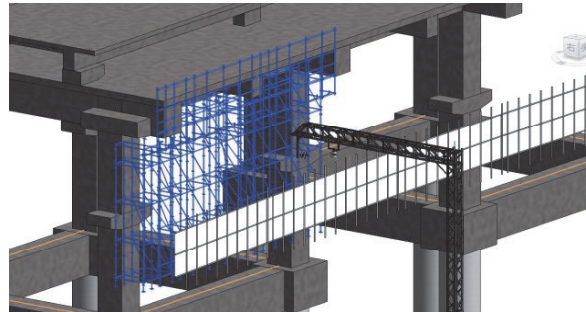


図-9 架線と足場の離隔確認

また、営業中の上り線と最も近接施工となる駅部区間にについて、施工ステップに合わせた 3 次元モデルを作成し、各施工ステップごとに営業線に支障なく施工ができるかを確認しながら詳細な施工計画に活用した（図-10～13）。

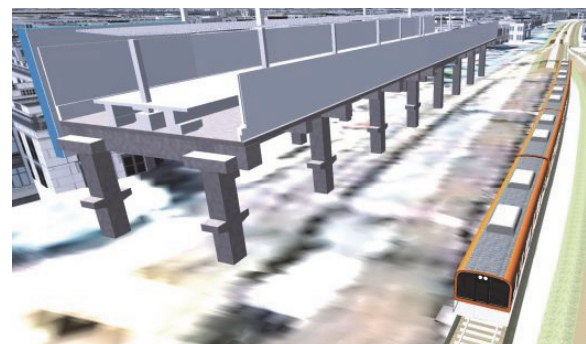


図-10 施工ステップ（着手前）



図-11 施工ステップ（柱構築）

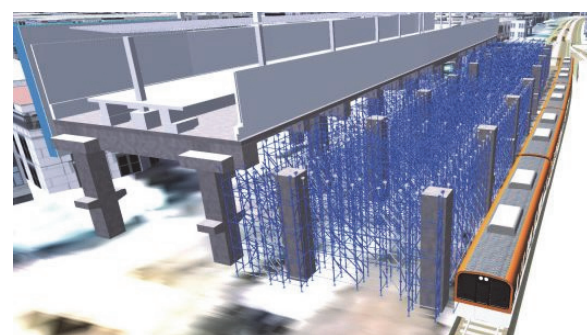


図-12 施工ステップ（型枠支保工）



図-13 施工ステップ（軌道梁・スラブ）

b. 鉄道地下駅の開削工事

この工事は、主要ターミナル地下駅、および地下通路を拡幅する工事であり、地上と地下が密接に関係する場所であるとともに、複数の関係機関が保有する情報が個別に存在している。これらの散在する情報を一元的に可視化することで、各種検討や合意形成の迅速化が図られ、工事の安全管理や品質確保の向上を目的として 3 次元モデルを導入した。

そのために、MMS（モービルマッピングシステム）⁴⁾で取得した点群データと航空写真（オブリーク航空カメラ⁵⁾から生成した 3 次元都市モデルを活用して、地下の躯体（既設＋新設）と地上の周辺建物との相関を可視化した（図-14～16）。



図-14 MMS取得データ（点群+写真）



図-15 MMS取得データ（色付き点群）

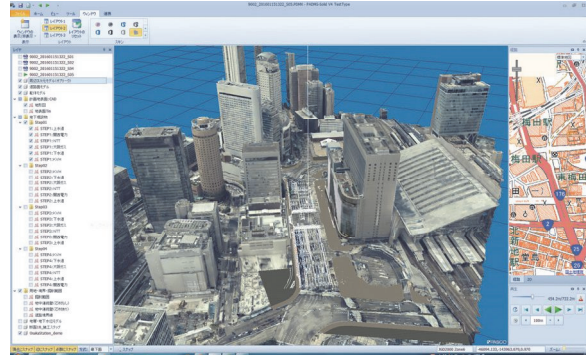


図-16 3次元都市モデル（オブリーク航空カメラ）

また、施工エリアには複数の機関が管理する埋設物が多数存在するため、工事中だけでなく工事完了後の維持管理にも活用できるように埋設物のモデルに管理者、管種、径、土被り等の属性データを付加してデータベース化した CIM モデルを作成した（図-17）。さらに、工事の進捗に合わせて埋設物を切り廻す必要もあるため、工事期間ごとの埋設物と躯体との位置関係を可視化した。

また、この地域は地下水位が高く、施工上も特に配慮が必要なため、地下躯体と地層・水位の 3 次元モデルの関係を可視化した（図-18）。

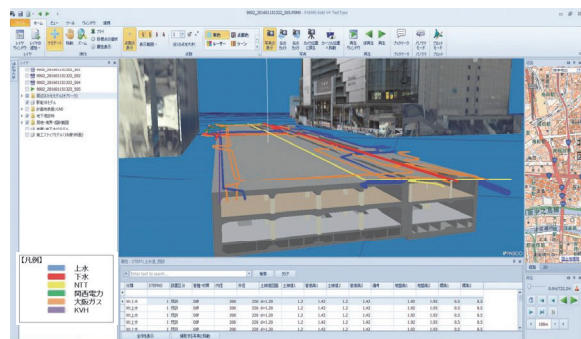


図-17 CIMモデル（地下埋設物データベース）

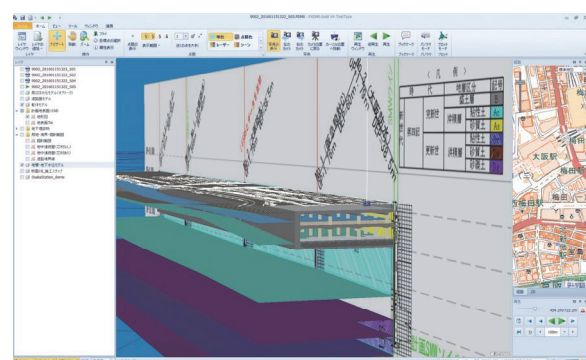


図-18 3次元モデル（躯体+地層）

さらに、工事手順を視覚的に分かり易く表現するため、2 次元図面の施工ステップ図を 3 次元躯体モデルと重ねて配置することで、簡易な施工ステップの 2.5 次元モデルを作成して可視化した（図-19、20）。

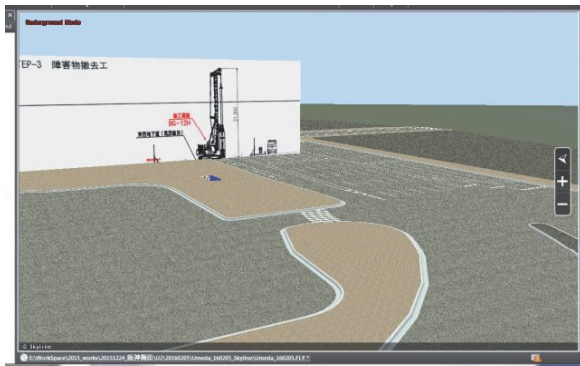


図-19 施工ステップ（地上部）

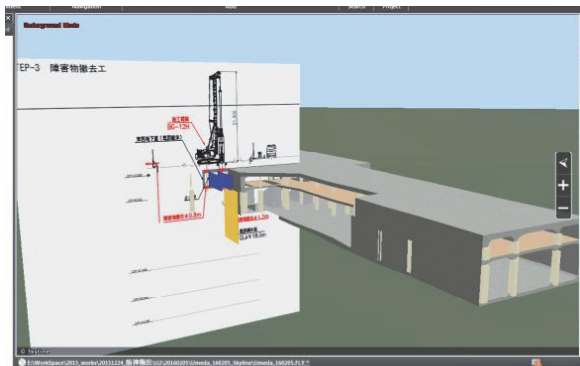


図-20 施工ステップ（地下透過）

3.3 実施結果

a. 駅部を含む営業線近接施工となる鉄道高架工事

2次元の設計図面（平明図・横断図）では明確ではなかった型枠支保工と架線トラスとの位置関係を3次元モデルで可視化することにより、計画段階で離隔距離の確認ができ、詳細な施工計画に有効であった。

また、施工ステップを3次元モデルで可視化し、様々な方向から視点を変えて確認することで、2次元図面では気付きにくい問題点を確認でき、より精度の高い施工計画が立案できた。

b. 鉄道地下駅の開削工事

軸体の3次元モデルと、元々2次元図面で計画していた施工手順を重ね合わせることで、少ない労力でわかりやすい施工ステップモデル（2.5次元モデル）を活用できた。

また、地下軸体モデルと属性を付加した埋設物モデルを組み合わせることで、施工中の施工管理だけでなく竣工後の維持管理としての活用も期待できる。

4. 土地造成工事におけるCIMへの取組み

4.1 概要

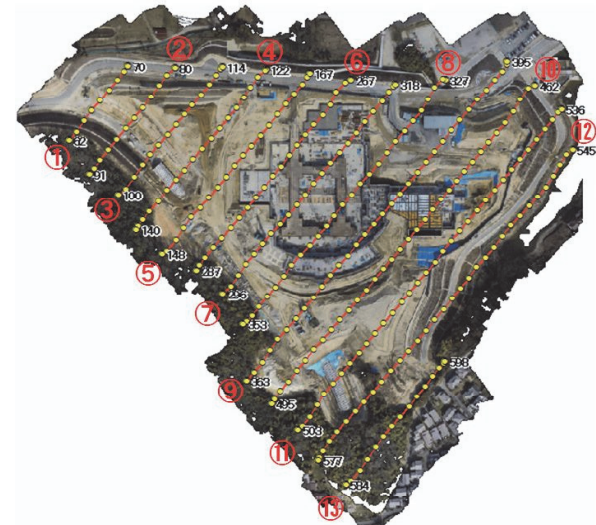
土地造成工事において、UAV写真測量による現況測量を行い、構造物周りの埋戻し土量も含めた全体の切盛土量を把握し、土砂の合理的な運搬計画に活用した。

4.2 実施内容

この工事は、病院建設に係る造成工事であり、当初は

造成工事のみであったが、現在は病院建築工事も並行して行っている状況である。建築工事着工前にある程度の土量をバランスさせていたが、建築工事の進捗に合わせて埋戻し用土砂の仮置き場を縮小させる必要が出てきたため、UAV写真測量技術^⑨を用いて現況測量を行い、全体の切盛土量を把握して、土砂の合理的な運搬計画に活用した。

この工事では、以前にもUAV写真測量による計測を行ったが、今回は構造物周りの埋戻し土量を詳細に把握する必要があったため、図-21に示すように場内を13コースに分けて撮影した。90mの高度から撮影する計画でフライトした結果、表-1に示すように平均高度は90.7m、平均地上解像度は1.24cm、ラップ率は80%（サイドラップ65%）となった。



計測に合わせて精度も検証した結果、平面誤差(XY)は最大で 4.70cm、高さ誤差(Z)は 7.12cm となり、土量計算には支障のない結果となった。精度検証に用いた 3 次元モデルを図-23 に示す。

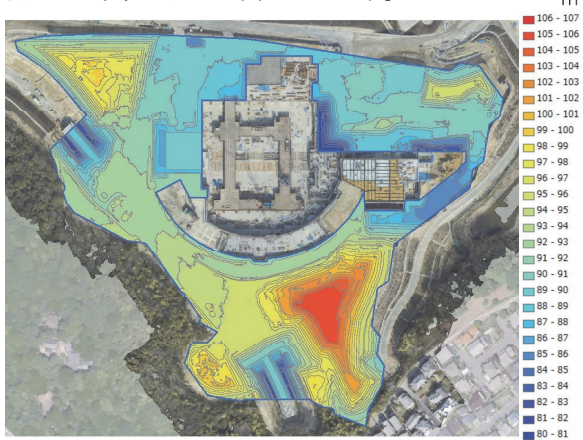


図-22 等高線表示（標高）



図-23 UAV 計測による 3 次元モデル

5. あとがき

国土交通省が推進している CIM・i-Construction (ICT 活用工事) 等の案件への対応準備として、山岳トンネル工事、鉄道営業線近接工事、土地造成工事の施工現場に CIM を適用した。

山岳トンネル工事については、地形やトンネルの 3 次元モデルと測量・計測システムデータの連携で、3 次元モデルと切羽測点ごとの施工管理データが関連付けられる CIM モデルを作成することにより、現場職員に負担を掛けずに施工・維持管理情報のデータベースが構築されることが有効との評価を得た。今後はこのモデルを用いて切羽前方地山の予測に活用していく予定である。

鉄道営業線近接工事のうち、鉄道高架工事については、駅部を含む高架構造物の 3 次元モデルを作成し、そのモデルを用いて施工ステップを可視化することで、より精度の高い施工計画の立案、施工管理への活用、発注者協議における合意形成の迅速化に有効であることを確認した。今後、この工事はⅡ期工事の最盛期に入っていくため、必要に応じてモデルを修正しながら施工管理に活用していくたい。

鉄道地下駅の開削工事については、これから軸体工事が始まっていくため、部分的に鉄筋等の干渉確認が必要となる場面が出てくることが予想されるので、工事所職

員のニーズに合わせて対応していきたい。また、埋設物の切廻し位置等、施工中の情報を CIM モデルに反映させ、維持管理に有効活用できる CIM モデルを作り上げていきたい。

土地造成工事については、i-Construction での活用が期待されている UAV 写真測量によって、広範囲なエリアの切盛土量を迅速に把握することができ、施工管理に有効であることが確認できた。しかし、i-Construction の基準⁷⁾が公表される前の平成 28 年 3 月に実施したため、結果的に i-Construction で規定されている 5cm 以内の精度を満たす結果とはなっていない。だが、地上解像度やラップ率を調整して計測することで基準を満たすことができると考えられるため、次回の計測で検証していきたい。

【参考文献】

- 1) CIM 技術検討会、「CIM 技術検討会 平成 27 年度報告」、pp.2-3、2016.6
- 2) 国土交通省大臣官房技術調査課 工事監視官 山下眞治、「国土交通省における CIM の取り組み【CIM の新たな検討体制】」、CIM 2016、一般財団法人経済調査会、pp.4-5、2015.7
- 3) 塚本耕治、「削孔検層法によるトンネル切羽前方探査一打撃によるエネルギーを指標に用いた地山評価」、土木技術、Vol.70、No.9、pp.27-32、2015.9
- 4) 橋 菊生、間野耕司、島村秀樹、「河川堤防計測へのモバイルマッピングシステムの適用」、写真測量とリモートセンシング、Vol.54、No.4、pp.166-177、2015.9
- 5) 津留宏介、「広がるデジタル航空カメラの世界（その 2）」、写真測量とリモートセンシング、Vol.49、No.6、pp.409-413、2012.1
- 6) 五十嵐善一、浦本洋市、矢尾板啓、津口雅彦、佐藤俊明、「UAV 空中写真による造成施工現場の三次元データを用いた差分解析」、第 70 回土木学会年次学術講演会、VI-007、2015.9
- 7) 国土交通省大臣官房技術調査課、総合政策局公共事業企画調整課、国土技術政策総合研究所、国土地理院、「新たに導入する 15 の基準及び積算基準について」、2016.3

モルタル吹付けによる既存耐震壁補強工法の施工実験と既存建物への適用

Construction Experiment and Practical Application of Seismic Retrofitting Method using Spray Mortar for Existing Shear Walls

岸本 剛* 河野政典* 服部晃三** 古田英之**

要旨

モルタル吹付けによる既存耐震壁の壁厚を増す耐震補強工法を開発した。本工法は、コンクリートを打ち込む代わりにポリマーセメントモルタルの吹付けにより壁厚を増す工法で、ポンプ車と生コン車、型枠を使わないので、省スペースでの施工が可能である。加えて、あと施工アンカーを用いる代わりにエポキシ樹脂の接着で既存躯体と一体化する方法を採用しているため、あと施工アンカー打込みの騒音や振動を低減できるので建物を使用しながら耐震補強工事が可能である。今回、吹付け時の施工性、および吹付け後硬化したポリマーセメントモルタルの圧縮強度の特性と管理方法を実大施工実験により確認し、実建物の耐震補強工事へ適用した。

キーワード：耐震補強、ポリマーセメントモルタル、吹付け、省スペース、低騒音低振動

1. まえがき

近年、地球環境保護への関心が高まるなか、少子・高齢化、人口減少の到来を背景に、建築物のあり方としてスクラップアンドビルトから既存建物ストック活用へと志向が移りつつある。耐震補強に関する動向については、1995年に発生した兵庫県南部地震を契機に、耐震改修促進法が制定され、耐震改修の重要性が見直された。その後、2011年に発生した東北地方太平洋沖地震においては、耐震補強された建物に大きな被害が生じることなく、耐震補強の有効性が実証された¹⁾。さらに、2013年には耐震改修促進法が改正され、既存不適格建物の耐震性向上の取り組みが促進されることにより、今後、補強工事の増加が見込まれる。

耐震性能が不足する既存建物の耐震補強として、新たに壁を増設する工法が一般的に用いられている²⁾。壁の増設には、オープンフレームに耐震壁を新設する方法（増設壁）や、既存の耐震壁の壁厚を増す方法（増打ち壁）がある。動線や採光等を確保するために補強位置が限定され、増設壁を設置できない場合は、増打ち壁が採用される。増打ち壁による耐震補強では、通常、現場打ちコンクリートにより既存耐震壁の壁厚を増すが、コンクリートの打込みに伴う騒音、打込み現場におけるコンクリートポンプ車や配管に必要な広い施工スペース、および型枠設置の工事期間の確保が問題となる。また、増

打ち壁と既存躯体の一体化を図るため、通常、あと施工アンカーが用いられるが、あと施工アンカー工事には騒音や振動が伴うため、建物を使用しながらの耐震補強工事は難しく、建物使用者の一時的な移転が必要となる場合もある。

そこで、増打ち壁を既存躯体とエポキシ樹脂で接着接合する方法を採用し、コンクリートを打ち込む代わりにポリマーセメントモルタル（以下、「PCM」）の吹付けにより増打ち壁を構築する工法（以下、「本工法」）を開発し、既報^{3), 4)}にて構造性能および設計方法を報告した。今回、本工法を実建物の耐震補強工事に適用するにあたり、既存耐震壁にPCM吹付け時の施工性や、吹付け施工されたPCMの圧縮強度等の強度特性と管理方法を確認するため、実大スケールでの吹付け施工実験を実施した。本報では、施工実験と実建物の耐震補強工事への適用事例について報告する。

2. 工法概要と施工手順

2.1 工法概要

本工法の概要を図-1に示す。本工法では、増打ち壁を既存躯体とエポキシ樹脂で接着接合する（以下、「接着工法」）。なお、従来のあと施工アンカーにより接合する（以下、「あと施工アンカー工法」）ことも可能である。

*技術研究所 **西日本支社建築設計部

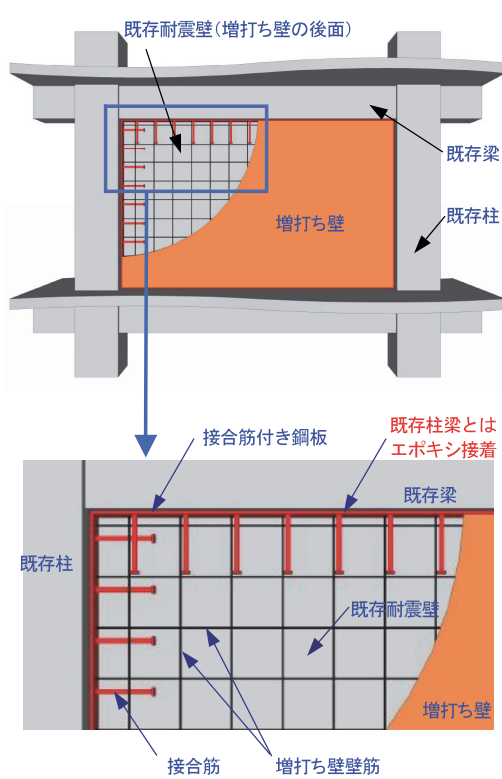


図-1 工法概要

本工法の特長には、

- i. 補強対象が既存壁の存在する位置なのでオープンフレームに壁を新設する場合に比べ建物の機能性を損なわない
 - ii. モルタルに高強度材料を使用するため現場打ちコンクリートに比べ壁厚を薄くできる
 - iii. 既存躯体と接着接合するため、あと施工アンカー工事の必要がなくなり騒音や振動を低減できる
 - iv. 省スペースでの施工（ポンプ車不要）、工期短縮（型枠不要）が可能となる
- が挙げられる。

2.2 施工手順

本工法の施工手順を図-2に示す。接着工法と従来のあと施工アンカー工法の違いは、既存柱梁と増打ち壁の接合方法の違いのみで、その他は同じである。

a. 準備工事

既存コンクリート表面に仕上げ材（塗料、タイル、ボーダー類等）が施されている場合は、仕上げ材を撤去し、コンクリートを露出させる。接着材等が付着している場合にはグラインダー等により除去する。

コンクリートにより既存耐震壁を増厚する工法の場合、既存躯体と新設コンクリートの一体性を高めるため、既存コンクリートの目荒らしを行うが、本工法では付着性に優れているPCMを用いるため目荒らしは不要である。

b. 接合筋付き鋼板の取付け工事

工場で接合筋を溶接した鋼板を、増打ち壁周囲の既存躯体にエポキシ樹脂にて接着接合する。

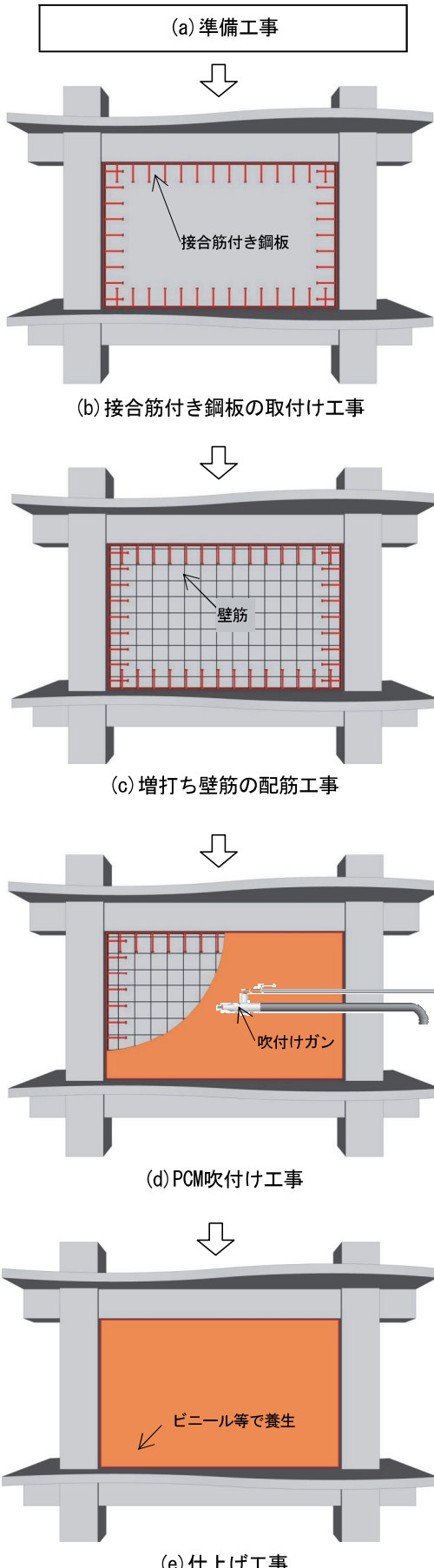


図-2 施工手順

c. 増打ち壁筋の配筋工事

壁筋の配筋作業は従来の方法と同様である。通常、既存躯体との接合部分に割裂防止筋を設置するが、本工法においては不要^{3), 4)}である。

d. PCM吹付け工事

構造実験および施工実験により、耐震補強工事に適用できるPCMを選定した。選定された材料は4種で、設計強度は36 N/mm²、および40N/mm²である。設計基準強度のほか、1回の吹付け厚さや圧送距離等の施工条件により材料を使い分ける。

また、各材料に応じた練り混ぜ方法、吹付け機器を用いて吹付け施工を行う。

e. 仕上げ工事

表面を左官仕上げ後、乾燥ひび割れを防止するため、ビニール等で養生する。

3. 施工実験

3.1 実験概要

実験目的は、本工法に用いるPCMの施工性、強度管理方法、強度特性を確認することである。

本工法に用いるPCMには、施工性として吹付け時に自重で垂れないこと、および鉄筋裏へ密実に充填できることが要求される。また、強度管理として練り混ぜ時、吹付け時の圧縮強度の管理方法を定める必要がある。一方、本工法では、既存耐震壁と増打ち壁のせん断耐力を単純累加する設計法⁴⁾を提案しているため、強度特性として吹付け施工したPCMの圧縮強度、ヤング係数、ポアソン比を確認する必要がある。

施工実験での確認項目を表-1に、試験体の概要を表-2に、PCM練り混ぜ状況を写真-1に、吹付け施工状況を写真-2に示す。

表-1 施工実験での確認項目

| 確認項目 | |
|------|--|
| 施工性 | 自重で垂れない1回の吹付け厚さ 1回で壁厚を吹き付けることができない場合の壁厚方向の分割方法(層分け) |
| | PCMの鉄筋裏への充填性 |
| 強度管理 | PCMの増打ち壁の圧縮強度の管理方法 |
| 強度特性 | 圧縮強度、ヤング係数、ポアソン比等の物性値 |

表-2 施工実験試験体の概要

| 吹付け材 PCM | | 市販品 4種[A, B, C, D]* |
|----------|-------|---|
| 増打ち壁 | 壁厚 | 160mm |
| | 配筋 | 材料A、C、D D10@200(ダブル) 材料B D10@200(シングル) |
| | 接合筋 | 材料A、C、D D13@200(ダブル) 材料B D13@200(シングル) ただし、あと施工アンカ- |
| | 割裂防止筋 | φ100-D6@50 |

*材料特徴 圧送可能距離：材料A、Bは30m程度、C、Dは30m以上

試験体の壁厚、壁筋、接合筋は構造実験⁴⁾の結果を元に決定した。なお、施工実験ではPCMの施工性や強度特性の確認が目的のため、接合筋付き鋼板による既存躯体との接着接合ではなく、接合筋と同径、同ピッチのあと施工アンカーにより接合した。また、鉄筋の裏側の充填性を確認する上で条件が悪い過密配筋を再現するため、本工法では不要な割裂防止筋を配置した。

まず、各材料に応じた練り混ぜ水量、およびフレッシュ管理値でモルタルを練り上げ、吹き付けた。材料によっては1回の吹付け厚さが異なり、厚くすると材料が自重で垂れてくることが懸念された。材料A、C、Dは



写真-1 PCM練混ぜ状況



写真-2 吹付け施工状況



写真-3 仕上げ状況

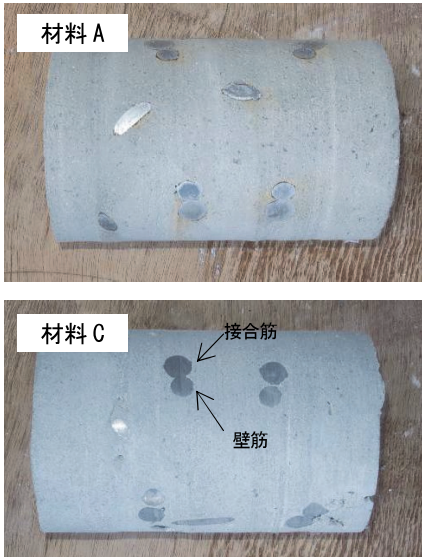


写真-4 PCM 充填状況の一例

1 回で壁厚 160mm を吹き付けることが不可能なため、壁厚方向に 3 層に分け、吹き付けることとした。各層はダブル配筋の各鉄筋を覆う厚さまでとした。すなわち、1 層目はダブル配筋の 1 列目の鉄筋を覆う厚さ 60~70mm、2 層目は 2 列目の鉄筋を覆う厚さ 60~70mm、3 層目は仕上げ吹きとして厚さ約 30mm とした。なお、材料 B は 1 回で 200mm 以上吹付けが可能な材料であるため、1 回で 160mm を吹き付けた。吹付け後、左官仕上げを行い、その後、乾燥を防ぐため表面をマスキングシートで覆った。仕上げ状況を写真-3 に示す。

3.2 施工性能

選択した PCM は吹付け施工時に既存耐震壁より垂れることなく、今回実施した層分けの方法で施工可能であることが分かった。

また、PCM 硬化後にその充填性を確認するため、配筋が過密な位置からコアを採取した。コアの PCM 充填状況の一例を写真-4 に示す。有害となる空隙は確認されなかった。

3.3 強度特性

a. 圧縮強度と管理方法

ミキサ練り直後の試料と圧送ホースのノズル先から採取した吹付け試料、およびコア供試体の強度試験結果の一例を図-3 に示す。ノズル先から採取した試料は、ミキサから直接採取した供試体よりも圧縮強度が大きい傾向にあった。また、いずれの材料においてもコア供試体の強度は、ノズル先から採取した供試体と同等以上の強度であった。そのため、本工法では強度管理をノズル先から採取した PCM により行うこととした。

図-4 に、ノズル先から採取した吹付け試料供試体の現場封締 28 日強度を示す。材料 A は 40 N/mm² 以上、材料 B~D は 50 N/mm² 以上であった。これらの結果から、各材料の設計基準強度として、材料 A は 36N/mm²、

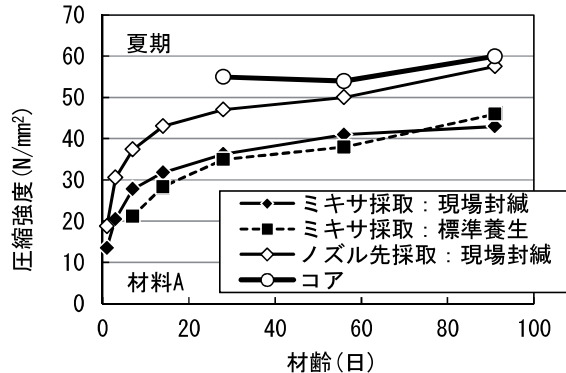


図-3 圧縮強度試験結果の一例

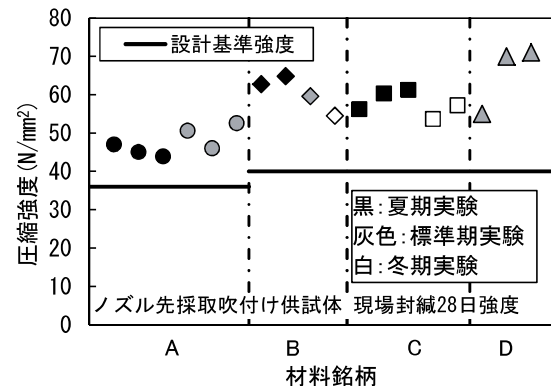


図-4 各材料の現場封締 28 日強度

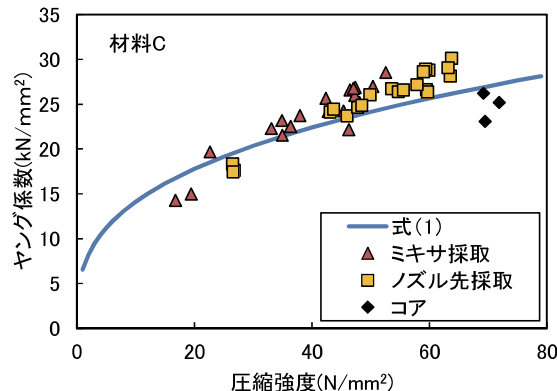


図-5 圧縮強度とヤング係数の関係

材料 B~D は 40N/mm² とした。

b. ヤング係数とボアソン比

材料 C の圧縮強度とヤング係数の関係の試験結果の一例を図-5 に示す。同図には RC 規準⁵⁾によるコンクリートのヤング係数の計算式(1)による値を併せて示す。この結果から、PCM のヤング係数もコンクリートに準じて推定できることを確認した。

$$E = 33500 \cdot \left(\frac{\gamma}{2.4} \right)^2 \cdot \left(\frac{\sigma_B}{60} \right)^{1/3} \quad (1)$$

$$\begin{aligned} \text{ここに、} E &: \text{ヤング係数 } (\text{N/mm}^2) \\ \gamma &: \text{モルタルの単位容積質量 } (\text{t/m}^3) \\ \sigma_B &: \text{モルタルの圧縮強度 } (\text{N/mm}^2) \end{aligned}$$

また、図-6にPCMの圧縮強度とポアソン比の関係を示す。ミキサ採取とノズル先採取とも、ポアソン比は概ね0.2であることを確認した。

4. 適用耐震補強工事

4.1 建物概要と補強増打ち壁の概要

本工法を適用した建物の概要、および耐震補強概要を表-3に、本工法による補強位置を図-7に示す。本建物では、あと施工アンカーが既存躯体中の鉄骨フランジに干渉し、必要な埋め込み長さが確保できないため、増打ち壁補強18構面のうち、2構面に本工法を適用した。

補強増打ち壁の概要を表-4に示す。設計基準強度が36N/mm²、圧送距離が30m以内であることから、図-4に示す材料Aを選定した。

4.2 施工状況

吹付け施工の準備工事として、既存躯体の仕上げ材撤去後、壁面にクラックが確認されたため、樹脂注入により補修を行った。接合筋の取付け状況を写真-5、6に、配筋状況を写真-7に示す。あらかじめ工場において接合筋を長さ1.2~2.0mの鋼板に所定ピッチで溶接し、その鋼板をエポキシ樹脂を用いて既存躯体に接着した。また、吹付け施工に先立ち、使用するPCMの試験練りを行い、練り混ぜ水量を決定した。フレッシュと圧縮強度の試験結果を表-5に示す。今回採用したPCMについては施工実験と同様に、コンクリート用スランプコーンの1/2の寸法のスランプコーンによるミニスランプ試験により管理した。

吹付け施工状況を写真-8に示す。壁厚100mmでシングル配筋であったため、2層に分けて吹き付けた。1層目の吹付け厚さは、鉄筋を覆う厚さの約70mm、2層目は仕上げ吹きとして厚さ約30mm吹き付けた。

吹付け後、左官仕上げを行い、その後、乾燥を防ぐた

表-3 適用建物の概要と耐震補強概要

| | |
|------------------------------------|------------------------|
| 建物用途 | 病院から集合住宅へ用途変更 |
| 延床面積 | 6219.195m ² |
| 建物規模 | 地上8階、地下1階 (8×3スパン) |
| 構造種別 | 鉄骨鉄筋コンクリート造 |
| 竣工年 | 1981年 |
| <耐震補強概要> | |
| 桁行方向：鉄骨ブレース補強、および耐震スリット | |
| 梁間方向：増設耐震壁補強 | |
| 新設耐震壁11構面、 増打ち壁18構面のうち、本工法適用2構面 | |

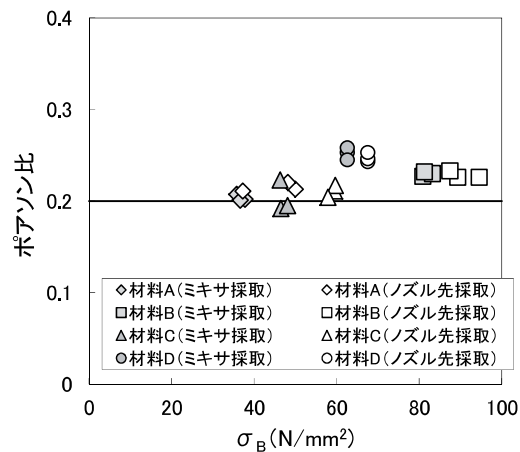


図-6 圧縮強度とポアソン比の関係

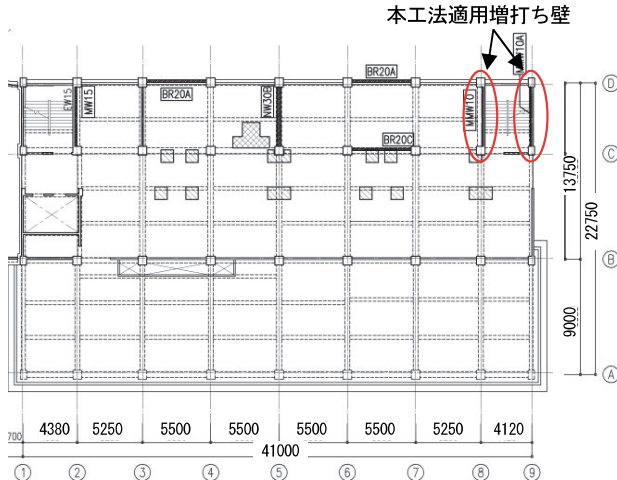


図-7 本工法適用階の平面図



写真-5 接合筋の鋼板への取付け状況

表-4 補強増打ち壁の概要

| | |
|----------|---------------------|
| 設計基準強度 | 36N/mm ² |
| 壁厚 | 100mm |
| 増打ち壁 配筋 | D10@150 シングル |
| 接合筋 | D16@200 シングル |
| PCM吹付け総量 | 2.2m ³ |

表-5 フレッシュと圧縮強度の試験結果

| | 管理値 | 1日目 | 2日目 |
|----------------------------|-------|------|------|
| ミニスランプ (mm) | 15~45 | 33 | 45 |
| 練り上がり温度(°C) | 10~35 | 31 | 28 |
| 圧縮強度* (N/mm ²) | 36 | 50.8 | 50.4 |

*ノズル先採取試料現場封緘材齡28日



写真-6 接合筋付き鋼板の取付け完了状況



写真-7 配筋状況



写真-8 吹付け施工状況



写真-9 仕上げ状況

め、表面のマスキング養生を行った。仕上げ状況を写真-9に示す。

圧縮強度の管理は、ノズル先から採取した吹付け試料による現場封緘の供試体を用い 28 日で実施した。圧縮強度の試験結果を表-5に併せて示す。これにより、管理強度である 36N/mm^2 を上回ることを確認した。

5.まとめ

本工法を実際の建物の補強に適用できることを以下のことから確認した。

- 壁厚方向に層分けする施工方法で、PCM が自重で垂れるのを防止できる
- 吹付け施工した PCM には有害となる空隙は見られず、密実に充填できる
- 吹き付けた PCM のコア供試体の強度は、ノズル先から採取した供試体と同等以上の強度を有しており、ノズル先の強度で管理できる
- PCM のヤング係数はコンクリートに準じ評価でき、ポアソン比は 0.2 として設計できる

6.あとがき

本工法は、その特長から従来の施工が困難な場合においても対応可能であることから、適用場面は増えてくることが予想される。今後も耐震改修促進に貢献していきたい。

【参考文献】

- 1) 例えば、高橋香菜子、Hamood AL-WASHALI、前田匡樹、「2011 年東北地方太平洋沖地震における宮城県内の RC 造校舎の耐震性能と被害傾向の検討と被害事例」、コンクリート工学年次論文集、Vol.34、No2、2012.5
- 2) 日本建築防災協会、「既存鉄筋コンクリート造建築物の耐震改修指針・同解説」、2001
- 3) 岸本 剛、河野政典、山上 聰、服部晃三、平松一夫、「モルタル吹き付けによる既存耐震壁の耐震補強工法の開発」、奥村組技術研究年報 No.39、2013
- 4) 岸本 剛、河野政典、服部晃三、山口敏和、秋竹壮哉、「モルタル吹き付けによる既存耐震壁の耐震補強工法の拡充」、奥村組技術研究年報 No.41、2015
- 5) 日本建築学会、「鉄筋コンクリート計算規準・同解説」、2010

現場添加型の高流動化コンクリートの実用化

— トラックアジテータによる製造実験と 実工事への適用性に関する実機実験 —

Practical Application of Site-Mixed High-Superplasticized Concrete - Mixing Test Using Truck Agitator and Practical Application Test -

河野政典* 横山聰司**

要旨

建設現場において、レディミクストコンクリートを積載したトラックアジテータに、分離抵抗性を有する流動化剤を添加し製造する高流動化コンクリートを実用化するため、トラックアジテータによる製造実験と、実工事への適用性に関する実機実験を行った。その結果、トラックアジテータを用いて安定したフレッシュ性状のコンクリートを製造するための搅拌条件が得られ、実工事への適用に際して必要となるフレッシュ性状が十分維持でき、圧縮強度は流動化前後で同等であることを確認した。本実験結果に基づき、コンクリートに流動性、充填性が求められる部材への本現場添加型の高流動化コンクリートの適用を進めている。

キーワード：現場添加、高流動化コンクリート、トラックアジテータ、流動化剤

1. まえがき

近年、形状が複雑な部材、配筋が密な部材が増えつつあり、コンクリート工事においては、それらに対応すべく、流動性、充填性が高い高流動コンクリートのニーズが高まってきている。高流動コンクリートとしては、JIS A 5308 高強度コンクリート（以下、「JIS 高強度コン」と称す）や、大臣認定高強度コンクリート（以下、「認定コン」と称す）が使用されている。しかし、これらのコンクリートを用いた場合、必要以上に強度が高くなることが多く、さらに、セメント量が多いためひび割れ発生リスクが高まる。また、JIS 高強度コンや、認定コンの製造については、レディミクストコンクリート工場が限定される。これらの問題の解決手段として、建設現場で JIS A 5308 普通コンクリート（以下、「JIS 普通コン」と称す）を積載したトラックアジテータに流動化剤、あるいは、高性能 AE 減水剤を投入し、流動性を高めたコンクリートを製造する方法がある。しかし、これらの混和剤を投入すると流動性が高められる一方、材料分離が懸念されることから、JASS5 では流動化コンクリートのスランプの上限を条件付きで 23cm としている^①。このような背景から、近年、材料分離を抑えるために増粘成分が配合された流動化剤（増粘剤一液タイプ）が開発されている^②。この流動化剤を用いることによって、

全国の現場で、より流動性の高いコンクリートが使用できるようになる。しかしながら、現場添加型の高流動化コンクリートについては、安定したフレッシュ性状を得るためのトラックアジテータによる製造方法の確立が必要であり、また、実現場へ適用するためには、各季節におけるフレッシュコンクリートの経時変化や、圧縮強度への影響を把握する必要がある。

そこで、今回、現場添加型の高流動化コンクリートの実用化を目的として、トラックアジテータによる製造実験と、実工事への適用性に関する実機実験を行った。本報では、その概要および得られた結果について報告する。

2. 高流動化コンクリートの対象範囲と条件

実用化を目指す現場添加型の高流動化コンクリートの流動化前のコンクリート（以下、「ベースコン」と称す）には、調合管理強度 $27\sim45\text{N/mm}^2$ の JIS 普通コンを用いた。

流動化の目標スランプフローについては、JIS 普通コンの規格外となるスランプ 23cm に相当するフロー 45cm を最小とし、50cm、55cm の計 3 点を設定した。一般的な調合設計では、スランプやスランプフローに応じ、ワーカビリティを考慮し、最適な細骨材率を決定する。しかし、流動化後の細骨材率はベースコンと変わらない

*技術研究所 **東日本支社建築工務部

ため、そのスランプフローに対しての最適な細骨材率とそれが生じる。そこで、事前の室内実験により、流動化後のワーカビリティに不具合が生じないベースコンのスランプの条件を検討した。その結果に基づき、目標スランプフローを 55cm とするベースコンのスランプを 21cm、スランプフロー 50cm では 18cm、スランプフロー 45cm では 15cm とした。

一般的に、目標スランプフローが大きいほど、分離抵抗性が小さくなると考えられ、また、JASS5 ではスランプを 21cm とする条件として調合管理強度 33N/mm^2 以上としている。これらを考慮し、ここでは、スランプ 21cm をベースコンとするスランプフロー 55cm については、調合管理強度を 36 N/mm^2 以上とした。また、JASS5 では単位水量を 185kg/m^3 以下としていることから、AE 減水剤を用いたベースコンについては、スランプ 18cm で単位水量が 185kg/m^3 程度となる調合管理強度 33 N/mm^2 までとした。以上の条件をまとめると、表-1 となる。

3. トラックアジテータによる製造実験

3.1 実験概要

a. 実験要因と組合せ

トラックアジテータのドラムミキサの回転、攪拌によって、均一なフレッシュ性状を有する流動化コンクリートの製造条件を検討するため、生コンの積載量、流動化剤の添加方法、攪拌時間、および攪拌速度を実験要因とした。実施した製造実験の組合せの一覧を表-2 に示す。実験は 3 工場で行い、A 工場では夏期、標準期、冬期の 3 期で実施した。実験に用いるコンクリートについては、セメント量が少なく、また、ベースコンのスランプが小さいほど、所定の流動化フローを得るために要する攪拌時間が長くなると考え、ベースコンは調合管理強度 27N/mm^2 、スランプ 15cm の調合とした。なお、実用化の対象範囲の上限とした 45 N/mm^2 、スランプ 21cm の調合についても、確認のため実験水準の一つに加えた。

トラックアジテータの最大回転速度、すなわち高速回転速度について、20 台のトラックアジテータで調査したところ、1 分間あたりの回転数は最小 13.0、最大 20.7、平均 15.6 回であった。そこで今回の実験では、いずれのトラックアジテータでも攪拌ができ、比較的騒音が抑えられる 10 回転/分を標準の回転速度として採用した。

攪拌時間については、「流動化コンクリート施工指針・同解説」(以下、「流動化指針」と称す)を参考に、2 分および 3 分を実験水準としたが³⁾、後述の実験結果に示す通り、積載量 4.0m^3 で 2 分間の攪拌では均一性が得られなかった。そのため 3 分間の攪拌を基本とし、さらに、流動化剤の分散性を高めるため、流動化剤の投入を 2 回に分け、初めに所要の半量を投入し、1 分間攪拌

表-1 高流動化コンクリートの対象範囲と条件

| | 流動化目標スランプフロー | | | | |
|-------------------------------|-------------------------|---------------|-------------------------|---------------|---------------|
| | 45cm | | 50cm | | 55cm |
| 調合管理強度 (N/mm^2) | 27~33 | 36~45 | 27~33 | 36~45 | 36~45 |
| ベース コンの 条件 | AE 減水剤 高性能 AE 減水剤 | 高性能 AE 減水剤 | AE 減水剤 高性能 AE 減水剤 | 高性能 AE 減水剤 | 高性能 AE 減水剤 |
| スランプ (cm) | 15 | | 18 | | 21 |

表-2 製造実験の組合せ一覧

| 工場 | 時期 | 試験内容 | | | | | |
|----|-----|--------------------------|-------------------------|-------------------------|------------------|-----------------|----------------|
| | | ベースコンの 管理強度と 混和料種類 | スランプ →流動化フロー (cm) | 積載量 (m^3) | 流動化 剤投入 方法 | 攪拌 時間 (分) | 回転速度 (回転/分) |
| A | 夏期 | 27N/mm^2 AE | 15→45 | 4 | 一括 | 2 | 10[中速] |
| | | | | 4 | 2分割 | 1+2 | 10[中速] |
| | 標準期 | 27N/mm^2 AE | 15→45 | 4 | 2分割 | 1+2 | 10[中速] |
| | | | | 2 | 一括 | 2 | 15[高速] |
| A | 冬期 | 27N/mm^2 AE | 15→45 | 4 | 2分割 | 1+2 | 10[中速] |
| | | 45N/mm^2 SP | 21→55 | 4 | 2分割 | 1+2 | 10[中速] |
| B | 冬期 | 27N/mm^2 AE | 15→45 | 5 (11.5t 車) | 2分割 | 1+2 | 10[中速] |
| C | 標準期 | 27N/mm^2 AE | 15→45 | 4 | 2分割 | 1+2 | 10[中速] |

*[ベースコン混和剤種類(AE:AE 減水剤, SP:高性能 AE 減水剤)]

表-3 コンクリートの調合と使用材料

| 工場 | 時期 | 管理 強度 (N/mm^2) | スランプ (cm) | W/C (%) | S/A (%) | 単位量(kg/m^3) | | | | Ad Cx% |
|----|-----|---------------------------------|--------------|------------|------------|------------------------|-----|-----|------|-----------|
| | | | | | | W | C | S | G | |
| A | 夏期 | 27 | 15 | 53.7 | 44.5 | 175 | 326 | 792 | 1011 | 1.1 |
| | 標準期 | 27 | 15 | 54.9 | 45.2 | 172 | 314 | 813 | 1009 | 1.0 |
| | 冬期 | 27 | 21 | 39.4 | 46.0 | 172 | 437 | 781 | 936 | 0.9 |
| B | 冬期 | 27 | 15 | 55.0 | 49.0 | 173 | 315 | 878 | 940 | 0.75 |
| C | 標準期 | 27 | 15 | 54.8 | 48.0 | 172 | 314 | 863 | 944 | 1.2 |

【使用材料】

セメント：普通ポルトランドセメント

細骨材：A 工場 山砂(富津産)+碎砂(八戸産)

B 工場 碎砂(皆野産)+碎砂(横瀬産)+山砂(成田産)

C 工場 碎砂(相模原産)+山砂(富津産)+碎砂(横瀬産)

粗骨材：A 工場 2005 石灰岩碎石(八戸産)

B 工場 2010+1505 石灰岩碎石(横瀬産)

C 工場 2005 石灰岩碎石(相模原産)+硬質砂岩碎石(奥多摩産)

混合剤：A 工場 × 社製 AE 減水剤 (管理強度 27N/mm^2)

y 社製 高性能 AE 減水剤 (管理強度 45N/mm^2)

B, C 工場 y 社製 AE 減水剤

流動化剤 y 社製 増粘剤一液タイプ

後、残りの半量を投入し、2 分間攪拌する方法とした。

積載量は 10t 車で、満載に近い 4.0m^3 を基本とした。

なお、近年都心で見られる 11.5t 車についても実験を行い、その場合については満載に近い 5.0m^3 で行った。また、10t 車の実験においては、約半量となる 2.0m^3 の積載条件でも実験を行った。

b. 調合と材料

コンクリートの調合と使用材料を表-3 に示す。流動化剤には増粘剤一液タイプを用い、全ての工場で同一の

ものを使用した。流動化後のフレッシュ管理値を表-4 に示す。ベースコンの空気量はいずれの調合も 4.5% とし、流動化後のコンクリートの空気量も同様とした。

c. 実験方法と試験項目

コンクリートを実機で練り上げ、一般的な現場荷卸し時間として 25 分後を想定し、ベースコンのフレッシュ試験（スランプ、空気量、コンクリート温度）を実施した。荷卸しのフレッシュ性状確認後、表-2 に示す条件で流動化を行った。ドラムミキサ内の均一性を確認するため、流動化後、ドラムミキサからコンクリートを連續排出し、初流、中流、終流のコンクリート試料を採取してフレッシュ試験、および圧縮強度用の供試体を製作した。

均一性の判定について、流動化指針には、トラックアジテータ内のコンクリートのおよそ 1/4 と 3/4 のところから試料を採取してスランプ試験を行った場合、両者のスランプの差が 3cm 以内であることが記されている³⁾。ここで、スランプ管理における管理幅 ±2.5cm に対して、均一性の判定基準 3cm の比は 0.6 である。これを参考に、スランプフローにおける均一性の判定基準は、フローの管理幅 ±7.5cm に対して 0.6 より小さい、約 0.3 となる 5cm 以内とした。すなわち、初流、中流、終流から採取したスランプフロー値を用い、3 つのスランプフローの差が 5cm 以内であれば均一性を有すると判断した。

圧縮試験供試体は標準養生とし、材齢 7、および 28 日に試験を行った。

3.2 実験結果

a. スランプフロー

スランプフローの比較を図-1(1)、(2)に示す。図-1(1)に示すように、A 工場の夏期において実施した搅拌時間 2 分の結果では、スランプフローの測定値の差が 5cm を超える結果となった。しかし、搅拌時間 3 分とした場合、測定値の差が 5cm 以内であったため、均一性を有すると判断した。

標準期において実施した高速搅拌（15 回転/分）の実験では、中速と回転数が同一となる 2 分間の搅拌で均一性が得られる。また、積載量を半量とした 2.0m³ の実験においては、中速 2 分の搅拌で均一性が得られる。さらに、調合管理強度の上限とした 45N/mm² においても、中速 3 分の搅拌で均一性が得られることを確認した。

図-1(2)に示すように、B 工場で実施した 5.0m³ 積載でも、4.0m³ 積載と同一搅拌条件で均一性が得られるることを確認した。

実験結果から、通期にわたり、均一性が確保される搅拌の条件を表-5 に示す。

b. 圧縮強度

圧縮強度の比較の一例を図-2 に示す。ベースコンクリート、流動化後の初流、中流、終流の圧縮強度はいずれの条件においても、ほぼ同じであった。さらに、フ

表-4 スランプフローと空気量の管理幅

| | | 管理幅 |
|---------------|---------|---------------------|
| 流動化 コンクリート | スランプフロー | 45±7.5cm 55±10cm |
| | 空気量 | 4.5±1.5% |

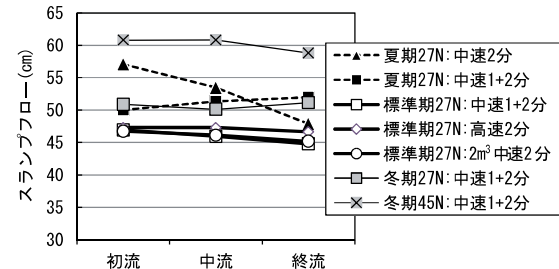


図-1(1) スランプフローの比較[A工場]

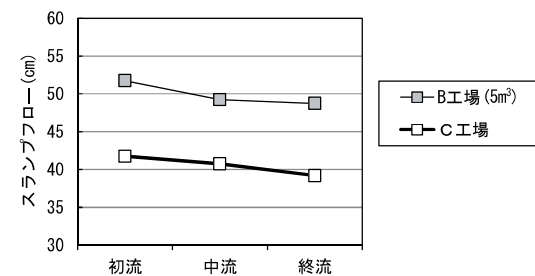


図-1(2) スランプフローの比較[B,C工場]

表-5 搅拌の条件

| | |
|----------|--|
| 回転速度 | 10 回転/分 |
| 搅拌時間 | 1+2 分 |
| 流動化剤投入方法 | 最初に半量、1 分間搅拌後、残り半量を投入 |
| 積載量 | 10t 車では 4.0m ³ まで、11.5 t 車では 5.0m ³ まで |

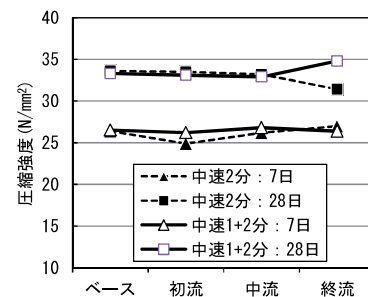


図-2 圧縮強度の一例[A工場夏期]

レッッシュ試験において均一性を満足しなかった A 工場の夏期の搅拌時間 2 分においても、圧縮強度については、初流、中流、終流ともほぼ同じであった。

4. 実工事への適用性に関する実機実験

4.1 実験概要

a. コンクリートの概要

流動化後のフレッシュコンクリートの経時変化、圧縮

強度等への影響について検討した実機実験の一覧を表-6に示す。コンクリートの調合管理強度は、実用化の対象範囲とした $27\sim45\text{N/mm}^2$ 、流動化フローは $45\sim55\text{cm}$ とした。また、製造実験同様、実験は 3 工場で行い、A 工場では 3 期にわたり実施した。

b. 調合と材料

コンクリートの調合を表-7 に示す。使用材料は表-3 と同じである。流動化剤は全ての工場で同一のものとした。経時変化によりスランプフローが管理幅を下回った場合、スランプフローを回復させるため、流動化剤を再添加する。その際は、増粘成分が含まれていない通常の流動化剤を用いることとした。これは、再添加の時点で、既にコンクリートに最初の流動化剤に含まれている増粘成分が混入されているからである。

流動化後のフレッシュ管理値を表-8 に示す。

表-6 実機実験の一覧

| 記号 | 27F45AE | 30F50AE | 33F50AE | 33F50SP | 36F55SP | 45F55SP |
|---------------------------|---------|---------|---------|---------|---------|---------|
| 管理強度 (N/mm^2) | 27 | 30 | 33 | 33 | 36 | 45 |
| 混合剤種類 | AE | AE | AE | SP | SP | SP |
| ベースコンクリート —流動化フロー (cm) | 15→45 | 18→50 | 18→50 | 18→50 | 21→55 | 21→55 |
| A 工場 | 夏期 | ○ | — | ○ | ○ | — |
| | 標準期 | ○ | — | ○ | ○ | — |
| | 冬期 | ○ | — | ○ | ○ | — |
| B 工場 | 冬期 | — | ○ | — | — | ○ |
| C 工場 | 標準期 | — | ○ | — | — | ○ |

*[ベースコンクリート混合剤種類(AE:AE 減水剤、SP 高性能 AE 減水剤)]

表-7 コンクリートの調合と使用材料

| 工場 | 時期 | 記号 | W/C (%) | S/A (%) | 単位量 (kg/m^3) | | | | Ad Cx% |
|----|-----------|---------|---------|---------|-------------------------|-----|-----|-----|-----------|
| | | | | | W | C | S | G | |
| A | 夏期 | 33F50AE | 46.5 | 43.6 | 186 | 400 | 736 | 974 | 1.1 |
| | | 33F50SP | 48.5 | 46.5 | 173 | 357 | 818 | 963 | 1.2 |
| | | 45F55SP | 38.8 | 45.8 | 172 | 444 | 773 | 936 | 1.15 |
| | 標準期 冬期 | 33F50AE | 47.4 | 44.4 | 182 | 384 | 760 | 974 | 1.0 (0.9) |
| | | 33F50SP | 49.4 | 46.8 | 173 | 351 | 826 | 960 | 1.1 (1.0) |
| | | 45F55SP | 39.4 | 46.0 | 172 | 437 | 781 | 936 | 1.0 (0.9) |
| B | 冬期 | 30F50AE | 50.8 | 48.5 | 183 | 360 | 839 | 915 | 0.75 |
| C | 冬期 | 36F55SP | 45.6 | 51.7 | 175 | 384 | 894 | 859 | 0.75 |
| | | 30F50AE | 51.7 | 47.5 | 185 | 358 | 821 | 915 | 1.4 |
| | 標準期 | 36F55SP | 47.4 | 49.6 | 175 | 370 | 866 | 885 | 1.0 |

A 工場 27F45AE は表-3 の通り、Ad() 内は冬期添加率

表-8 スランプフローと空気量の管理幅

| 流動化 コンクリート | スランプフロー | 管理幅 | |
|---------------|---------|-----------------------------|---|
| | | 27F45 : $45\pm7.5\text{cm}$ | 30F50, 33F50 : $50\pm7.5\text{cm}$ |
| | 空気量 | 4.5±1.5% | 36F55 : $55\pm7.5\text{cm}$ 45F55 : $55\pm10\text{cm}$ |

c. 実験方法と試験項目

コンクリートの練り量を 2.0m^3 とし、製造実験と同様に、コンクリートを実機で練り上げ、25 分経過後にベースコンのフレッシュ試験を行い、その後、流動化を行った。流動化の搅拌の条件は表-5 に準じた。

流動化後、スランプフロー、空気量試験に加えて、表-9 に示す材料分離抵抗性に関する試験を練り上がりから 120 分経過まで実施した。

さらに、ベースコンと流動化後の圧縮強度を比較するため、供試体をそれぞれ採取し、標準養生を行って、材齢 7、および 28 日に圧縮強度試験を行った。

4.2 実験結果

a. スランプフロー

夏期におけるスランプフローの経時変化の一例を図-4 (1) に、標準期の一例を図-4 (2) に示す。流動化後の

表-9 材料分離抵抗性に関する試験項目

| 試験項目 | 試験方法 |
|-------------------|---|
| J リング試験 | スランプコーンの周囲に障害物となる直径 300mm のリングに等間隔に $\phi 16$ の鋼棒を 16 個取り付けた治具をセットし(写真-1)、スランプフロー試験の要領でスランプコーンを引き抜いた後、スランプフローの広がり距離を測定。 |
| L 型フロー試験 | 図-3 に示す L 型フロー試験器を用いて流動後のスランプ、フロー(流動距離)を測定。 |
| L 型フロー 粗骨材洗い試験 | フロー後の流動先端部と流動元のコンクリート試料を 3 リッター採取し、粗骨材を洗い出し、水中質量を測定。 |
| 円筒貫入試験 | 内径 $\phi 30$ の筒の周囲に $\phi 7\text{mm}$ の穴が 28 個空いた円筒貫入試験器(写真-2)を、コンクリート試料を詰めた $\phi 150$ 、深さ 300mm の容器に挿入し、10 秒後に引き上げる。流入したモルタルの高さを測定(2 回平均)。 |



写真-1 J リング試験状況 写真-2 円筒貫入試験器

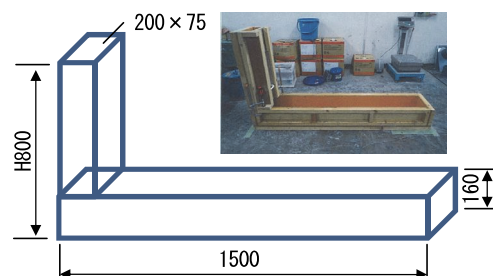


図-3 L 型フロー試験器の形状

スランプフローは、時間経過とともに小さくなる傾向にあった。夏期（外気温 25°C以上）においては、打込み終了までの時間の限度を 90 分と想定した。**図-4(1)**に示すように、A 工場で実施した夏期の 33F50SP では、流動化直後のフローが管理幅の下限近傍であったため、90 分後にフローが管理値を下回ったが、その後、流動化剤の再添加によりフローが回復することを確認した。一方、標準期、および冬期においては、打込み終了までの時間の限度を 120 分と想定した。**図-4(2)**に示すように、A 工場の標準期の実験では、いずれも 120 分までフローが管理範囲内にあったが、流動化剤の再添加によりフローが回復することを一部の調合で確認した。なお、B および C 工場におけるスランプフローの経時変化の傾向については、A 工場と大きな違いはなかった。

一般的な流動化コンクリートにおいては、流動化後のスランプ低下が大きいとされている¹⁾。しかし、今回用いている流動化剤で製造した高流動化コンクリートにおいてはスランプフローの低下はなだらかであり、また、

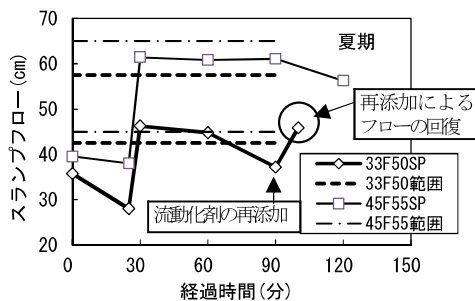


図-4(1) スランプフローの経時変化の一例
[A工場夏期 SP 調合]

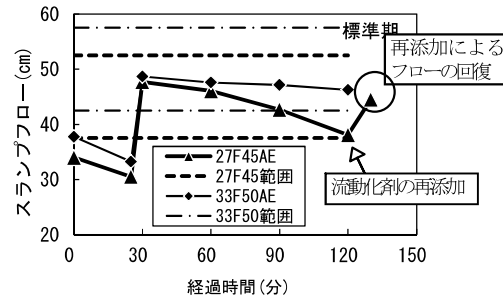


図-4(2) スランプフローの経時変化の一例
[A工場標準期 AE 調合]



写真-3 スランプフローの状態 [夏期 33F50AE]



写真-4 Jリングフローの状態 [夏期 33F50AE]

フローの管理値を下回った場合でも、再添加することでフローの回復が可能であることから、実工事への適用性を十分有するものであった。

なお、A 工場で実施した夏期の 33F50AE では、管理値の上限近傍であったが、**写真-3**に示すように、スランプフローの状態から分離傾向は確認されなかつた。

b. 空気量

流動化前後の空気量の比較を**図-5**に示す。流動化後の空気量の変化は、-0.5～+0.3%の範囲であり大きな変化はなかった。また、再添加においての空気量の変化は、-0.1～+0.5%の範囲で、ベースコンを流動化した場合よりわずかにプラス側であるが、大きな違いはなかった。

c. J リングフロー

J リング試験の結果として、J リングフローとスランプフローとの差の一例を**図-6**に示す。フロー差に変動はみられるものの、その差は多くの場合で-5～0cm の範囲内となり、ASTM C1621/C1621M-14 の判定では「極端なブロッキングは見られない」との評価である。すなわち、間隙性や分離抵抗性については問題のない程度の性能を有していると判断した。

スランプフローの上限値であった A 工場夏期 33F50AE は、**写真-4**に示すように、J リングフローの状態からも分離傾向は確認されなかつた。

d. L型フロー

L型フローの状況を**写真-5**に示す。写真に示すように、いずれの調合においても、流動先端部まで粗骨材は良好に流動し、分離しなかつた。

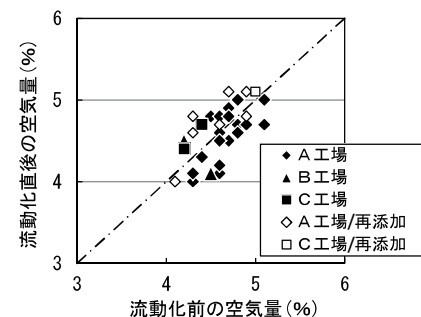


図-5 流動化前後の空気量の比較

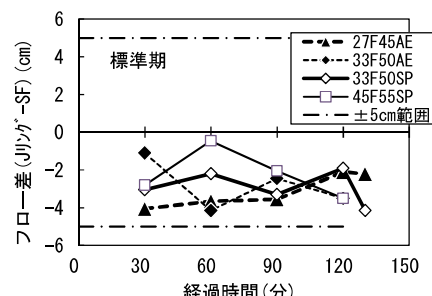


図-6 J リングフローとスランプフローとの差の一例
[A工場標準期]

また、粗骨材洗い試験で測定した流動元の粗骨材水中質量に対する流動先端部の粗骨材質量の比は、いずれも 1.0 以上であり、粗骨材の良好な流動性を示した。

e. 円筒貫入量

A 工場における円筒貫入量とスランプフローの関係を図-7 に示す。スランプフローが大きいほど貫入量が多い傾向にあり、ベースコンクリートに高性能 AE 減水剤 (SP) を使用した調合より、AE 減水剤 (AE) を使用した調合のほうがやや多く、夏期 33F50AE が最も貫入量が多い結果となった。前述のように、夏期 33F50AE はスランプフロー、および J リング試験において分離傾向は見られず、また、L 型フロー試験におけるフロー先端部分にも粗骨材が良好に流動していた。しかしながら、別途実施した現場添加型高流動化コンクリートの施工実験実績において、円筒貫入量が 40mm 程度のコンクリートでは、部材の打込みにおいて粗骨材の沈降は見られなかつたが、60mm を超えたコンクリートでは、粗骨材が沈降する傾向にあった。そのため、円筒貫入による分離抵抗性の指標として、ここでは貫入量の上限を 60mm とした。したがって、夏期 33F50AE については、スランプフローを 50cm 程度までに抑えることが望ましい。

f. 圧縮強度

試験結果の一例として、A 工場における流動化前後の材齢 28 日圧縮強度の比較を図-8 に示す。流動化直後の強度、経時 120 分（流動化後 90 分）までの強度、および再添加後の強度は、ベースコンと同等の強度であった。また、B および C 工場の結果においても同様であった。

5. まとめ

現場添加型の高流動化コンクリートを実用化するため、トラックアジテータでの製造実験と、実工事への適用性の確認として夏期、標準期、冬期の 3 期において実機実験を行った。その結果、安定したフレッシュ性状の高流動化コンクリートが製造できる条件として、流動化剤のドラムミキサへの投入方法、および搅拌方法が得られた。また、その方法で製造したコンクリートについては、打込みに必要となるフレッシュ性状を十分維持することができ、圧縮強度は流動化前後で同等であり、実工事への適用性を有していることを確認した。

6. おわりに

建設現場周辺に、高強度コンクリートの出荷実績を有する工場がない場合、高流動コンクリートの手配が困難となることが多い。そのような地域において、本技術は非常に有効な手段となる。現在、実験結果に基づき、本

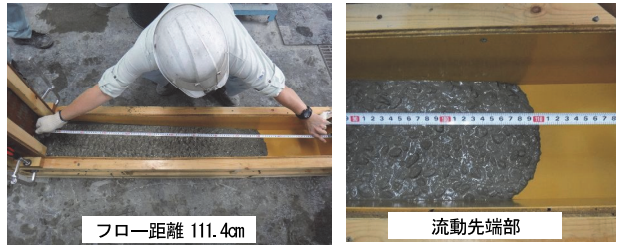


写真-5 L 型フローの状況[A 工場標準期 33F50AE]

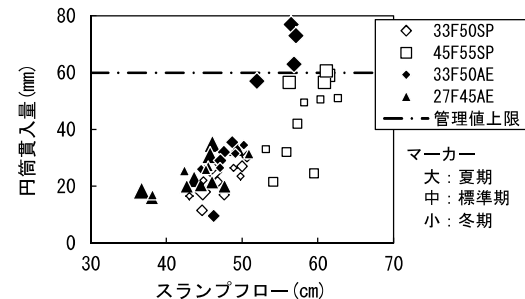


図-7 円筒貫入量とスランプフローの関係[A 工場]

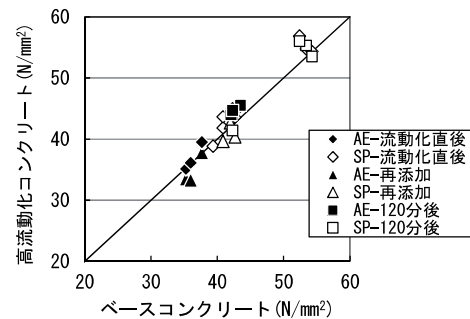


図-8 流動化前後の圧縮強度の比較[A 工場]

現場添加型の高流動化コンクリートを免震下部の基礎コンクリートなどに適用を進めている。また、昨今、増加傾向にある耐震補強工事においても、流動性を有するコンクリートが必要となる場合も多い。今後、そのような工事を含め積極的に適用を進めたい。

なお、本技術については、第三者評価機関より建築技術性能証明を得ていている。

【参考文献】

- 日本建築学会、「建築工事標準仕様書・同解説 JASS5 鉄筋コンクリート工事 2015」、pp.457-466、2015.7
- 齊藤和秀、土谷 正、森本孝敏、「JIS A 6204 コンクリート用化学混和剤の変遷～平成における各種混和剤の技術進歩～」、コンクリート工学、Vol.54、No.52、pp.508-513、2016.5
- 日本建築学会、「流動化コンクリート施工指針・同解説」、pp.85-91、1989.9

立体自動倉庫に適用する制震技術の開発

Passively-Controlled Rack for Automatic Warehouse

舟木秀尊* 舟山勇司** 小山慶樹*

要旨

東北地方太平洋沖地震において、立体自動倉庫のラックから荷物が落下する事例が発生した。ラックから荷物が落下すると、荷物が損傷するだけでなく、自動搬送機の走行を妨害し、物流の停滞を招く恐れがある。ラックの地震対策としては、ブレース等を設置して耐震補強する方法やラックの頂部に動吸振器を設置する事例等がある。しかし、動吸振器を設置する地震対策では、荷物の数や配置によってラックの固有周期が変動すると、制震効果が十分に得られない可能性がある。そこで、本研究では、ラックの荷物の状態が変化しても制震効果への影響を少なくできる地震対策として、一対のラックの片側柱脚に転がり支承と粘性ダンパーを取り付けた制震ラックを開発した。

キーワード：立体自動倉庫、制震ラック、転がり支承、粘性ダンパー、振動台実験、地震応答解析

1. まえがき

東北地方太平洋沖地震において、地震動を受けた立体自動倉庫のラックから荷物が落下する事例が発生した。ラックから荷物が落下すると、荷物が損傷するだけでなく、自動搬送機の走行を妨害し、物流の停滞を招く恐れがある。ラックの地震対策としては、ラックの頂部に動吸振器を設置する事例¹⁾等が報告されているが、荷物の数や配置によってラックの固有周期が変動すると、制震効果が十分に得られない可能性がある。そこで、荷物の状態によって制震効果が左右されることがないように、ラックの長周期化と減衰の付加を同時に実現する制震技術を開発した。

2. 制震ラックの概要

一般的なラック構造を図-1に示す。一対のラックは、自動搬送機の通路を挟んで、荷物の出し入れを行う方向に向かい合っている。製品を置いたパレットは、ラックの柱に設けられた腕木に載せられており、地震によりラックが揺れると滑動して落下することがある。

制震ラックの概念図を図-2に示す。一般的なラックは耐震構造になっており、床に固定されている。それに対し、制震ラックには、頂部で一体化した一対のラックの片方の柱脚に転がり支承とダンパーが取り付けられている。向かい合うラックは、片方の柱脚をローラー支持にすると固有周期が長くなり、地震動との共振を免れることが期待できる。また、あわせてダンパーの変形を増

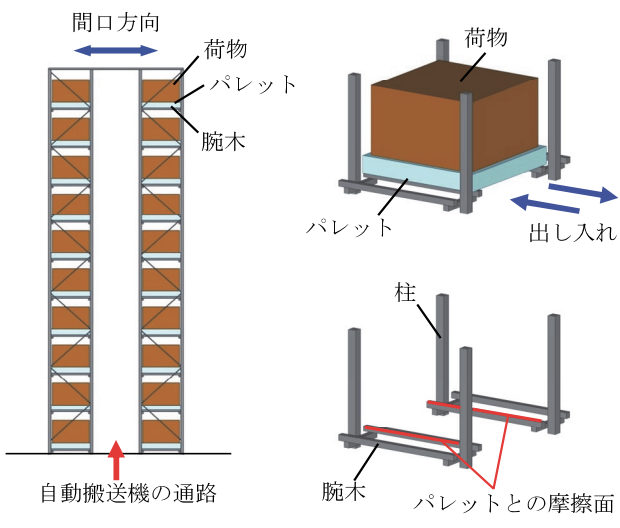


図-1 一般的なラック構造

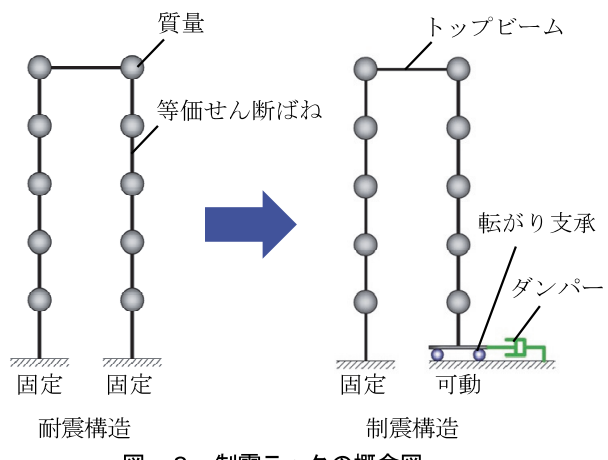


図-2 制震ラックの概念図

*技術研究所 **西日本支社建築設計部

大させることで、大きな減衰効果を発揮する。すなわち、地震が発生すると、転がり支承が取り付けられた柱脚が滑らかに水平移動し、その動きに応じてダンパーが減衰を発揮する仕組みである。地震後、可動側ラックの柱脚は、ラック自身の水平剛性を復元力として元の位置に戻る。実機の制震ユニットの外観を写真-1に示す。

3. 地震応答解析

3.1 解析モデル

荷物の落下を表現するため、荷物の積まれたパレットと腕木の間に摩擦力が作用するモデルで地震応答解析を行った。初めに、実在するラックを対象として代表的な3構面を取り出し、立体モデルを作成した。次に、柱脚を固定したラックの頂部に強制変形を与えて水平剛性を求めた後、設計で適用されている等価せん断ばねモデルを作成した。解析モデルの諸元を表-1に、解析モデルの概要を図-3に示す。パレットは腕木に載せられており、接触面でのすべりを考慮するため、静止摩擦係数を $\mu = 0.3$ 、動摩擦係数を $\mu = 0.2$ とした²⁾。また、パレットと腕木との相対変位がパレットサイズの50%（50cm）に達した場合、荷物の積まれたパレットは落下して解析モデル上の荷物とパレットの質量がなくなるものとした。さらに、トップビームには、部材の軸剛性を表すべきを設定した。

3.2 入力地震動

入力地震動は、気象庁、および防災科学技術研究所の強震観測（K-NET）により得られた表-2に示す3波とした。解析に用いる入力波は、それぞれの地震で得られた水平方向の最大加速度が大きい方向の成分とした。入力加速度レベルは2段階とし、原波とその1/5とした。

3.3 解析結果

地震応答解析から得られた最大応答値の一覧を表-3に示す。制震ラックでは、原波の加速度を1/5にした入力波においてパレットと腕木のずれは極めて小さく、原波を入力した場合でも落下することはなかった。一方、非制震ラックでは、原波の加速度を1/5にした入力波においてパレットと腕木のずれは最大で8.9cm発生し、原波を入力した場合には50cmに達して落下するものがあった。この結果から、制震ラックは積荷の落下を防止できることを確認した。

表-2 入力地震動

| 地震波 | 観測点 | 計測震度 (震度) | 最大加速度 (方向) |
|--------------------------|-------------|--------------|--------------------------------|
| 1995年1月17日 兵庫県南部地震 | 神戸海洋 気象台 | 6.4 (6強) | 818 cm/s ² (NS) |
| 2004年10月23日 新潟県中越地震 | 小千谷市城内 | 6.3 (6強) | 898 cm/s ² (EW) |
| 2011年3月11日 東北地方太平洋沖地震 | K-NET 白河 | 6.1 (6強) | 1295 cm/s ² (NS) |



写真-1 制震ユニットの外観

表-1 解析モデルの諸元（片側ラックあたり）

| 質点 | 高さ H (m) | 質量 m_f (kg) | 等価剛性 K_f (kN/cm) | パレットと荷物の質量 m_p (kg) |
|----|-------------|------------------|-----------------------|--------------------------|
| 14 | 19.01 | 87.6 | 20.8 | 0.0 |
| 13 | 17.59 | 211.2 | 24.6 | 1050.0 |
| 12 | 16.32 | 120.9 | 27.8 | 1050.0 |
| 11 | 15.20 | 146.5 | 24.8 | 1050.0 |
| 10 | 13.91 | 133.8 | 25.0 | 1050.0 |
| 9 | 12.46 | 219.1 | 23.8 | 1050.0 |
| 8 | 11.01 | 246.7 | 18.3 | 1050.0 |
| 7 | 9.49 | 221.8 | 24.9 | 1050.0 |
| 6 | 8.04 | 248.8 | 35.8 | 1050.0 |
| 5 | 6.52 | 221.8 | 41.0 | 1050.0 |
| 4 | 5.07 | 248.8 | 49.8 | 1050.0 |
| 3 | 3.55 | 203.5 | 73.3 | 1050.0 |
| 2 | 2.10 | 235.6 | 126.9 | 1050.0 |
| 1 | 0.58 | 104.7 | 239.3 | 1050.0 |

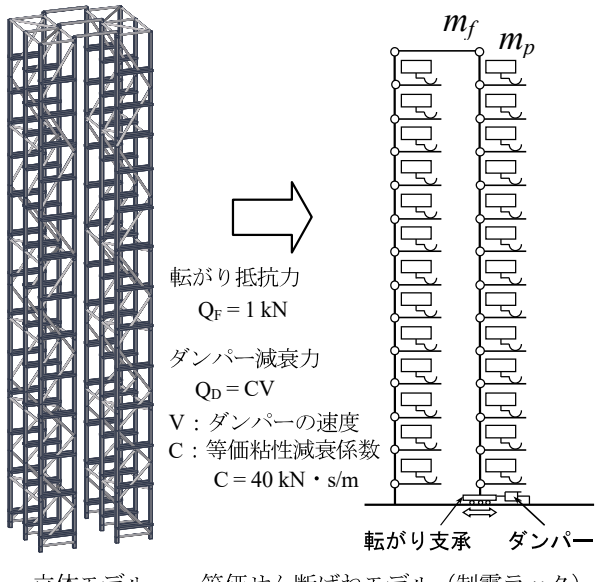


図-3 解析モデルの概要

表-3 最大応答値の一覧

| | 原波の1/5 | | 原波 | |
|-----------|-----------|---------|-----------|---------|
| | 制震 | 非制震 | 制震 | 非制震 |
| パレットずれ量 | 0.3 cm | 8.9 cm | 44.4 cm | 落下 |
| 柱の最大せん断力 | 17.8 kN | 26.9 kN | 47.2 kN | 51.6 kN |
| 制震ユニット変位 | 5.0 cm | — | 16.3 cm | — |
| 制震ユニット速度 | 25.8 cm/s | — | 77.7 cm/s | — |
| 制震ユニット抵抗力 | 10.3 kN | — | 31.1 kN | — |

4. 振動台実験

4.1 制震ラックモデル

制震ラックの性能を確認するため、振動台実験を行った。振動台実験の状況を写真-2に示す。また、ラックの形状と計測点を図-4に、部材リストを表-4に示す。実験に用いたラックは、一般的なラックに使用されている材料を用いて製作されており、高さ10段、奥行き方向4連のラックが荷物の搬入スペースを挟んで一対の構造となっている。ラックは、計80個の荷物を収納できる腕木を有しており、積載物として100kg/個の鉄板を固定した。

実験では、制震ユニットを組み込んだ制震ラックと、転がり支承を治具で固定した非制震ラックの2種類の実験が行えるラックを製作した。制震ユニットには、5基の転がり支承と粘性ダンパーが取り付けられている。転がり支承の摩擦係数は、納品時の検査から0.006である。粘性ダンパーは、転がり支承の直線的な動きを回転運動に変換し、減衰力を発揮する。粘性ダンパーの減衰特性(1基あたり)を図-5に示す。なお、ダンパーなしの制震ラックの実験も行うため、個々の粘性ダンパーは脱着式とした。計測項目は、振動台と一対のラック(1、6、10段目)の応答加速度、および制震ユニットの応答変位とした。

4.2 加振ケース

入力地震動は、気象庁、および防災科学技術研究所の強震観測により得られた観測波を採用した。加振ケース

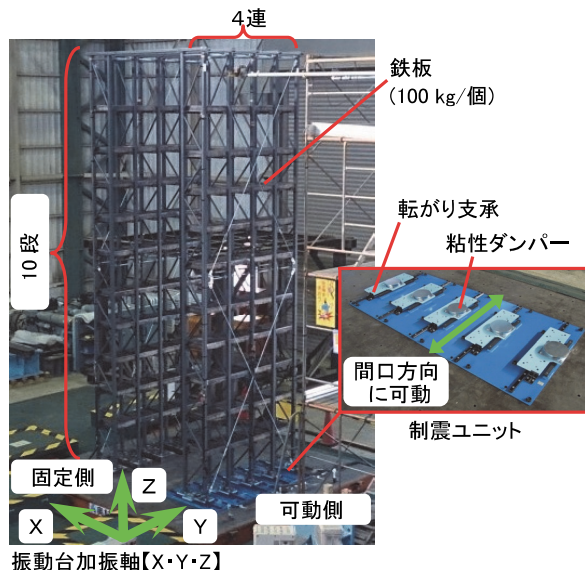


写真-2 振動台実験の状況

表-4 部材リスト

| 部材 | サイズ(mm) | 材質 |
|--------|----------------|---------|
| 柱 | □-50×50×2.3 | STKR400 |
| 腕木 | L-30×30×3 | SS400 |
| トップビーム | C-75×45×15×2.3 | SSC400 |
| ラチス | φ-27.2×2.3 | STKR400 |
| 軸プレース | M10 | SS400 |

を表-5に示す。ラックの制震されている間口方向(X軸)の1方向を基本とし、直交方向(Y軸)や鉛直方向(Z軸)を加えた実験も行った。地震波の入力レベルは、加速度を100cm/s²から段階的に大きくし、非制震ラックではラックが弹性範囲に収まるレベルまで、制震ラックでは原波(白河波1295cm/s²)、もしくは原波を再現できない地震波に対しては振動台で加振できる最大レベル(神戸波500cm/s²、エルセントロ波550cm/s²)を上限とした。また、ラックの振動特性を確認するためにランダム波(0.02秒～5.00秒)の実験を行った。

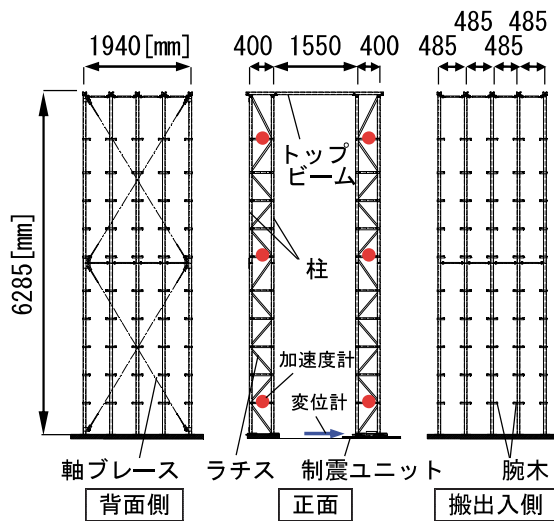


図-4 ラックの形状と計測点

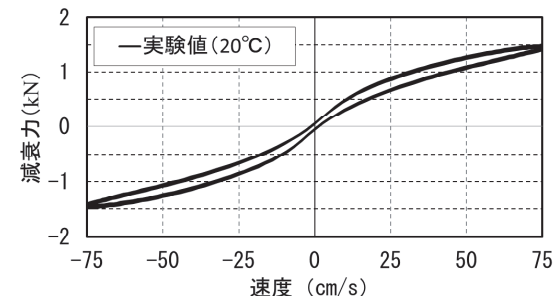


図-5 粘性ダンパーの減衰特性(1基あたり)

表-5 加振ケース

| 入力波 | 加振方向【振動台軸】 | 最大加速度【振動台軸】(cm/s ²) |
|---------------------------------------|---------------|---------------------------------|
| ランダム波(0.2Hz～50Hz) | 【X】,【Y】,【Z】 | 200【X】,【Y】,【Z】 |
| 1995年1月17日 兵庫県南部地震 (神戸海洋気象台) | NS【X】 | 100,200,300,400,500【X】 |
| | NS・EW【XY】 | 200【X】・151【Y】 |
| | NS・UD【XZ】 | 200【X】・81【Z】 |
| | NS・EW・UD【XYZ】 | 200【X】・151【Y】・81【Z】 |
| 1940年5月18日 インペリアルパレー地震 (エルセントロ) | NS【X】 | 100,200,342,550【X】 |
| | NS・UD【XZ】 | 550【X】・331【Z】 |
| 2011年3月11日 東北地方太平洋沖地震 (K-NET白河) | NS【X】 | 200,400,800,1295【X】 |
| | NS・EW【XY】 | 400【X】・293【Y】 |
| | NS・UD【XZ】 | 400【X】・136【Z】 |
| | NS・EW・UD【XYZ】 | 400【X】・293【Y】・136【Z】 |

※下線部は制震ラックのみ実施した加振ケース

4.3 振動特性

制震ラックと非制震ラックの振動特性について、ランダム波 $200\text{cm}/\text{s}^2$ 加振時の振動台入力に対するラック最上段（10段目）のフーリエスペクトル比を図-6に示す。一对のラックの1次固有周期は、柱脚の固定された非制震ラックでは0.39秒であるのに対して、片方の柱脚が水平移動する制震ラック（ダンパーなし）では0.94秒となった。また、制震ユニットに粘性ダンパーを取り付けると、制震ラック（ダンパーあり）の1次モードは非制震ラックの卓越周期と一致し、各振動モードの応答は減衰効果により低減された。

4.4 制震ラックと非制震ラックの応答比較

入力加速度を段階的に大きくした実験において、ラック最上段における最大応答加速度を図-7に示す。非制震ラックの入力加速度は、ラックが塑性域に達しないように $400\text{ cm}/\text{s}^2$ を上限とした。実験値を比較すると、制震ラックの応答加速度は、地震波や加振レベルによらず、非制震ラックと比べて約1/2程度に低減されている。また、非制震ラックの応答加速度は、制震ラックに比べてばらつく傾向があった。これは、非制震ラックの減衰が小さく、地震波の特性が応答に表れやすいためである。一方、制震ラックは地震波の特性によって応答がばらつかず、制震効果が安定している。次に、神戸海洋気象台の観測波（NS成分、 $200\text{cm}/\text{s}^2$ ）を入力した実験について、制震ラックと非制震ラックを重ね合わせた時刻歴応答波形を図-8に示す。制震ラックの6段目、10段目の応答加速度には、それぞれ制震効果が表れており、非制震ラックに比べて最大で約1/4程度にまで低減されている。また、制震ユニットの応答変位に着目すると、ラックが振動しても、ラック自身の水平剛性を復元力として、加振後は元の位置に戻っている。この際の収納棚に載せた荷物の落下状況を写真-3に示す。制震ラックが荷物の落下防止に有効であることを確認した。



写真-3 収納棚に載せた荷物の落下状況
(神戸海洋気象台、NS成分、 $200\text{cm}/\text{s}^2$ 加振)

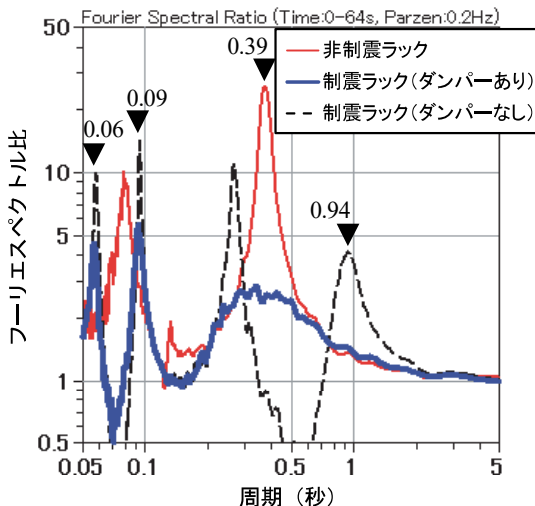


図-6 フーリエスペクトル比 (ランダム波 $200\text{cm}/\text{s}^2$)

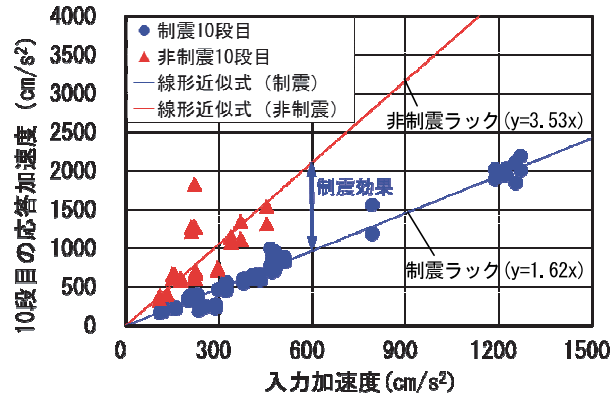


図-7 制震ラックと非制震ラックの最大応答加速度

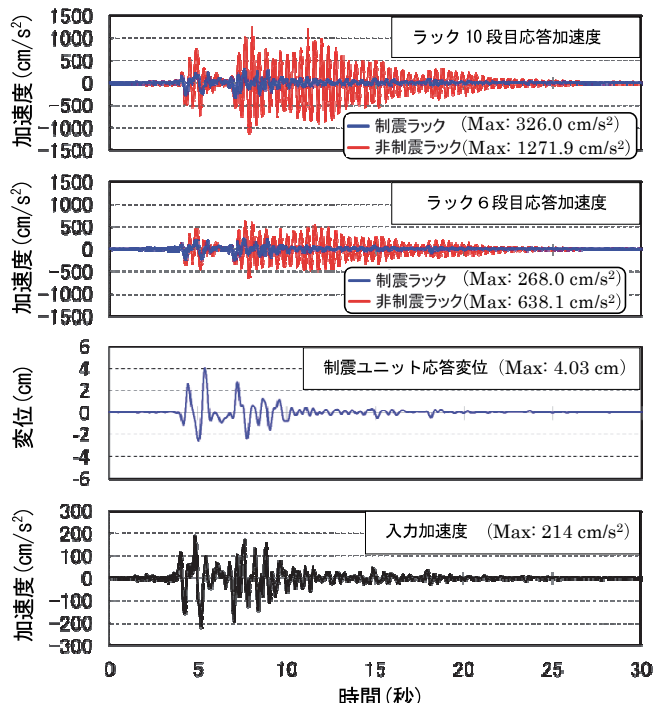


図-8 制震ラック・非制震ラックの時刻歴応答波形
(神戸海洋気象台、NS成分、 $200\text{cm}/\text{s}^2$ 加振)

4.5 2 方向、および 3 方向加振の影響

制震されている方向 (X 軸) の 1 方向加振に対して、直交方向や鉛直方向を同時に入力する 2 方向加振 (XY 軸)、および 3 方向加振 (XYZ 軸) が、制震されている間口方向の応答に与える影響を把握するための実験を行った。制震ラックについて、加振方向の違いによる間口方向の応答を比較したものを図-9 に示す。非制震ラックにおいて入力加速度レベルが最も大きい東北地方太平洋沖地震の白河波を NS 成分 400cm/s^2 の最大加速度に合わせて基準化した入力波 (EW 成分 293cm/s^2 、UD 成分 136cm/s^2) である。加振方向の違いによる間口方向の制震効果への影響はほとんど見られず、いずれも非制震ラックに比べて応答を低減している。また、他の地震波においても同様の結果であった。これは、転がり支承には直交や上下からの負荷を受けても摩擦抵抗が極めて小さい直動システムが採用されているため、2 方向や 3 方向の加震でラックが振られても、1 方向加振の時と同様に制震効果が発揮されたからである。

4.6 積載物の配置パターンの影響

立体自動倉庫のラックに収容される積載物は、時々刻々と搬出入を繰り返すことから、ラックの振動特性は常に変化することが予想される。実験に用いたラックの積載物の配置パターンと固有周期の関係を表-6 に示す。片側ローラー支承はダンパーなしの制震ラックであり、

柱脚固定は非制震ラックをモデル化したものである。各モデルの 1 次から 3 次までの固有周期 (T1、T2、T3) は、柱脚固定よりも片側ローラー支承が長くなるが、その変化は一定でない。CASE2 の配置は、可動側の積載量に着目したモデルである。可動側に積載物のない CASE1 の 1 次固有周期は、柱脚固定の 0.31 秒に対して片側ローラー支承が 0.45 秒であり、積載物がすべてに配置された CASE1 に比べて固有周期の変化は小さい。固有周期をより長くして地震動との共振を免れるためには、CASE2 は不利なケースである。CASE3 は荷棚の上半分に積載物があり、制震ラックとしての 1 次固有周期が CASE1 と CASE2 の間に位置する配置パターンである。

次に、制震ラック (ダンパーあり) について、積載物の配置が制震効果に及ぼす影響を確認する実験を行った。積載物の配置は、腕木に設置する鉄板を①全ての棚に設置 (CASE1)、②固定側にのみ設置 (CASE2)、③上半分に設置 (CASE3) とした。入力波は、各観測波 (神戸海洋気象台、エルセントロ、白河) の 1 方向加振とし、加速度は非制震ラックの実験で最大加速度が最も大きくなる入力加速度レベルとした。積載物の配置パターンと応答低減率を図-10 に示す。制震ラック最上段の応答加速度は、積載物の配置によってラックの振動特性が変化しても、地震動と共振させずに減衰を付加した効果によって入力波によらず 1/2 程度に低減された。

表-6 積載物の配置パターンと固有周期

| | | 固有周期(秒) | | |
|------------|------------------|--------------|--------------|--------------|
| | | CASE1 | CASE2 | CASE3 |
| Mass Model | 片側 ローラー 支承 | 固定 ローラー支承 | 固定 ローラー支承 | 固定 ローラー支承 |
| | | T1 0.95 | 0.45 | 0.70 |
| | | T2 0.30 | 0.21 | 0.24 |
| | 柱脚固定 | T3 0.19 | 0.13 | 0.13 |
| | | T1 0.38 | 0.31 | 0.36 |
| | | T2 0.23 | 0.14 | 0.21 |
| | T3 0.14 | 0.09 | 0.11 | |

※ は、収納棚に積載していることを示す

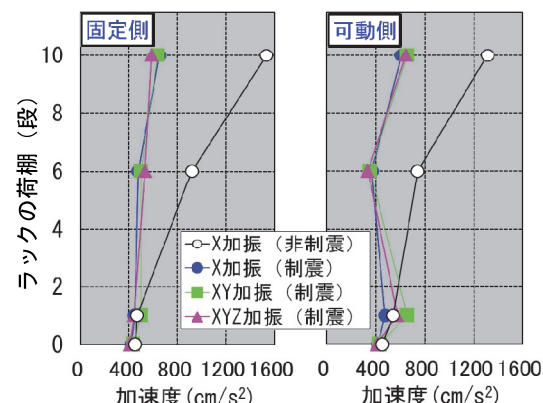


図-9 加振方向の違いによる間口方向の応答比較
(K-NET 白河、NS 400cm/s^2 、EW 293cm/s^2 、UD 136cm/s^2)

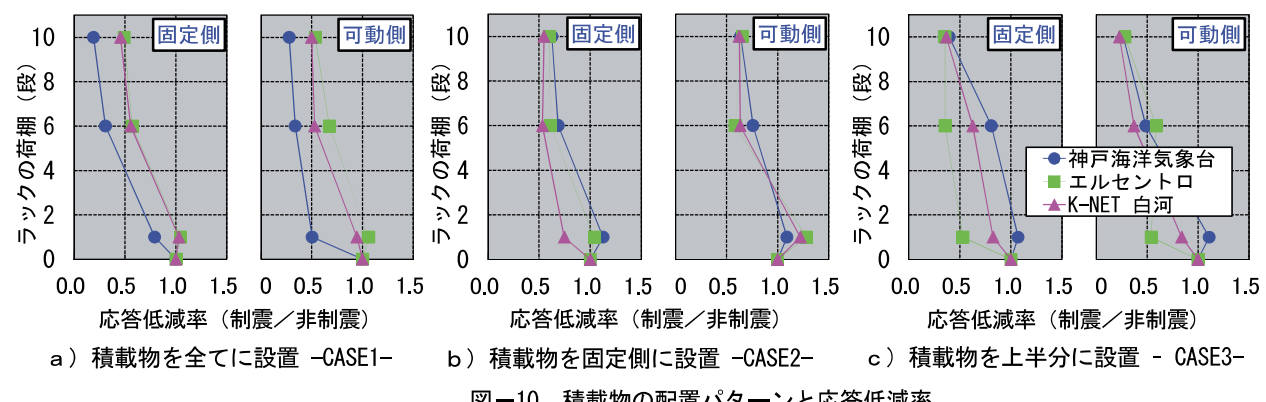


図-10 積載物の配置パターンと応答低減率

5. シミュレーション

制震ラックの振動台実験を対象としてシミュレーションを行った。解析モデルを図-11 に、解析モデルの諸元を表-7 に示す。これは、すべての収納棚に積載物を設置している実験ケースを対象とした。柱脚を固定した立体モデルの頂部に強制変位を与えて水平剛性を求めた後、ラック自身と積載物の質量を足し合わせて腕木の位置に集中させた 22 質点の等価せん断ばねモデルを作成した。なお、一対のラックの片側柱脚に配置する粘性ダンパーの減衰力は、単体試験を踏まえて図-12 に示すように速度依存型モデルとした。また、転がり支承の転がり抵抗は、直交や上下からの負荷による影響は無視できるものと考え、ラック片側の全質量と転がり支承の摩擦係数 0.006 から 0.25kN と仮定した。地震応答解析と実験データを比較したものを図-13 に示す。エルセントロ波 (NS 成分、 550cm/s^2) を入力波とするシミュレーションの結果は、実験結果のラック 10 段目と 6 段目の応答加速度および制震ユニットの応答変位を概ね再現している。

6.まとめ

ラックの間口方向を対象とした制震ラックについて、振動台実験と地震応答解析を行い、立体自動倉庫に適用できることを実証した。主な結果を以下に示す。

- 一对のラックの片側柱脚に転がり支承と粘性ダンパーを取り付けた制震ラックは、一般的な耐震構造のラックと比較して、地震による荷物の落下を低減できる
- 収容棚の積載物の配置を 3 段階に変化させた実験から、制震ラックは振動特性の変化によらず、ラック最上段の応答加速度を 1/2 程度に低減できる
- シミュレーションの結果は、振動台実験の結果とよく一致しており、解析モデルの妥当性を確認すると共に、ラックの仕様に応じた制震ラックの設計が可能となった

7. あとがき

物流施設や工場におけるラックの高さや積載物は一様ではなく、地震対策の提案にあたっては、それぞれに適した設計が求められる。また、新設ラックだけでなく既存ラックへの適用も考えると、あと施工に適した装置が望まれる。なお、一对のラックの片側脚部に設置する装置は、転がり支承と粘性ダンパー以外の組み合わせも可能である。今後は、合理的かつ効果的な地震対策を提案するために、本技術に適用する制震装置のバリエーション

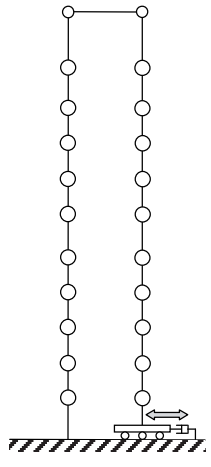


図-11 解析モデル

表-7 解析モデルの諸元
(ラック片側あたり)

| 質点 | 高さ [cm] | 質量 [kg] | 等価剛性 [kN/cm] |
|----|------------|------------|-----------------|
| 11 | 624.0 | 47.0 | 23.8 |
| 10 | 544.0 | 435.1 | 31.8 |
| 9 | 482.5 | 430.3 | 39.5 |
| 8 | 431.0 | 428.3 | 41.6 |
| 7 | 379.5 | 428.3 | 44.5 |
| 6 | 328.0 | 443.2 | 40.8 |
| 5 | 266.0 | 428.2 | 57.0 |
| 4 | 214.5 | 428.3 | 68.2 |
| 3 | 163.0 | 428.3 | 87.3 |
| 2 | 111.5 | 428.3 | 127.6 |
| 1 | 60.0 | 447.0 | 247.7 |

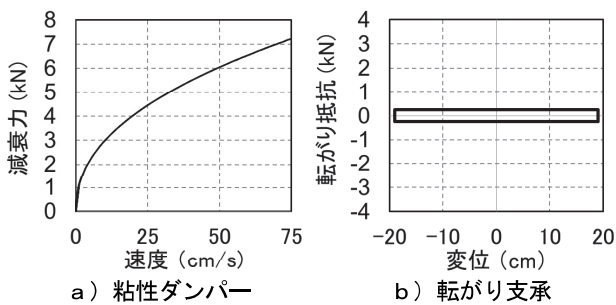


図-12 制震ユニットのモデル化

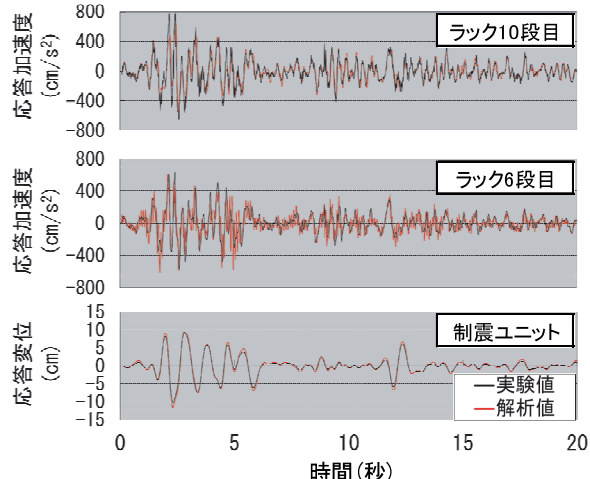


図-13 解析値と実験値の比較

ンを増やすことや、免震という選択肢についても検討していきたい。

また、本研究では、防災科学技術研究所 K-NET、および気象庁の強震記録を使用させていただいた。ここに記して感謝の意を表す。

【参考文献】

- 塚田 乙、出雲洋治、高木政美、青野翔ほか、「自動倉庫ラック制震装置の開発」、日本建築学会大会学術講演梗概集、pp.1019-1026、2013.8
- 小川信行、「可動載荷質量を有する骨組の地震応答」、日本建築学会構造系論文集、第 370 号、pp.28-39、1986.12

免震建物に設置された積層ゴムの経年変化

Aged Deterioration of Natural Rubber Bearing

Installed in the Base-isolated Building

舟木秀尊* 安井健治* 山上 聰* 小山慶樹*

要旨

免震建物の主要構造部材である積層ゴムは、実用化されてから 30 年程度であり、その経年による性能変化を把握するためには長期の追跡調査が必要である。免震構造の実用化にあたっては、積層ゴムの剛性等の経年変化を加熱促進試験によって予測しているが、実建物で確かめた例は少ない。本研究では、経年による積層ゴムの性能変化を考慮した設計法の妥当性を確認するために、1986 年に竣工した免震建物を対象とし、積層ゴムの剛性、減衰、クリープ等の経年変化の追跡調査を実施している。本報告は、そのうちの剛性と減衰の経年変化についての報告である。

キーワード：免震建物、積層ゴム、経年変化、自由振動実験、静的加力実験

1. まえがき

免震建物の主要構造部材である積層ゴムは、建物に適用され始めてから 30 年程度で、その経年変化を知るために長期の追跡調査が必要である。本研究では、積層ゴムの経年変化が設計時に予測した範囲で推移していることを確かめるために、約 30 年前に竣工した免震建物を対象として積層ゴムの剛性、減衰、クリープ等の経年変化の追跡調査^{1), 2)}を実施している。本報告は、そのうちの剛性と減衰の経年変化についての報告である。

2. 対象建物および免震装置

対象となる免震建物は、つくば市内に建設された当社の技術研究所管理棟であり、1986 年 9 月に竣工している。対象建物を写真-1 に示す。免震装置は、天然ゴム



写真-1 対象建物

系積層ゴム 25 基と、鋼棒製ダンパー 12 基を使用している。建物概要と免震装置の諸元を表-1 に、免震装置の配置を図-1 に示す。なお、本建物は、過去にリニューアル工事を実施しているが、免震装置の変更は行っていない。

表-1 建物概要と免震装置

| 項目 | 諸 元 | |
|----------|-----------------------|--------------------------------|
| 構 造 | 鉄筋コンクリート造 4 階 基礎免震 | |
| 高 さ | 15.5m | |
| 建築面積 | 348.18m ² | |
| 延べ床面積 | 1,330.1m ² | |
| 軒 高 | 13.75m | |
| 免震 装置 | 積層ゴム | 天然ゴム系積層ゴム $\phi 500 \times 25$ |
| | ダンパー | 鋼棒製ダンパー $\phi 50 \times 12$ |

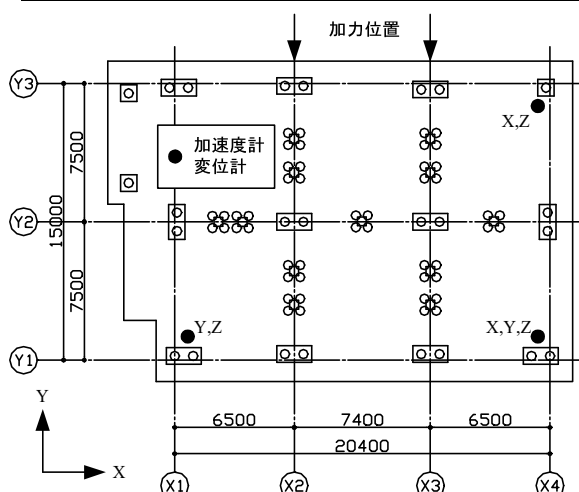


図-1 免震装置の配置

*技術研究所

3. 実験方法

3.1 実験の概要

免震層の鋼棒製ダンパーを取り外し、積層ゴムのみの静的加力実験と自由振動実験を実施した。建物北側に構築された反力体に、2 台の油圧ジャッキを取り付けた載荷装置を設置し、建物を加力した。載荷装置を図-2 に示す。実験に際しては、耐圧盤から各油圧ジャッキ加力点近傍の上部構造に変位計を設置し、耐圧盤と上部構造の相対変位を計測した。竣工時（1986 年 9 月）、19 年目（2005 年 9 月）、30 年目（2016 年 7 月）とも、同じ載荷装置を用いて実施している。載荷装置の設置状況を、写真-2 に示す。追跡調査における実験条件の差異として、試験時の気温、建物重量等が考えられる。しかし、気温については、過去の実施時期が 8 月中旬から 9 月であるのに対し、今回が 7 月中旬であり、大きく異なることはなく、建物重量の変化もほとんどない。

3.2 静的加力実験

静的加力実験は、載荷装置をセットした状態で建物を片押しで加力して、油圧ジャッキ 2 台の荷重の合計が 2,500kN に達したところで除荷する方法とした。建物の変位は 100mm（積層ゴムせん断変形率 $\gamma = \text{約 } 100\%$ ）を超えないものとした。静的加力実験では、油圧ジャッキに設置したロードセルにより荷重を、加力点に設置した変位計より建物の変位を、サンプリング周波数 10Hz で収録した。

3.3 自由振動実験

自由振動試験は、載荷装置をセットした状態で、油圧ジャッキにより建物を所定の変位（100mm）とした後、載荷装置の解放ジャッキにより、積層ゴムに導入されたせん断力を瞬時に開放し、上部構造を自由振動させた。自由振動実験では、加力点に設置した変位計より建物の変位を、加力点上部に設置した加速度計より加速度を、サンプリング周波数 100Hz で収録した。

4. 実験結果

4.1 静的加力実験

静的加力実験における荷重と変位の関係を図-3 に示す。実験値の水平剛性は、設計値の 21.1kN に対して、いずれも高くなっている。積層ゴムの剛性の変化が小さい変位 50~70mm の区間で求めた水平剛性は、竣工時の剛性 21.3kN/mm に対して、19 年目と 30 年目の剛性はいずれも 22.0kN/mm となっている。19 年目の剛性が竣工時に比べて 3% 程度高くなっていたのに対し、30 年目の剛性は 19 年目と比べて変化がなかった。

各変位における積層ゴムの剛性変化を評価するため、ゼロから正側ピーク加力時までの変位と荷重の関係を非線形性を考慮して 3 次式に近似し、求まった近似式より

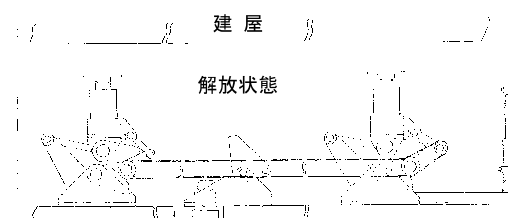
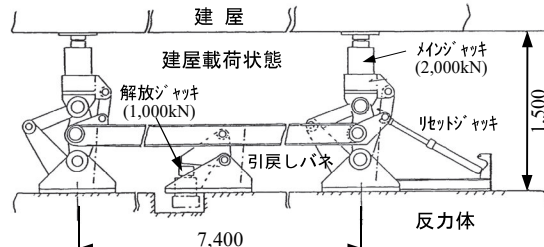


図-2 載荷装置

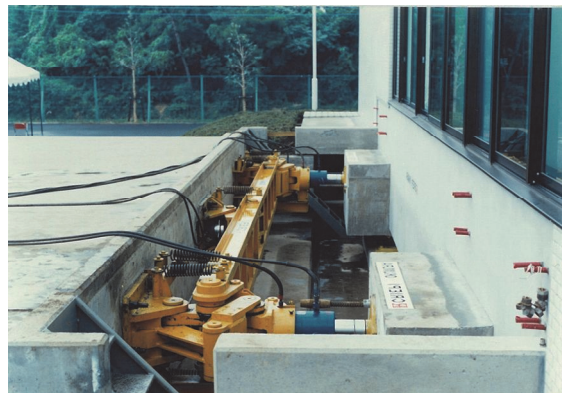


写真-2 載荷状況

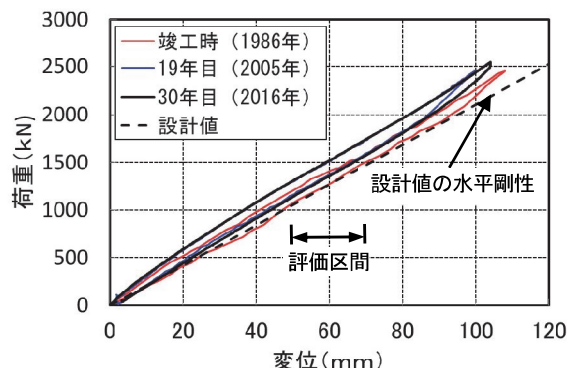


図-3 荷重と変位の関係

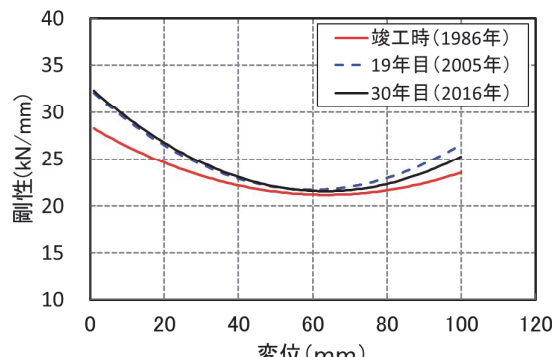


図-4 各変位における積層ゴムの剛性

各変位における接線剛性を求めた。求まった各変位における剛性を図-4に示す。各変位における剛性は、経年により高くなっている。各変位における竣工時と19年目の剛性比、および竣工時と30年目の剛性比を図-5に示す。変位60mm付近の剛性比は小さいが、変位が大きくなるにつれて大きくなる。剛性比を変位0~100mm間で平均すると、19年目において竣工時から6.3%大きくなったのに対して、30年目では竣工時から5.5%大きくなっている。30年目の剛性は、19年目に比べて僅かに小さくなっている。試験方法が異なるため直接比較できるものではないが、竣工後、約10年で実施した別置き積層ゴムの特性確認試験³⁾において、積層ゴムの剛性の変化は、5%以内となっている。

4.2 自由振動実験

自由振動実験における変位の時刻歴波形を図-6に示す。初期変位の影響を除くため、初期サイクルを除く自由振動10回繰り返しに要した時間を評価した。竣工時には18.48秒であったが、19年目では17.83秒となり、3.5%短くなっている。今回30年目では17.67秒となり、竣工時から4.4%短くなっている。

積層ゴムの剛性変化を評価するため、免震建物を1質点の振動系とし、(1)式における積層ゴムの剛性のみが変化したと仮定すると、自由振動10回繰り返し時の積層ゴムの剛性は、19年目では平均して7%程度高く、30年目では9%程度高くなっている。

各変位レベルにおける、積層ゴムの剛性の変化を評価するために、各サイクルにおける周期と振幅を、図-7のように求める。実験結果を用いて、1/2サイクル毎に周期の変化を評価したものを図-8に示す。各振幅(a)における周期(T)は、振幅が小さくなるにつれて周期が短くなる傾向にある。19年目と30年目の各振幅における周期は、ややばらつきが見られるものの、竣工時から概ね4%程度短くなっている。

1/2サイクル毎に全振幅を用いて評価した減衰定数の変化を図-9に示す。変位60mm以上ではh=0.02程度、それ以下では振幅が小さいほど減衰が大きく、変位20mmではh=0.04程度と評価される。竣工時と経年時を比較して、積層ゴムの減衰定数に大きな変化はみられない。

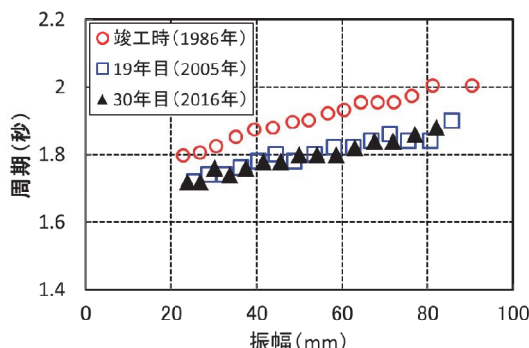


図-8 周期の変化

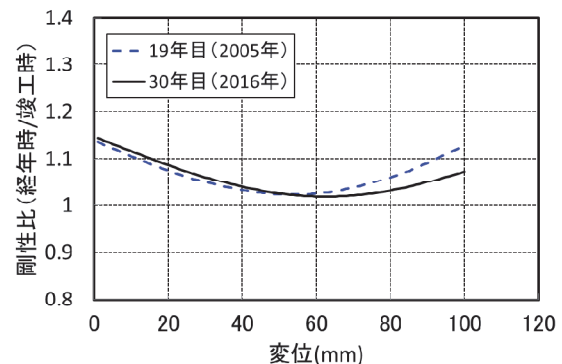


図-5 竣工時と経年時の剛性比

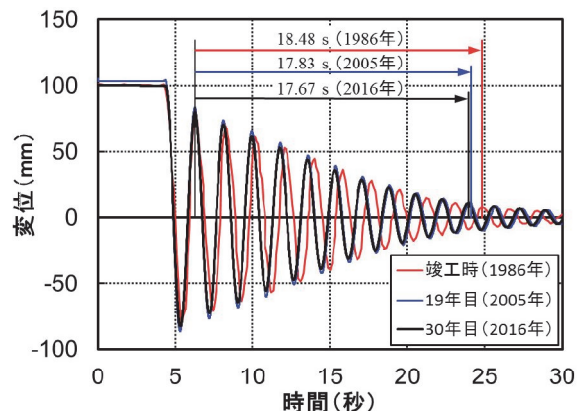


図-6 変位の時刻歴波形（自由振動試験）

$$T = 2\pi \sqrt{\frac{m}{k}} \quad (1)$$

T : 周期、 m : 建物質量、 k : 積層ゴムの剛性

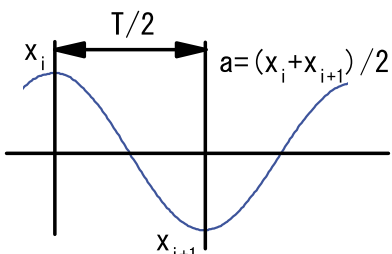


図-7 周期と振幅の評価

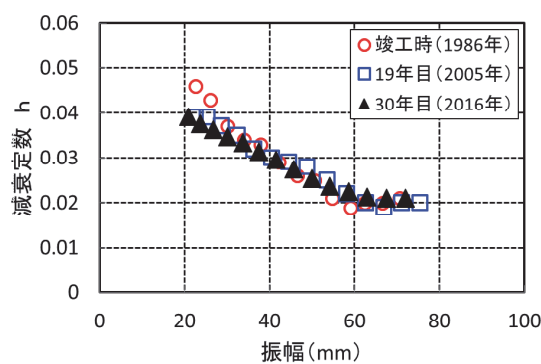


図-9 減衰定数の変化

5. 経年変化の予測値との比較

本免震建物を設計する際、積層ゴムの経年変化による水平剛性等の変化を予測している。積層ゴムの経年変化については、ゴムの化学反応速度理論に基づく加熱促進試験により、その性状を推定している⁴⁾。加熱促進試験は、積層ゴムを 80°C 前後の温度条件で一定期間加熱し、加熱後の特性変化をアレニウスの理論に基づき、加熱期間を常温に換算した期間での特性の変化とみなす方法である。

積層ゴムのようにゴムと鉄板が積層された構造においては、酸素によるゴムの劣化は積層ゴム表面のみで発生し、内部までの酸素の進行はないと考えられる。設計時には、空气中における積層ゴム（φ400）の加熱促進試験と酸素に触れない積層ゴム内部のゴム層を想定した窒素中におけるゴム材料の加熱促進試験を実施している。

竣工時、19 年目、30 年目における自由振動実験から得られた積層ゴムの水平剛性について、竣工時を基準とした 19 年目と 30 年目の剛性変化率を図-10 に示す。自由振動実験の自由振動 10 回繰り返しに要した時間により評価した積層ゴムの水平剛性の変化率は、窒素中促進試験による予測値と良く対応しており、積層ゴム内部を想定したゴム材料が、免震建物に設置された積層ゴムの経年変化の実態を表していると推察される。これにより、積層ゴムの水平剛性の経年変化は、設計時に予測した範囲で推移していることを確認した。

6.まとめ

竣工後、約 30 年経過した免震建物を対象として、積層ゴムの経年による性能変化を調査した。免震層の鋼棒製ダンパーを取り外し、積層ゴムのみの静的加力実験と自由振動実験を実施した。主な結果を以下に示す。

- i. 静的加力実験によれば、変位 0~100mm 間で平均した積層ゴムの水平剛性は、19 年目の調査において竣工時から 7%程度高くなっていたのに対し、30 年目の調査では竣工時から 6%程度高くなっている
- ii. 自由振動実験によれば、自由振動 10 回繰り返しに要した時間から評価した積層ゴムの水平剛性は、19 年目において竣工時から 7%程度高くなっていたのに対し、30 年目では 9%程度高くなっている
- iii. 自由振動実験によれば、積層ゴムの減衰性能は、竣工時と 19 年目、および 30 年目を比較して、大きな変化はなかった

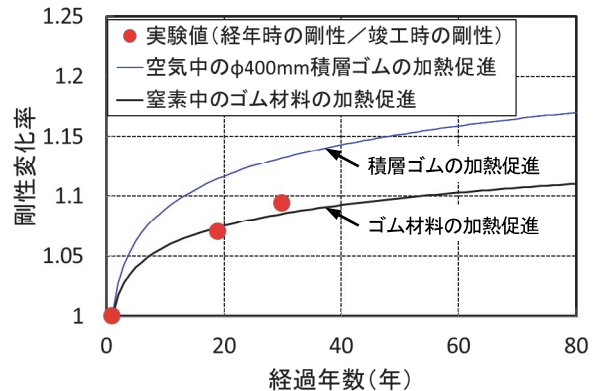


図-10 竣工時に対する経年時の剛性変化率

iv. 自由振動実験より求めた積層ゴムの水平剛性的変化は、窒素中のゴム試験片の加熱促進試験によって評価した予測値と良く対応しており、設計時の想定範囲に収まっている

免震建物における静的加力実験および自由振動実験より、積層ゴムの経年変化を評価することができたのは有意義であった。本建物は、日本で最初に実用化された免震建物であり、今後は積層ゴムだけでなく鋼棒製ダンパーの経年変化についても、引き続き検討を進める予定である。

【参考文献】

- 1) 安井健治、早川邦夫、山上 聰、「免震建物に設置された積層ゴムの経年変化」、日本建築学会大会学術講演梗概集、pp.601-602、2006.7
- 2) 安井健治、早川邦夫、山上 聰、「建物に設置された積層ゴムの経年変化」、奥村組技術研究年報、No.32、2006.7
- 3) 早川邦夫、安井健治、野口 聰、「積層ゴムの経年変化」、日本建築学会大会学術講演梗概集、pp.569-570、1997.9
- 4) 安井健治、早川邦夫、山上 聰、「積層ゴムの経年変化」、奥村組技術研究年報、No.32、2007.7

建築環境シミュレーション技術を活用した ゼロエネルギービルの試設計

Trial Designing of net Zero Energy Building With Environment Simulations

岩下将也 *

要旨

2015 年 12 月に、経済産業省により ZEB の定量的定義が定められたことで、ZEB を設計目標とした具体的な設計検討ができるようになった。ZEB の設計にあたって、建物のエネルギー消費量の予測方法が用意されているが、周辺の建物等によって形成される日影の影響や、省エネルギー技術の導入による室内環境の変化については、汎用的なエネルギー算定プログラムでは評価することができない。本検討では、ZEB の設計精度を高めることを目的とし、市街地の複合ビルをモデルケースにした ZEB の試設計を行った。3D モデルを用いて、建物への日射の到達状況を予測し、太陽光発電パネルの発電量と開口部の熱負荷を算定し、ZEB の評価に必要なエネルギー算定に反映させた。また、選定した省エネルギー技術が、室内環境を満足することを確かめ、ZEB が実現できることを確認した。

キーワード : ZEB、ペリメーターレス、温度分布、照度分布、シミュレーション

1. はじめに

経済産業省がネット・ゼロ・エネルギー・ビル（以下 ZEB）のビジョンを掲げて以降、各企業・団体によって ZEB の実現性が検討されている。2015 年 12 月には、「ZEB のロードマップとりまとめ」¹⁾ が発表され、これまで曖昧であった ZEB の考え方方が具体的に定められた。ここには ZEB の施策上の分類と定量的定義（表-1）が示されており、建物規模等に合わせて設計目標を立てることができる。また、ZEB の実現性が確認できるエネルギーの算定プログラムも整備されて²⁾、具体的な設計検討が可能となっている。

ZEB の実現のためには太陽光発電パネルの発電量や、建物の熱負荷の算定が必要となり、建物への日射の到達状況を詳細に検討する必要がある。しかし、一般的なエネルギー算定プログラムでは、日射の到達状況を考慮した算定をすることができない。また、省エネルギー技術の導入にあたっては、エネルギー消費量の算定だけでなく、その技術が室内環境に与える影響も考慮する必要がある。

本検討では、周辺建物の日影の影響を考慮した太陽光発電パネルの発電量、開口部の熱負荷、および省エネル

表-1 ZEB の施策上の分類と定量的定義¹⁾

| 分類 | 定義 |
|------------|--|
| 『ZEB』 | 再生可能エネルギーを除き、基準一次エネルギー消費量から 50%以上の一次エネルギー消費量削減、かつ再生可能エネルギーを加えて、基準一次エネルギー消費量から 100%以上の一次エネルギー消費量削減 |
| nearly ZEB | 再生可能エネルギーを除き、基準一次エネルギー消費量から 50%以上の一次エネルギー消費量削減、かつ再生可能エネルギーを加えて、基準一次エネルギー消費量から 75%以上 100%未満の次エネルギー消費量削減 |
| ZEB Ready | 再生可能エネルギーを除き、基準一次エネルギー消費量から 50%以上の一次エネルギー消費量削減 |

ギー技術の室内環境に与える影響を評価することを目的とし、市街地の複合ビルを対象とした ZEB の試設計を行った。3D モデルを用いて周辺建物による日影面積を算定し、太陽光発電パネルの発電量、開口部の熱負荷を予測した。エネルギー消費量の算定プログラムにその結果を反映させた。また、選定した省エネルギー技術のもたらす温熱・光環境を解析によって評価し、ZEB の実現性を確認した。

* 技術研究所

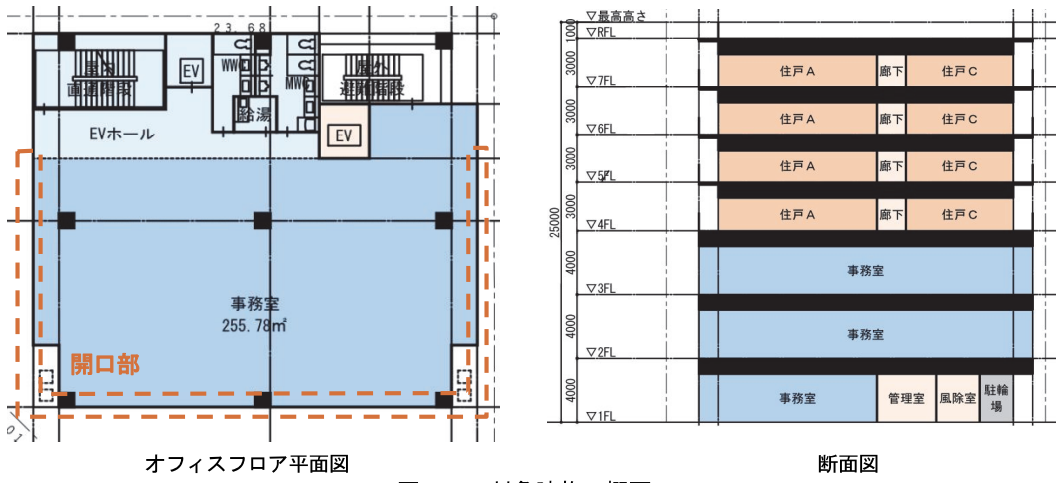


図-1 対象建物の概要

2. 対象建物

対象とする建物は地上 7 階建ての複合ビルで、1~3 階がオフィスフロア、4~7 階がマンションフロアとなっている。建物概要を図-1、採用する省エネルギー技術を表-2、建物の配置図を図-2 に示す。オフィスフロアを ZEB の試設計対象とする。東西南面は、室内の解放感を得る目的から、ガラスの開口部となっている。

ZEB の実現には再生可能エネルギーの供給が必要であることから、屋上に太陽光発電パネルの設置を計画した。

また、建物の西側には高層建物、南側の中層建物があるため、屋上や開口部に到達する日射が部分的に遮られることが想定される。採用する省エネルギー技術のうち、日射の到達に大きく影響を受ける技術（太陽光発電パネルの発電量、開口部の熱負荷）については、日影を考慮した検討が必要である。また、開口部の高性能化、タスクアンビエント照明については、室内環境の設計目標を満足させる必要がある。

これらの検討には、汎用的なエネルギー算定プログラム以外に、日影の到達状況、熱、気流、光のシミュレーションが必要となる。以下では 3D モデルに基づく解析によって、表-2 に示す①②③の項目について検討した。その結果をエネルギー算定プログラムへ反映させ、さらに周辺環境・室内環境を考慮した ZEB の試設計をした。

3. 太陽光発電パネルの発電量推定

建物屋上にはキュービクル・室外機等の設備を除いた全面に太陽光発電パネルを配置している。西側の高層建物が西日をさえぎることで、太陽光発電パネルの一部が日影となり、発電量が少なくなることが想定される。そのため、月別・時刻別のパネルへの日射の到達状況を 3D モデル³⁾によりシミュレーションした。シミュレーション結果を図-3 に示す。周辺建物の日影があるもの

表-2 採用する省エネルギー技術

- | | |
|--------------|-------------|
| ①太陽光発電パネル | ・地中熱利用空調 |
| ②タスクアンビエント照明 | ・昼光利用による省エネ |
| ③開口部の高性能化 | ・トイレの人感センサ |
| ・高効率照明(LED) | ・外壁の高断熱化 |
| ・高効率空調機器 | |



図-2 配置図

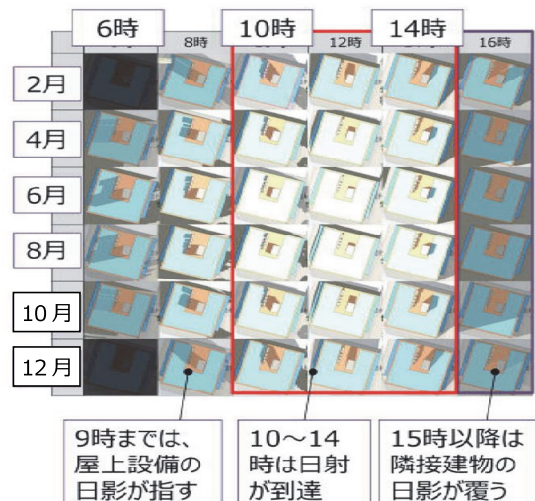


図-3 屋上日射到達面（月別・時刻別）

の 10 時～14 時にかけては、年間を通してほぼ全面に日射が到達していることが確認できる。シミュレーションで得られた時刻別の日射到達面積に、各時刻の平面日射量³⁾を乗じ、JIS C 8907 に規定される方法で年間発電量を推定した。その結果、年間で 34,000kWh の発電が可能である試算を得た。

4. 開口部の熱負荷と快適性

4.1 検討概要

対象建物は、東西南面が全面開口部であるため、建物規模に比して開口部の面積が大きく、外皮からの熱負荷の増大が懸念される。

また、小規模オフィスでは外皮・開口部の近傍まで座席が配置されることが多く、日射の影響で開口部近傍の温熱環境が変化し、執務者の快適性を損なうことが考えられる。熱負荷の低減効果が高く、かつ、開口部近傍でも快適性が確保できるペリメーターレスな開口部が求められる。検討する開口部の対策案は図-4 に示す 3 案とし、開口部近傍の体感温度と熱負荷を熱気流解析によって求めた。

4.2 開口部への日射の到達状況

建物東・南面および建物南・西面への日射の到達状況を図-5 に示す。部分的に日影が形成されるが、周辺建物の隙間から日射が到達していることが分かる。この結果とアメダス気象データ（標準年）をもとに、到達日射量と外気温の年間発生時間分布を、各開口面ごとに作成した。図-6 に建物南面の、日射量と外気温の年間発生時間分布を示す。図中の数字は、日射量と外気温の年間発生時間を示す、例えば 30°C, 600W の環境は年間で 2 時間発生することを示している。

4.3 温熱快適性の解析

夏期および冬期の設計目標を以下のように設定した。夏期においては、日射が到達した際も、開口部近傍の体感の温度上昇が 1°C を超えないこととした。その評価方法として、開口部から 5.0m（インテリアゾーン境界）と開口部から 0.5m（開口部近傍）の体感温度の差を適用した。体感温度には、輻射温度も考慮された作用温度を用いた。

冬期においては、コールドドラフトの影響がないこととし、その評価方法は、ISO7730 に従い、開口部近傍で上下温度差が 3.0°C を超えないことを設計目標とした。それぞれの状況が最も発生しやすいと想定される気象分布を図-6 より 2 点（夏期晴天時、冬期日没時）選定し、各気象状況・各案ごとに熱気流解析をした。解析には株式会社アクリルの熱気流解析ソフト STREAM V12 を使用した。

解析結果を図-7 に示す。夏期晴天時の温熱環境は、基準案で評価値 1.5°C となつたが、対策案 1 で 0.9°C、対

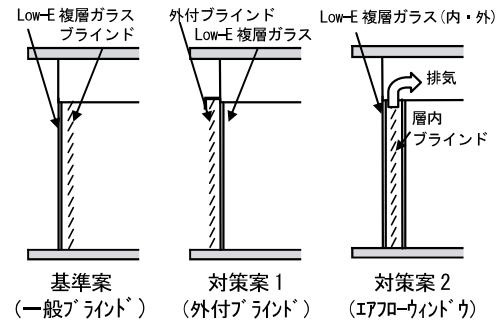


図-4 開口部の各対策案

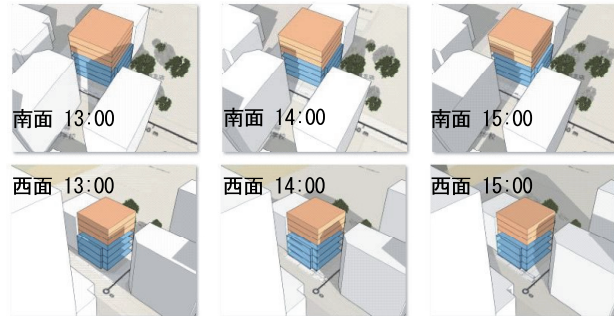


図-5 各壁面への日射到達状況

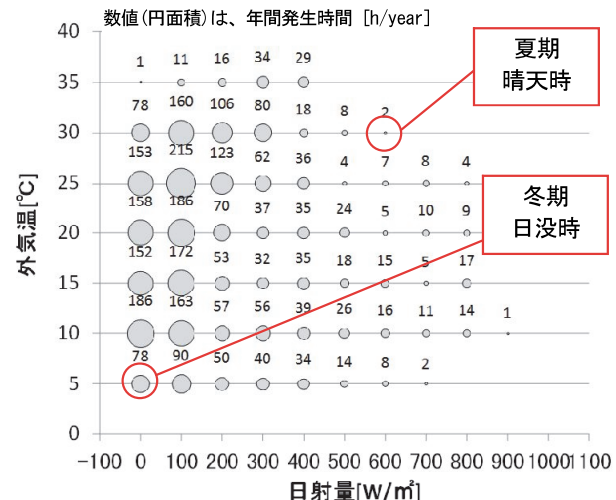


図-6 日射量・外気温年間発生時間分布

策案 2 で 0.6°C にとどまり、2 つの対策案はいずれも設計目標を満たすことがわかった。冬期の解析では、基準案の評価値は 1.3°C、その他で 1°C 程度となり、いずれの案も設計目標を満たした。

4.3 热負荷の算定

快適性の評価の際に得られた熱負荷と、各方位別の温度・日射量分布より、各対策案の年間外皮負荷の削減効果を推定した。図-8 に、南面における推定結果を示す。対策案 1 は基準案に対し、冷房負荷が低減しているものの、暖房負荷は増大している。これは日射によって暖められたブラインドの熱が外で放熱されるため、暖房の補助エネルギーとして使うことができないためである。対策案 2 は、冷房負荷・暖房負荷とも基準案と比較し大きく熱負荷が低減する結果となった。夏期は、各 Low-E

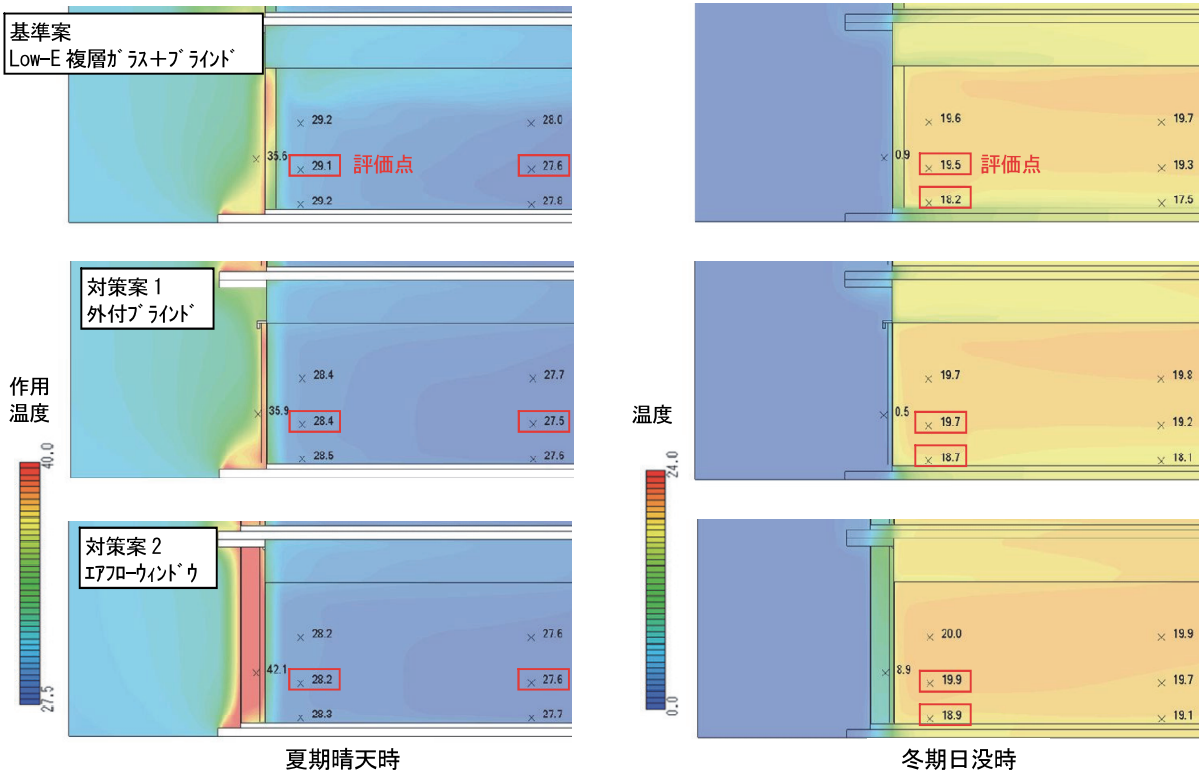


図-7 開口部近傍の温熱環境の解析結果

複層ガラスが日射をさえぎり、かつ、層内で熱伝達を防いでいるため、冬期は断熱性によって、室内の熱が伝熱しないためと考えられる。

各案の快適性と熱負荷の解析結果より、開口部の仕様には対策案2 エアフローウィンドウを採用することとした。

5. タスクアンビエント照明の照度分布と電力量

照明のエネルギー消費量は、建物全体のエネルギー消費量の3~4割を占める。照明設備の省エネルギー対策は、発光効率の高い照明器具を選定することが基本となる。ZEBなどの大きな省エネルギー効果が求められる建物においては、空間内の照度分布の最適化などの設計技術による省エネルギー対策も重要なとなる。

タスクアンビエント照明は、執務空間をタスクエリア（机の配置されているエリア）とアンビエントエリア（それ以外のエリア）に分割し、各エリア別に必要照度を確保することで、照明エネルギーを削減する技術である。対象建物のように執務面積の割合が大きい建物においては大きな省エネルギー効果が期待できる。

一般的なタスクアンビエント照明は、パーテイションと机が一体となりパーテイションにタスクライトが取り付けられる方式、天井からの吊り下げ照明でタスクエリアの照度を確保する方式などがある。これらの方は発光効率の高い製品が少ないことや、机のレイアウトや机そのものの仕様変更が困難である欠点もある。

検討したシステムは発光効率の高い調光タイプの汎用

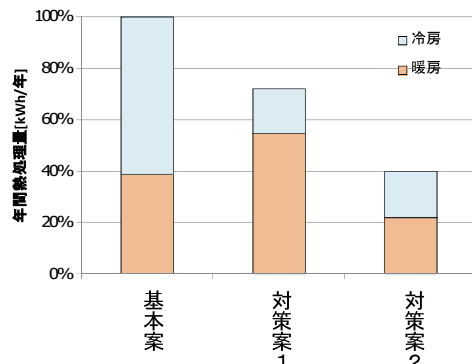


図-8 各対策の年間負荷

的なベース照明と、机上においてタスクライトで各エリアの照度を確保する方式である。ベース照明は全般照明を想定して設計し、器具ごとの調光によってエリア分けをする。ベース照明の調光とタスクライトのON/OFFによって、タスクエリアとアンビエントエリアの照度を調整することができ、机のレイアウト変更にも対応が可能である。目標照度は、タスクアンビエント照明での運用を想定した場合は机上面 750lx、その他床面 300lx、全般照明での運用を想定した場合に机上面 750lxとした。3次元照度分布解析ソフト DiaLux ver 4.0 (DIAL 社) を使い、器具の選定・配置と解析から、設計目標を満たす器具配置を模索した。

照明点灯パターン別の照度分布とエネルギー消費量を図-9、表-3に示す。図-9(a)の机配置のもと、全般照明(図-9(b))とタスクアンビエント照明(図-9(c)、(d))の解析をした。(b)でタスクライトを使わな

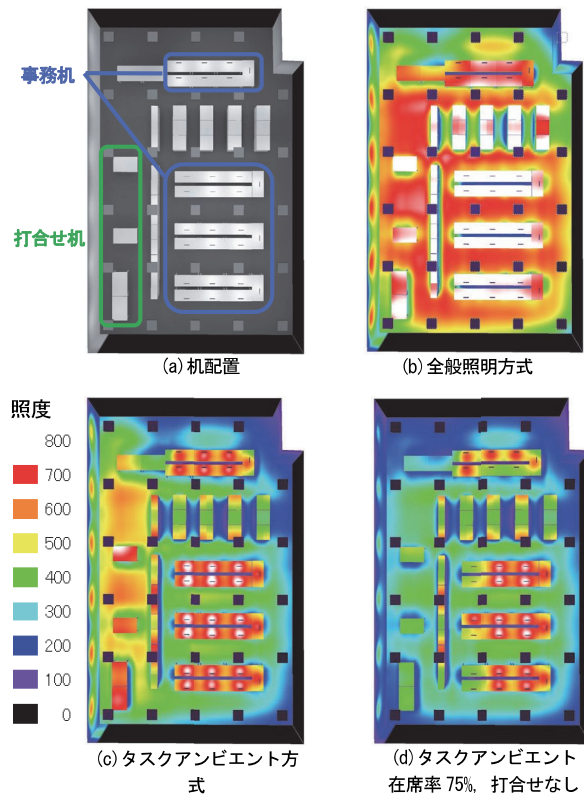


図-9 照明稼働パターンごとの照度分布

表-3 照明稼働パターンごと電力量

| 照明モード | 用途 | 減光率 | 器具数 | 電力 W/台 | 電力 W | 電力 W | 省エネルギー効果 |
|-----------|-----------------|------|-----|--------|-------|-------|----------|
| 全館照明 | アンビエントライト(全29台) | 100% | 29 | 61 | 1769 | | |
| | タスクライト(全28台) | OFF | 28 | 12 | 0 | 1,769 | 0% |
| タスクアンビエント | アンビエントライト(全29台) | 100% | 6 | 61 | 366 | | |
| | タスクライト(全28台) | 50% | 23 | 61 | 701.5 | 1,404 | 21% |
| タスクアンビエント | アンビエントライト(全29台) | 50% | 29 | 61 | 884.5 | | |
| | タスクライト(全28台) | ON | 21 | 12 | 252 | 1,137 | 36% |
| | | | | | | | |
| | | | | | | | |

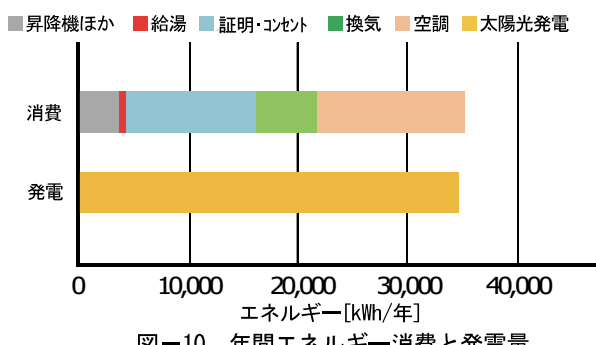


図-10 年間エネルギー消費と発電量

い全般照明方式である。(c)はすべての事務机および打合せ机に照明を点灯させた場合である。(d)は発生頻度の高い状況として在席率 75%で打合せがない場合を想定して一部のタスクライトと、打合せ机上部のベース照明を消灯した場合である。すべての解析の場合で設計目

標を満足知ることを確認した。また、全般照明図-9 (b)と比較してタスクアンビエント照明図-9 (d)は、36%の削減効果が得られることが分かった。

6. 対象建物のZEBの実現性

4、5節の結果および汎用的なエネルギー算定プログラム⁴⁾を利用し、次のように建物全体のエネルギー消費量を算定した。

- i. エアフローウィンドウの熱負荷低減効果は、各方位の開口部の熱負荷を Low-E 複層ガラス+プラインドでモデル化し、4節で計算した外皮負荷の削減率を熱負荷に反映させた
 - ii. タスクアンビエント照明の照明熱負荷を、表-3 および年間の稼働スケジュールから算定した
 - iii. 表-1 に示すその他の省エネルギー技術を、プログラムの標準機能から算定した
- すべての計上した年間エネルギー消費量と、3節の太陽光発パネルの年間発電量を図-10 に示す。年間エネルギー消費量が、年間発電量と同等となっており、設計段階での ZEB が実現できることを確認した。

7.まとめ

小規模オフィスの ZEB の実現性を確認し、以下の知見が得られた。

- i. エアフローウィンドウを適用することで、年間の外皮の熱負荷を半減し、開口部近傍の体感温度を 0.9°C 低減する効果が得られた
- ii. タスクアンビエント照明を適用することで、全般照明と比較して、36%の省エネルギー効果が得られた
- iii. エネルギー消費量の内訳は、空調・換気が最も大きな割合を占めた

今後はより大規模な建物で ZEB が実現できるよう、空調設備の省エネルギー技術について模索する必要がある。

【参考文献】

- 1) 経済産業省「ZEB ロードマップ検討委員会とりまとめ」、2015.12.17
- 2) 国土交通省国土技術政策総合研究所他「一次エネルギー消費量 WEB 算定プログラム」
- 3) 新エネルギー・産業技術総合開発機構「年間月別日射量データベース (Monsola 11)」
- 4) (財)省エネルギーセンター、「業務用ビルのエネルギー原単位管理ツール ESUM ver.5.0」

アクティブ・ノイズ・コントロールの 制御方法に関する研究

—騒音変動に対する追従性能の検討—

A study on Active Noise Control Method - Evaluation of Performance in Tracking Fluctuating Noise -

金澤朗蘭* 安井健治* 柳沼勝夫* 稲留康一*

要旨

実用化した重機騒音対策用アクティブ消音システムには、LMS アルゴリズムを組み込むことで、重機の作業状況に応じて卓越周波数が変動する騒音の低減を可能とした。周波数変動の追従スピードを決定するステップサイズパラメータ μ は、制御システムの安定性を優先し、実験により数値を決定していた。ここで、騒音の周波数変動のスピードに応じた μ を設定することにより、アクティブ消音システムの性能を向上させ、対象の騒音をより低減できる可能性がある。そこで本報では、ステップサイズパラメータ μ と制御による騒音の低減性能の関係を確認した。その結果、騒音の周波数変動に応じた適正な μ の範囲を確認し、安定性と低減効果を向上できた。

キーワード：能動騒音制御、フィードバック制御、フィードフォワード制御、LMS アルゴリズム

1. まえがき

建設現場では、使用する建設機械、特に重機から、低周波数の音を主成分とする騒音が発生する場合が多い。この騒音には、エンジンの回転数に応じて、他の周波数よりも突出して音圧が高い周波数が存在する（以下、卓越周波数と記す）。また屋内において、建設現場で発生する騒音のうち、中高音域の音圧は窓や壁によって大幅に遮断されるため、遮断されない低音域の音圧は住民に対する影響が大きくなる。さらに、低い周波数の音は防音扉や防音壁を設置しても、回折や透過のため、効果的に音圧を低減するのが難しい^{①)}。

これらの重機から発生する低周波数の騒音の対策方法として、アクティブ・ノイズ・コントロール（Active Noise Control、以下 ANC と記す）がある。ANC とは、対象とする騒音と逆位相の音をスピーカから発生させて干渉により騒音を低減させるものであり、重機騒音対策に適用するケースが近年増加しつつある^{②)-⑤)}。著者らは、平成 23 年度に重機騒音用の ANC システムを実用化した^{⑥)-⑦)}。この ANC システムには、重機騒音の卓越周波数を同定するアルゴリズム（LMS アルゴリズム）を組み込んでいる。このため、重機の作業に応じて重機騒音の卓越周波数が変動しても、変動に追従して逆位相

の音を出力する制御が行われる。これまで、クレーン 2 件およびバックホウ 2 件に ANC システムを適用し、9 ~10dB 程度の効果を確認した。

卓越周波数が変動する騒音に対して低減効果を得るには、周波数変動に速やかに対応した逆位相の音を発生させることができると考えられる。ここで、卓越周波数の同定速さは、LMS アルゴリズムにおけるステップサイズパラメータ μ によって決定される。 μ が大きいと同定が速くなるが、卓越周波数を同定する精度が低下し、制御が不安定になる傾向がある。重機騒音用の ANC システムでは、これまで事前に、安定して制御可能な μ を設定し、実際の重機に適用していた。しかし、騒音の変動速さによっては同定精度が不十分な場合があり、 μ の検討によって騒音の低減効果を向上できる可能性がある。

そこで、シミュレーションおよび実験により、騒音の変動速さと μ を変化させたときのシステムの周波数同定速さを確認し、騒音を低減するために適切な μ を検討した。その結果、これまでの実機適用時に設定した μ の妥当性と、効果的な騒音低減の μ の範囲を確認した。

本報告では、まず、提案の制御方法による ANC システムの概要を説明する。続いて、実際に適用した重機の騒音特性、および ANC のシミュレーションを行い、適

* 技術研究所

用効果を示す。次に、その効果を高めるために、 μ の検討を行い、制御効果の向上を確認した。

μ の検討では、実験によりステップサイズパラメータ μ による制御効果の変化を確認し、制御効果が十分に得られる、各ステップサイズパラメータ μ とそれに対応する騒音の変動スピードについて検討した。

2. 実用化したアクティブ消音システム

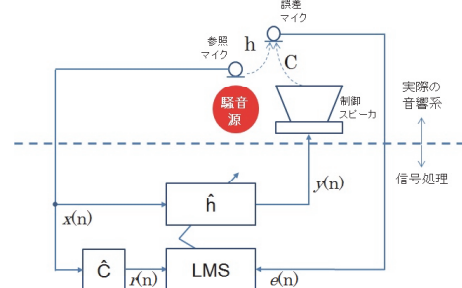
2.1 従来の制御方法との比較

一般的な ANC の制御方法として、図-1(a)に示すようなフィードフォワード型(以下、FF 型と記す)と、図-1(b)に示すようなフィードバック型(以下、FB 型と記す)がある。FF 型は、参照マイクで騒音を観測し、騒音と逆位相の音波を騒音源近傍で干渉させる制御方法である。また、FB 型は、誤差マイクの位置で、騒音と制御スピーカからの音波とが逆位相となるよう制御を行う方法である。図-1 中の h 、 C は、実際の音響系の伝達特性を示す。また \hat{h} 、 \hat{C} はそれぞれの伝達特性を表すフィルタ係数である。

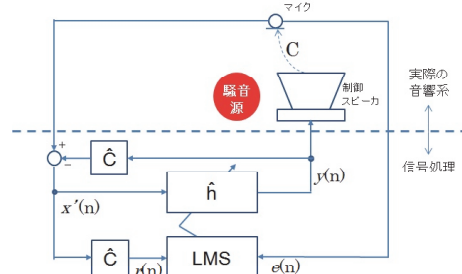
FF 型の制御では、参照信号と誤差信号を観測し、誤差信号が最小となるよう、 \hat{h} フィルタの係数を更新する。フィルタ係数の更新方法として、ANC では一般的な Filtered-X-LMS⁸⁾ の適応アルゴリズムを用いる場合が多い。FB 型も同様に Filtered-X-LMS アルゴリズムを用いるが、参照信号を観測しないため、誤差信号から制御音を差し引いたものを参照信号としている。

図-1 の制御方法には、二次音源である制御スピーカから、音圧の低減位置である誤差マイクまでの伝達関数 C を、制御に取り入れるためにモデル化した \hat{C} が含まれている。アナログの伝達関数 C をデジタルフィルタ \hat{C} にするため、量子化誤差等によるモデル化誤差が生じる。 \hat{C} のモデル化誤差によってシステムが不安定になる可能性があるため、 \hat{C} をもたない ANC システムとして、参照信号用と誤差信号用の 2 本のセンサを用いたシステム⁹⁾ や、誤差信号のみを用いるアルゴリズム¹⁰⁾ など、様々なアルゴリズムが提案されている。

そこで、制御性能の向上を目的として参照信号のみを用いる、 \hat{C} を持たない FF 型の制御方式による ANC システムを提案した。図-2 に、提案する制御方法のブロックダイヤグラムを示す。提案する制御方法は、FF 型の制御方法を基本としている。制御による効果を向上させるため、参照マイクで観測した信号にバンドパスフィルタ (図-2 中の BPF) を適用し、卓越周波数以外は制御対象から外している。さらに、バンドパスフィルタの下限周波数から上限周波数の範囲内において、重機騒音の変動に応じた卓越周波数を、LMS アルゴリズムを用いて同定し、卓越周波数の信号に対し逆位相の信号を生成する。なおバンドパスフィルタは、事前測定し



(a) フィードフォワード型



(b) フィードバック型

図-1 ANC の制御方法

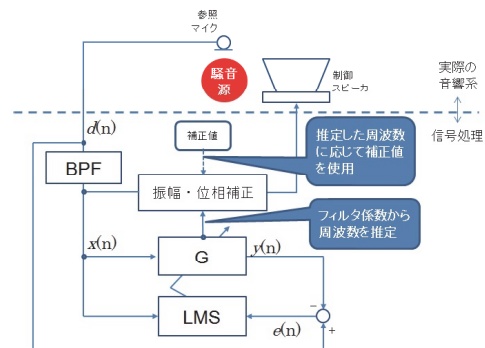


図-2 提案する制御方法

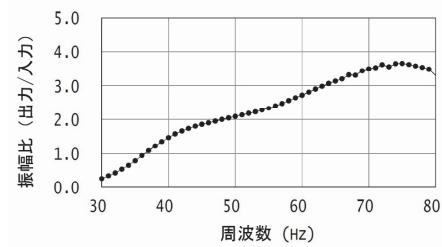


図-3 システム全体の振幅比・位相差の例

た重機騒音の各作業時における卓越周波数が、フィルタの範囲内となるよう下限周波数と上限周波数を決定した。

ANC では、バンドパスフィルタの特性によってシステムの入力/出力の間に振幅および位相の差が生じるが、

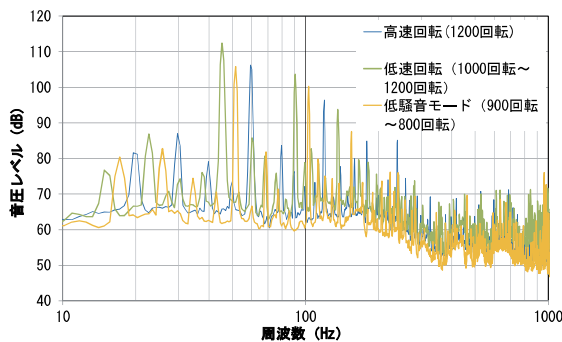


図-4 ANC を適用したラフテレーンクレーン騒音の周波数特性

これらの差は周波数特性をもつ。そこで、まずシステムの振幅比と位相差を測定し、これらの差を解消するための補正值を周波数ごとに算出する。算出した各周波数に対応する補正值のデータはシステムに組み込まれ（図-2 中の振幅・位相補正）、LMS による卓越周波数の同定結果に応じて補正值を取り出して、出力信号に加え、振幅と位相の誤差を解消する。

2.2 振幅比および位相差の補正

まず、バンドパスフィルタ挿入前のシステムにバンドパスフィルタの振幅比と位相差を付加（振幅比：乗算、位相差：加算）することで、システム全体の振幅比と位相差を求める。これをもとに、システムの振幅比が 1、位相差がゼロとなる補正值を算出し、補正值としてシステムに組み込む。

図-3 にシステム全体の振幅比と位相差の例を示す。例では、48Hzにおいて振幅比 2、位相差が -160° であるため、振幅の補正值は $1/2$ 、位相の補正值は 160° となる。

3. 重機騒音の特性と適用による効果

ANC システムの適用状況を写真-1 に示す。また、重機騒音の特性を図-4 および図-5 に示す。図-4 は適用した重機であるラフテレーンクレーンの排気筒近傍での測定結果例、図-5 は適用した重機であるバックホウの排気筒近傍での測定結果例である。2 つの重機騒音はともに状況（作業）によって卓越周波数が変動していた。ラフテレーンクレーンでは、エンジンの回転数に応じて卓越周波数が変動し、約 40~70Hz における音圧レベルが大きい。バックホウではアイドリングからエンジンをふかすと、卓越周波数の音圧レベルが大きくなり、約 30~60Hz の間に卓越周波数が存在した。ラフテレーンクレーンおよびバックホウの、各作業時における騒音とスピーカから放射された逆位相音の音圧振幅を図-6 に示す。スピーカからは騒音の逆位相音が放射されており、干渉によって卓越周波数の音圧を十分に低減できる状態であることを確認した。

図-7 に、各重機における ANC の適用効果を示す。

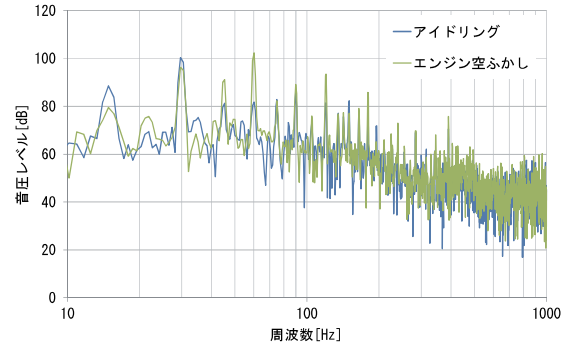


図-5 ANC を適用したバックホウ騒音の周波数特性



左：ラフテレーンクレーン、右：バックホウ

写真-1 機器の設置状況

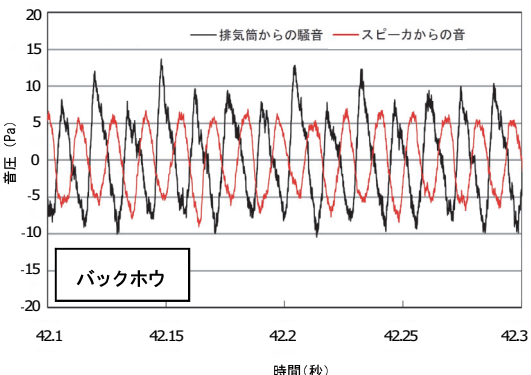
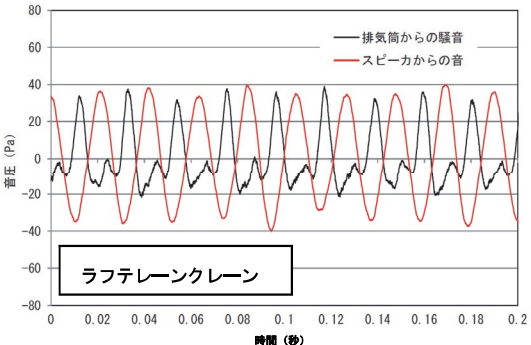


図-6 騒音とスピーカからの音（逆位相音）の音圧振幅

なお、同図は、各重機の後方 5m 地点で測定した 30 秒間の平均音圧レベルである。またこのとき、各重機は同じ作業を続けていた。図-7 より、ANC の適用によって卓越周波数の音圧が 9~10dB 低減したことがわかる。

ただし、図-4 および図-5 に示したように、作業によって卓越周波数が変動するため、制御による騒音の低減効果を得るには、騒音の変動スピードに制御スピードを対応させる必要がある。なお、2 つの適用例において、

表-1 制御型と同定時間

| 音源 | 同定時間[sec] | | |
|-----|-----------|-------|-------|
| | FF型 | FB型 | 提案型 |
| 正弦波 | 50Hz | 0.044 | 0.781 |
| | 60Hz | 0.044 | 0.780 |
| | 70Hz | 0.039 | 1.231 |
| | 80Hz | 0.035 | 1.641 |
| | 90Hz | 0.031 | 1.680 |
| | 100Hz | 0.028 | 1.758 |
| 変動 | 40~50Hz | 0.023 | 1.035 |
| | 40~60Hz | 0.029 | 1.133 |
| | 40~70Hz | 0.027 | 1.172 |
| | 40~80Hz | 0.027 | 1.348 |
| | 40~90Hz | 0.023 | 1.680 |
| | 40~100 | 0.029 | 1.758 |

μ は 0.001 としたが、騒音の変動直後に干渉の不具合で騒音が増幅するようなことはなく、概ね騒音変動に追従していたことを聴感により確認した。

4. 提案の制御方法の有用性

図-2 に示した、提案の制御方法（以下、提案型と記す）について、制御対象である卓越周波数の同定に必要な時間（以下、同定時間と記す）を確認した。なお比較のため、一般的な FF 型の制御方法および FB 型の制御方法についても同様に出力信号 $y(n)$ の同定時間を確認した。音源は正弦波とし、周波数が変動せず一定の場合と、周波数が変動する場合について、同定時間をシミュレーションした。表-1 に、シミュレーションを行った音源の一覧と同定時間を示す。なお、それぞれの制御型のシミュレーション方法は、図-1 および図-2 に示すプロックダイヤグラムのものとした。プロックダイヤグラム中の伝達特性 h 、 C はそれぞれ実測により求めた h 、 C と同じ特性とし、特性を十分に反映できる次数とした。サンプリング周波数は、音波の 1 波長を 64 分割以上（位相差 5.6 度以下）でモデル化することを仮定し、400Hz までの音に適用するために 25,600Hz とした。 μ は制御が発散しない最大の値をシミュレーションにより求め、FF 型 : $\mu=0.001$ 、FB 型 : $\mu=0.001$ 、提案型 : $\mu=0.01$ を用いた。同定時間は、制御の開始時刻から出力信号の周波数が収束するまでのデータ数を、サンプリング周波数で除した値を同定時刻とした。また、周波数が変動する音源の場合、変動直後の時点を制御の開始時点として収束時間を算出した。

表-1 より、FF 型は他の制御型に比べて同定時間が短くなった。これは、FF 型は他の制御型と異なり、LMS に入力する信号がともに観測信号であり（図-1(a) 中、 $r(n)$ と $e(n)$ ）、システム内で信号を作成する必要がないためと考えられる。また、 μ の値が異なるため同定時間の単純比較はできないが、より大きな μ を使用しても安定して制御できたことから、FB 型よりも提案型の方が安定性は高いといえる。この理由として、提案型の制御では音響系のフィードバックを使用していないため、周波数同定後に位相差を間違えない限り、制

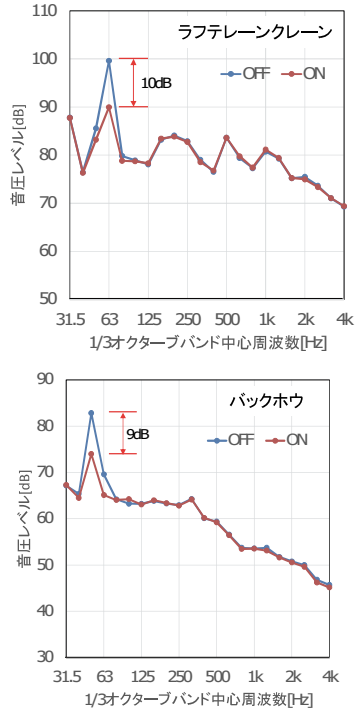


図-7 ANC の適用効果

御は発散しない。これに対して、一般的な FB 型の制御では、フィードバックの過程で騒音と制御音の位相が 90° ずれると誤差信号 $e(n)=0$ となり制御が発散する。

音源が正弦波の場合、FF 型と提案型では周波数が高くなるほど同定時間が短くなり、FB 型では周波数が高くなるほど同定時間が長くなつた。周波数が高くなるほど波長が短くなるため、サンプリング周波数が一定の場合、ANC では周波数が高くなるほど騒音と制御音の位相差の影響が大きくなり、制御効果に影響する。

図-2 に示した FB 型の制御では、フィルタ係数への入力信号を、ひとつ前のフィルタの出力信号から算出するため、わずかな誤差が生じる。このため、誤差を解消するための収束計算に時間を要したものと考えられる。提案型は FF 型の制御方法を用いているため、誤差は予め補正済みであり、波長が短く（=周波数が高く）なるにつれ同定時間が短くなつたと考えられる。

一方、音源に周波数が変動する正弦波を使用した場合、FF 型では周波数の変動幅によって同定時間に大きな変化がみられなかつた。これは、周波数が変動しない場合はフィルタ係数の初期値がゼロなのに対し、入力が変動する場合はすでに同定されたフィルタの係数を初期値として同定を始めるため、同定時間が短く、周波数による違いがほとんどなかつたと考えられる。また、FB 型および提案型では、音源の周波数が変動する場合でも、変動しない場合と同じ同定時間の傾向を示した。

以上より、提案型の制御方法はその他の制御方法よりも、安定性が高く速い制御が可能なことがシミュレーションにより確認できた。

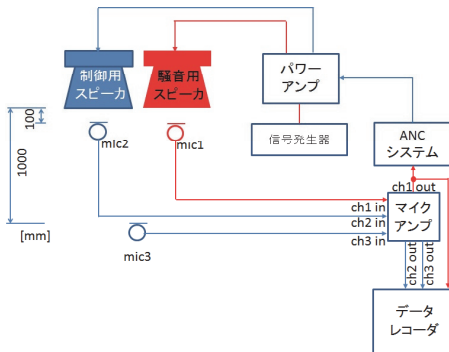


図-8 実験ブロックダイヤグラム

表-2 実験で用いた騒音源

| 音源 | |
|-----|-----------------------------|
| 正弦波 | 50Hz |
| | 60Hz |
| | 70Hz |
| | 80Hz |
| | 90Hz |
| | 100Hz |
| 実音 | ラフテーンクレーン(低速回転) 中心周波数: 50Hz |
| | バックホウ 中心周波数: 60Hz |

5. ステップサイズパラメータ μ が制御効果に与える影響

5.1 実験条件

提案した制御方法による ANC システムにより、実際にスピーカおよびマイクを使用し、ステップサイズパラメータ μ の変化が、制御効果に及ぼす影響を実験室で確認した。併せて、実適用時における $\mu=0.001$ の妥当性を確認した。実験ブロックダイヤグラムを図-8 に示す。騒音用スピーカ、制御音を出力する制御用スピーカ、参照信号を観測するマイク：mic1、制御信号を観測するマイク：mic2、効果を確認するマイク：mic3 を図-8 のように構成した。また、各マイクへの入力音はデータレコーダに収録した。

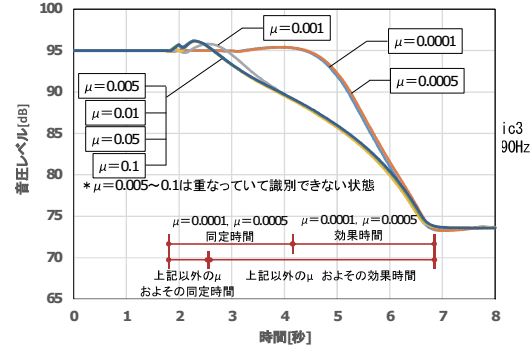
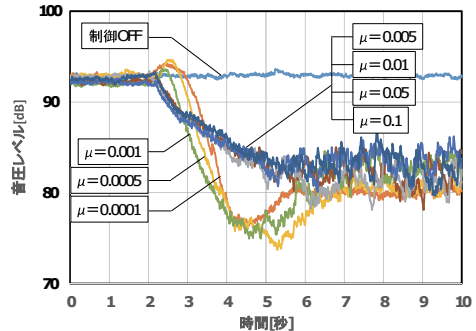
サンプリング周波数は 25,600Hz である。 μ は 0.0001 ~ 0.1 とした。騒音として用いた音源の一覧を表-2 に示す。音源にはシミュレーションの場合と同様に、正弦波および実際に重機の排気筒近傍で収録した実音を用いた。

5.2 実験結果

a. 正弦波

一例として、音源が 90Hz 正弦波の場合の mic3 で観測された音圧レベルの変化を図-9 に示す。なお、同図中の結果は、 μ を変化させた場合の測定結果について、制御開始の時点を揃えたものである。シミュレーションでは PC の内部処理だけで済んでいたが、実際のシステムでは ANC システムから AD-DA 変換などの処理が加わるため、同定時間は約 1~2.5 秒とシミュレーションに比べて大幅に長くなった。なお、音源に他の周波数の正弦波を用いた場合も、同様の傾向を示した。

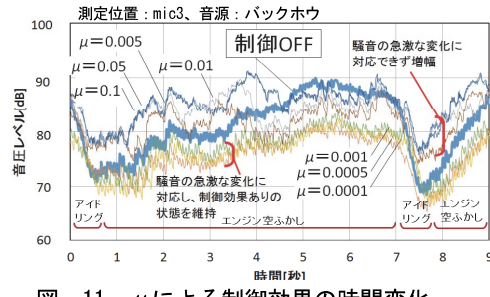
図-9 より、ステップサイズパラメータ μ の大きさに

図-9 μ による制御効果の時間変化の一例図-10 μ による制御効果の時間変化

関わらず、制御によって 20dB 程度の効果が得られた。同様に、 μ の大きさによる収束時間の違いは 0.2 秒程度と、実用上大きな差はなかった。ただし、 μ によって同定時間（システムへの入力音の周波数を同定する時間）と効果時間（周波数の同定から制御効果が一定となるまでの時間）の割合に違いがあった。ここで、収束時間=同定時間+効果時間とした。 $\mu=0.0001$ および $\mu=0.0005$ の場合では、同定時間と効果時間がほぼ同程度であったのに対し、 $\mu=0.001$ 以上の場合は、同定時間よりも効果時間の方が長くなかった。一般的に、 μ が小さいほど周波数の同定精度が高い。このため、本実験においても $\mu=0.0001$ および $\mu=0.0005$ の場合には、その他の μ の場合と比較して同定精度が高く、周波数の同定後は短い時間で制御効果が得られたと考えられる。

b. ラフテーンクレーン

音源として、収録したラフテーンクレーン排気筒近傍の騒音を用いた場合の結果を図-10 に示す。ここで使用した騒音は図-4 に示されているように、低速回転時の周波数特性が現れている。なお、用いたラフテーンクレーン騒音は、制御 OFF において一定の音圧レベルであり卓越周波数についても大きな変動はみられなかった。図-10 より、 $\mu=0.0001$ ~ 0.001 の場合は約 12dB、 $\mu=0.005$ ~ 0.1 の場合には約 10dB 程度の制御効果が確認できた。また、音源が正弦波の場合と同様、 μ によって収束時間に大きな違いは見られず、また周波数の同定精度が高い $\mu=0.0001$ ~ 0.001 では効果時間が短くなった。しかし、 μ が 0.005 よりも大きくなると、 $\mu=0.001$ 以下の場合と比較して効果時間が長く、さらに制

図-11 μ による制御効果の時間変化

御効果についても小さくなつた。これは、 μ が大きくなるにつれて周波数の同定精度が低下すること、また音源が正弦波の場合と異なり、卓越周波数に多少の変動が生じる実際の騒音では周波数の同定精度が低下したためと考えられる。

c. バックホウ

バックホウ排気筒からの騒音を音源に用いた場合の結果の一部を図-11 に示す。掘削時にはアイドリング状態とエンジンをふかした状態が交互に現れる。このため、その状況を再現しバックホウ排気筒からの騒音を収録した。なお、騒音は図-5 に示す周波数特性をもつ。図-11 より、バックホウ騒音の音圧レベルは、アイドリング状態からエンジンの空ふかしまで 20dB 程度変化した。騒音の変動が大きいため、正弦波やラフテレーンクレーン騒音のように明確な収束時間はわからないが、ラフテレーンクレーン騒音の場合と同様、 $\mu=0.0001\sim0.001$ の場合では周波数の同定精度が高いために、約 10dB の制御効果が得られたと考えられる。しかし、 $\mu=0.0001\sim0.001$ の場合よりも周波数の同定精度が悪い $\mu=0.005\sim0.1$ の場合では、制御の開始から数秒間は、制御 OFF の時よりも音圧レベルが増幅した。その後、徐々に周波数が正しく同定され、 $\mu=0.01\sim0.005$ では 5dB 程度、 $\mu=0.05\sim0.1$ では 3dB 程度の制御効果が得られる時間帯も存在したが、多くの時間帯で制御 OFF の場合と同程度の音圧レベルか、それ以上となっていた。また、エンジンの空ふかし後、アイドリング→エンジン空ふかしという、約 0.3 秒での急激な騒音の変化に対し、 $\mu=0.005\sim0.1$ では再び制御 OFF よりも音圧レベルが増幅したが、 $\mu=0.0001\sim0.001$ では制御効果を維持していた。

6. あとがき

ANC システムの卓越周波数の同定アルゴリズム (LMS) に適用するステップサイズパラメータ μ の大きさが、制御による騒音の低減効果に大きく影響することを、シミュレーションおよび実験により明らかにした。結論は以下の通りである。

- 提案した制御方法と、一般的な FF 型制御方法および FB 型制御方法を使用した場合の安定性と同定時間を比較したところ、提案型は一般的な FF 型制御方法および FB 型制御方法よりも大きな μ

を採用でき、速く安定に制御できることを確認した

- 提案した制御方法を適用した ANC について、ステップサイズパラメータ μ による収束時間と制御効果を実験室で確認したところ、正弦波および今回用いたラフテレーンクレーン騒音のように音源の変動が少ない騒音の場合には、収束時間および制御効果に違いは見られなかった。しかしバックホウのような変動騒音では、制御によって騒音の低減効果を得るために、 μ を少なくとも 0.001～0.0001 とする必要がある

今後は、より多くの建設機械へ適用し実績件数を増やしたい。

【参考文献】

- 環境省「よくわかる低周波音」5 低周波音を防止するには、<<http://www.env.go.jp/air/teishuha/yokuwakaru/05.pdf>> (参照 2016.1.30)
- 山田、藤橋、サイドプランチ型消音器による建設機械騒音の低減 その 3、バックホウへの適用範囲拡大、日本建築学会大会学術講演梗概集、pp193～194、2015.9
- 松岡、小林、半田、鈴木、ANC を用いた建設機械騒音に関する実験的検討、日本建築学会大会学術講演梗概集、pp.227～228、2008.9
- 漆戸、阿部、建設重機が発生する低周波音のアクティブコントロールによる制御、フジタ技術研究報告第 49 号、2013
- 内野、宮崎、井上、重機等の排気低周波音低減用アクティブ消音器の開発、佐藤工業技術研究所報第 39 号、pp.75～78、2014.12
- 金澤、稻留、アクティブ・ノイズ・コントロールの制御方法に関する研究、奥村組技術研究所報第 38 号、pp.98～103、2012.9
- 柳沼、安井、金澤、アクティブ・ノイズ・コントロールの制御方法に関する研究—アクティブ消音システムの実工事への適用—、奥村組技術研究所報第 40 号、pp.103～108、2014.9
- たとえば、西村、宇佐川、伊勢、アクティブノイズコントロール、日本音響学会編、コロナ社、pp75、図 3.3、2006
- 大沼、小沼、杉村、西村、波形同期法によるディーゼルエンジンの排気音のアクティブコントロール、日本舶用機関学会誌第 27 卷第 4 号、pp.337～342、1992.4
- 梶川、野村、2 次経路モデルを必要としないアクティブノイズコントロールシステム、電子情報通信学会論文 A、基礎・境界 J82-A(2)、pp.209～217、1999.2